

**Allgemeine  
bauaufsichtliche  
Zulassung/  
Allgemeine  
Bauartgenehmigung**

**Zulassungsstelle für Bauprodukte und Bauarten**

**Bautechnisches Prüfamnt**

Eine vom Bund und den Ländern  
gemeinsam getragene Anstalt des öffentlichen Rechts

Mitglied der EOTA, der UEAtc und der WFTAO

Datum:

25.05.2020

Geschäftszeichen:

I 89-1.14.1-23/20

**Nummer:**

**Z-14.1-739**

**Geltungsdauer**

vom: **28. Mai 2020**

bis: **28. Mai 2022**

**Antragsteller:**

**SIEGMETALL GmbH**

Kalteiche-Ring 24- 26

35708 Haiger

**Gegenstand dieses Bescheides:**

**Stahltrapezprofile S35/207, S75/305, S135/420 und S158/350 aus höherfestem Stahl und deren Befestigung**

Der oben genannte Regelungsgegenstand wird hiermit allgemein bauaufsichtlich  
zugelassen/ genehmigt.

Dieser Bescheid umfasst neun Seiten und zehn Anlagen mit 38 Seiten.

Der Gegenstand ist erstmals am 27. Mai 2015 allgemein bauaufsichtlich zugelassen worden.

DIBt

## I ALLGEMEINE BESTIMMUNGEN

- 1 Mit diesem Bescheid ist die Verwendbarkeit bzw. Anwendbarkeit des Regelungsgegenstandes im Sinne der Landesbauordnungen nachgewiesen.
- 2 Dieser Bescheid ersetzt nicht die für die Durchführung von Bauvorhaben gesetzlich vorgeschriebenen Genehmigungen, Zustimmungen und Bescheinigungen.
- 3 Dieser Bescheid wird unbeschadet der Rechte Dritter, insbesondere privater Schutzrechte, erteilt.
- 4 Dem Verwender bzw. Anwender des Regelungsgegenstandes sind, unbeschadet weiter gehender Regelungen in den "Besonderen Bestimmungen", Kopien dieses Bescheides zur Verfügung zu stellen. Zudem ist der Verwender bzw. Anwender des Regelungsgegenstandes darauf hinzuweisen, dass dieser Bescheid an der Verwendungs- bzw. Anwendungsstelle vorliegen muss. Auf Anforderung sind den beteiligten Behörden ebenfalls Kopien zur Verfügung zu stellen.
- 5 Dieser Bescheid darf nur vollständig vervielfältigt werden. Eine auszugsweise Veröffentlichung bedarf der Zustimmung des Deutschen Instituts für Bautechnik. Texte und Zeichnungen von Werbeschriften dürfen diesem Bescheid nicht widersprechen, Übersetzungen müssen den Hinweis "Vom Deutschen Institut für Bautechnik nicht geprüfte Übersetzung der deutschen Originalfassung" enthalten.
- 6 Dieser Bescheid wird widerruflich erteilt. Die Bestimmungen können nachträglich ergänzt und geändert werden, insbesondere, wenn neue technische Erkenntnisse dies erfordern.
- 7 Dieser Bescheid bezieht sich auf die von dem Antragsteller gemachten Angaben und vorgelegten Dokumente. Eine Änderung dieser Grundlagen wird von diesem Bescheid nicht erfasst und ist dem Deutschen Institut für Bautechnik unverzüglich offenzulegen.
- 8 Die von diesem Bescheid umfasste allgemeine Bauartgenehmigung gilt zugleich als allgemeine bauaufsichtliche Zulassung für die Bauart.

## II BESONDERE BESTIMMUNGEN

### 1 Zulassungsgegenstand und Anwendungsbereich

Bei dem Zulassungsgegenstand handelt es sich um Trapezprofile für tragende Anwendungen mit der Handelsbezeichnung S35/207, S75/305, S135/420 und S158/350 der Fa. SIEGMETALL GmbH, die aus Stahl der Sorte S550GD nach DIN EN 10346<sup>1</sup> mit von dieser Norm abweichenden Mindestwerten bei den mechanischen Eigenschaften hergestellt werden (s. Anlage 1).

Genehmigungsgegenstand ist die Anwendung der o.g. Trapezprofile einschließlich deren Befestigung mit bestimmten Schrauben als Dach-, Wand- und Deckenelemente unter statischen oder quasi-statischen Einwirkungen mit Bezug auf die Norm DIN EN 1990<sup>2</sup> in Verbindung mit dem Nationalen Anhang.

### 2 Bestimmungen für die Bauprodukte

#### 2.1 Eigenschaften und Zusammensetzung

##### 2.1.1 Trapezprofile

Soweit im Folgenden nichts anderes festgelegt ist, gelten die Anforderungen von DIN EN 10346<sup>1</sup> sowie die beim Deutschen Institut für Bautechnik hinterlegten zusätzlichen Anforderungen.

Die Trapezprofile werden aus Stahl der Sorte S550GD nach DIN EN 10346<sup>1</sup> in den Festigkeitsstufen S550 und S600 hergestellt. Dabei müssen mindestens die in den Tabellen 1 und 2 angegebenen Werte für die obere Streckgrenze  $R_{eH}$ , der Zugfestigkeit  $R_m$  und der Bruchdehnung  $A_{80}$  (soweit dafür Werte angegeben sind) eingehalten werden.

**Tabelle 1** Mechanische Eigenschaften in der Festigkeitsstufe S550

| Klasse                        | A1   |      |      |      | B1   |      |      |      | C1   |      |      |
|-------------------------------|------|------|------|------|------|------|------|------|------|------|------|
| $t_{nom}$ [mm]                | 0,50 | 0,60 | 0,63 | 0,66 | 0,50 | 0,60 | 0,63 | 0,66 | 0,75 | 0,88 | 1,00 |
| $R_{eH}$ [N/mm <sup>2</sup> ] | 550  |      |      |      | 550  |      |      |      | 550  |      |      |
| $R_m$ [N/mm <sup>2</sup> ]    | 580  |      |      |      | 580  |      |      |      | 580  |      |      |
| $A_{80}$ [%]                  | ---  |      |      |      | 3    |      |      |      | 10   |      |      |

**Tabelle 2** Mechanische Eigenschaften in der Festigkeitsstufe S600

| Klasse                        | A2   |      |      |      | B2   |      |      |      | C2   |      |      |
|-------------------------------|------|------|------|------|------|------|------|------|------|------|------|
| $t_{nom}$ [mm]                | 0,50 | 0,60 | 0,63 | 0,66 | 0,50 | 0,60 | 0,63 | 0,66 | 0,75 | 0,88 | 1,00 |
| $R_{eH}$ [N/mm <sup>2</sup> ] | 600  |      |      |      | 600  |      |      |      | 600  |      |      |
| $R_m$ [N/mm <sup>2</sup> ]    | 630  |      |      |      | 630  |      |      |      | 630  |      |      |
| $A_{80}$ [%]                  | ---  |      |      |      | 3    |      |      |      | 10   |      |      |

- 1 DIN EN 10346:2015-10 Kontinuierlich schmelztauchveredelte Flacherzeugnisse aus Stahl zum Kaltumformen - Technische Lieferbedingungen
- 2 DIN EN 1990:2010-12 Eurocode: Grundlagen der Tragwerksplanung

Die Mindestanforderungen an die mechanischen Eigenschaften müssen auch vom fertig gestellten Trapezprofil im endgültigen Verwendungszustand erfüllt werden.

Das Ausgangsmaterial (Coil) ist mit einem Abnahmeprüfzeugnis 3.1 nach DIN EN 10204<sup>3</sup> zu liefern, in dem mindestens die Stahlgüte, die chemische Zusammensetzung, die mechanischen Eigenschaften, die Auflagenart und die Auflagemasse sowie die Nennblechdicke angegeben sind.

Die Hauptabmessungen der verschiedenen Trapezprofile enthält Anlage 1. Weitere Angaben zu den Abmessungen sind beim Deutschen Institut für Bautechnik hinterlegt.

Für die Grenzabmaße gelten die Angaben in DIN EN 10143<sup>4</sup> (normale Grenzabmaße), für die unteren Grenzabmaße jedoch nur 50 % der dort angegebenen Werte.

Für die Formtoleranzen gelten die Angaben in DIN EN 508-1<sup>5</sup>.

Bezüglich der Verformbarkeit des Coilmaterials einschließlich Überzug bzw. Beschichtung ist durch den Hersteller der bandbeschichteten Bleche (Coils) die Rissbeständigkeit des Überzuges / der Beschichtung bei Verformung durch Biegeversuche nach DIN EN ISO 1519<sup>6</sup> und DIN EN 13523-7<sup>7</sup> nachzuweisen und zu bestätigen. Dabei ist zusätzlich auch das Blech visuell auf Rissfreiheit zu prüfen.

## **2.2 Übereinstimmungsbestätigung**

### **2.2.1 Allgemeines**

Die Bestätigung der Übereinstimmung der Bauprodukte mit den Bestimmungen der von dem Bescheid erfassten allgemeinen bauaufsichtlichen Zulassung muss für jedes Herstellwerk mit einem Übereinstimmungszertifikat auf der Grundlage einer werkseigenen Produktionskontrolle und einer regelmäßigen Fremdüberwachung einschließlich einer Erstprüfung der Bauprodukte nach Maßgabe der folgenden Bestimmungen erfolgen.

Für die Erteilung des Übereinstimmungszertifikats und die Fremdüberwachung einschließlich der dabei durchzuführenden Produktprüfungen hat der Hersteller der Bauprodukte eine hierfür anerkannte Zertifizierungsstelle sowie eine hierfür anerkannte Überwachungsstelle einzuschalten.

Die Erklärung, dass ein Übereinstimmungszertifikat erteilt ist, hat der Hersteller durch Kennzeichnung der Bauprodukte mit dem Übereinstimmungszeichen (Ü-Zeichen) unter Hinweis auf den Verwendungszweck abzugeben.

Dem Deutschen Institut für Bautechnik ist von der Zertifizierungsstelle eine Kopie des von ihr erteilten Übereinstimmungszertifikats zur Kenntnis zu geben.

Dem Deutschen Institut für Bautechnik ist zusätzlich eine Kopie des Erstprüfberichts zur Kenntnis zu geben.

### **2.2.2 Werkseigene Produktionskontrolle**

In jedem Herstellwerk ist eine werkseigene Produktionskontrolle einzurichten und durchzuführen. Unter werkseigener Produktionskontrolle wird die vom Hersteller vorzunehmende kontinuierliche Überwachung der Produktion verstanden, mit der dieser sicherstellt, dass die von ihm hergestellten Bauprodukte den Bestimmungen dieser allgemeinen bauaufsichtlichen Zulassung entsprechen.

|   |                         |   |
|---|-------------------------|---|
| 3 | DIN EN 10204:2005-01    | Metallische Erzeugnisse - Arten von Prüfbescheinigungen   |
| 4 | DIN EN 10143:2006-09    | Kontinuierlich schmelztauchveredeltes Blech und Band aus Stahl – Grenzabmaße und Formtoleranzen   |
| 5 | DIN EN 508-1:2014-08    | Dachdeckungs- und Wandbekleidungsprodukte aus Metallblech – Spezifikation für selbsttragende Dachdeckungsprodukte aus Stahlblech, Aluminiumblech oder nichtrostendem Stahlblech – Teil 1: Stahl |
| 6 | DIN EN ISO 1519:2011-04 | Beschichtungsstoffe – Dornbiegeversuch (zylindrischer Dorn)   |
| 7 | DIN EN 13523-7:2014-08  | Bandbeschichtete Metalle – Prüfverfahren – Teil 7: Widerstandsfähigkeit gegen Rissbildung beim Biegen (T-Biegeprüfung)  |

Die werkseigene Produktionskontrolle soll mindestens die im Folgenden aufgeführten Maßnahmen einschließen.

Im Herstellwerk sind die in Abschnitt 2.1 geforderten Abmessungen (insbesondere auch die Nennblechdicken und die Einhaltung der Grenzabmaße) durch regelmäßige Messungen zu überprüfen.

Die fertig profilierten Trapezprofile sind regelmäßig durch Sichtprüfung auf gleichmäßige Ausbildung der Profilform, Unversehrtheit des metallischen Überzuges und, soweit zutreffend, der organischen Beschichtung sowie Rissfreiheit der Biegekanten, gegebenenfalls unter Zuhilfenahme einer Lupe zu überprüfen.

Bei jeder Materiallieferung sind die nach Abschnitt 2.1 geforderten Werkstoffeigenschaften des Ausgangsmaterials zu überprüfen. Der Nachweis der Werkstoffeigenschaften des Ausgangsmaterials ist durch ein Abnahmeprüfzeugnis 3.1 nach DIN EN 10204<sup>3</sup> zu erbringen. Die Übereinstimmung der Angaben in dem Abnahmeprüfzeugnis 3.1 mit den Angaben in Abschnitt 2.1 ist zu überprüfen.

Bei den Trapezprofilen bis zur Nennblechdicke von 0,66 mm ist zusätzlich an einem Coil je Materiallieferung ein Biegeversuch nach DIN EN ISO 7438<sup>8</sup> durchzuführen, um die ausreichende Verformbarkeit des Ausgangsmaterials und der Profiltafeln nachzuweisen. Es dürfen keine, mit dem bloßen Auge sichtbare, Risse auftreten.

Die Ergebnisse der werkseigenen Produktionskontrolle sind aufzuzeichnen und auszuwerten. Die Aufzeichnungen müssen mindestens folgende Angaben enthalten:

- Bezeichnung des Bauprodukts bzw. des Ausgangsmaterials und der Bestandteile
- Art der Kontrolle oder Prüfung
- Datum der Herstellung und der Prüfung des Bauprodukts bzw. des Ausgangsmaterials oder der Bestandteile
- Ergebnis der Kontrollen und Prüfungen und Vergleich mit den Anforderungen
- Unterschrift des für die werkseigene Produktionskontrolle Verantwortlichen.

Die Aufzeichnungen sind mindestens fünf Jahre aufzubewahren und der für die Fremdüberwachung eingeschalteten Überwachungsstelle vorzulegen. Sie sind dem Deutschen Institut für Bautechnik und der zuständigen obersten Bauaufsichtsbehörde auf Verlangen vorzulegen.

Bei ungenügendem Prüfergebnis sind vom Hersteller unverzüglich die erforderlichen Maßnahmen zur Abstellung des Mangels zu treffen. Bauprodukte, die den Anforderungen nicht entsprechen, sind so zu handhaben, dass Verwechslungen mit übereinstimmenden ausgeschlossen werden. Nach Abstellung des Mangels ist - soweit technisch möglich und zum Nachweis der Mängelbeseitigung erforderlich - die betreffende Prüfung unverzüglich zu wiederholen.

### **2.2.3 Fremdüberwachung**

In jedem Herstellwerk ist die werkseigene Produktionskontrolle durch eine Fremdüberwachung regelmäßig zu überprüfen, mindestens jedoch einmal jährlich. Im Rahmen der Fremdüberwachung ist eine Erstprüfung der Bauprodukte durchzuführen, und es sind mindestens die folgenden stichprobenartigen Prüfungen durchzuführen:

- der nach Abschnitt 2.1 geforderten mechanischen Eigenschaften,
- der Nennblechdicken und die Einhaltung der nach Abschnitt 2.1 geforderten Grenzabmaße und Formtoleranzen.

<sup>8</sup> DIN EN ISO 7438:2016-07 Metallische Werkstoffe - Biegeversuch

Die Probenahme und Prüfungen obliegen jeweils der anerkannten Stelle. Die Ergebnisse der Zertifizierung und Fremdüberwachung sind mindestens fünf Jahre aufzubewahren. Sie sind von der Zertifizierungsstelle bzw. der Überwachungsstelle dem Deutschen Institut für Bautechnik und der zuständigen obersten Bauaufsichtsbehörde auf Verlangen vorzulegen.

### 3 Bestimmungen für Planung, Bemessung und Ausführung

#### 3.1 Planung, Bemessung

##### 3.1.1 Allgemeines

Genehmigungsgegenstand ist die Anwendung der in Abschnitt 2.1 genannten Trapezprofile einschließlich deren Befestigung mit Schrauben. Es dürfen die in Tabelle 3 aufgeführten Schrauben zur Anwendung kommen.

**Tabelle 3** Verwendbare Befestigungsschrauben

| Schraubenbezeichnung      | Schraubentyp              | Z-14.1-4, Anlagen   | Hersteller                    |
|---------------------------|---------------------------|---------------------|-------------------------------|
| FABA Typ A 6,5 x L        | Gewindefurchende Schraube | 4.22                | Reisser Schraubentechnik GmbH |
| FABA Typ BZ 6,3 x L       |                           | 4.23                |                               |
| Refabo Plus-r 6,0 x L     | Bohrschraube              | 3.280, 3.281, 3.312 |                               |
| Refabo Plus RP-TD 6,0 x L |                           | 3.329, 3.330, 3.331 |                               |
| Refabo Plus 5,5 – K x L   |                           | 3.172, 3.173, 3.174 |                               |
| Refabo Plus 5,5 - K12 x L |                           | 3.175               |                               |
| Refabo Plus 6,3 – K x L   |                           | 3.176, 3.177        |                               |
| Refabo Plus 4,8 r x 19    |                           | 3.170               |                               |
| RP – T2 – 4,5 x 22        | Fließbohrschraube         | 3.304a, 3.305a      |                               |

Es gilt das in DIN EN 1990<sup>2</sup> angegebene Nachweiskonzept in Verbindung mit dem Nationalen Anhang.

Für den Nachweis der Tragsicherheit und der Gebrauchstauglichkeit gelten die Regeln in DIN EN 1993-1-3<sup>9</sup> in Verbindung mit dem Nationalen Anhang, sofern nachfolgend keine anderen Festlegungen getroffen werden.

Die Trapezprofile dürfen nur für die Einbaulage (Positivlage oder Negativlage) vorgesehen werden, für die Angaben in den Anlagen enthalten sind.

Im Folgenden werden die zu befestigenden Trapezprofile (am Schraubenkopf anliegend) als Bauteil I und die Trapezprofile, an denen befestigt wird, als Bauteil II bezeichnet. Bei Befestigung an einer Unterkonstruktion aus Stahl oder Holz ist diese das Bauteil II.

Für Verbindungen von Trapezprofilen mit Unterkonstruktionen aus Holz dürfen nur diejenigen Schrauben verwendet werden, bei denen dazu in den entsprechenden Anlagen zur allgemeinen bauaufsichtlichen Zulassung Z-14.1-4 Tragfähigkeitswerte angegeben sind.

<sup>9</sup> DIN EN 1993-1-3:2010-12 Eurocode 3: Bemessung und Konstruktion von Stahlbauten - Teil 1-3: Allgemeine Regeln - Ergänzende Regeln für kaltgeformte Bauteile und Bleche

### 3.1.2 Trapezprofile

Es ist in jedem Fall die Tragsicherheit und die Gebrauchstauglichkeit der Trapezprofile für den vorgesehenen Verwendungszweck nachzuweisen. Die dafür erforderlichen Querschnitts- und Tragfähigkeitswerte sind den Anlagen zu entnehmen. Für die Trapezprofile S35/207, S75/305, S135/420 und S158/350 sind die Schnittgrößen und Beanspruchbarkeiten mit Methoden der elastischen Tragwerksberechnung zu ermitteln. Als charakteristische Werte der Streckgrenze  $f_{y,k}$  und Zugfestigkeit  $f_{u,k}$  der Trapezprofile sind die in Abhängigkeit der Klassen nach den Tabellen 1 und 2 die in Tabelle 4 und 5 angegebenen Werte zu verwenden.

**Tabelle 4** Streckgrenze  $f_{y,k}$  und Zugfestigkeit  $f_{u,k}$  der Trapezprofile

| Klasse                         | A1, A2 und B1 |      |      |      | C1   |      |      |
|--------------------------------|---------------|------|------|------|------|------|------|
| $t_{nom}$ [mm]                 | 0,50          | 0,60 | 0,63 | 0,66 | 0,75 | 0,88 | 1,00 |
| $f_{y,k}$ [N/mm <sup>2</sup> ] | 550           |      |      |      | 550  |      |      |
| $f_{u,k}$ [N/mm <sup>2</sup> ] | 580           |      |      |      | 580  |      |      |

**Tabelle 5** Streckgrenze  $f_{y,k}$  und Zugfestigkeit  $f_{u,k}$  der Trapezprofile

| Klasse                         | B2   |      |      |      | C2   |      |      |
|--------------------------------|------|------|------|------|------|------|------|
| $t_{nom}$ [mm]                 | 0,50 | 0,60 | 0,63 | 0,66 | 0,75 | 0,88 | 1,00 |
| $f_{y,k}$ [N/mm <sup>2</sup> ] | 600  |      |      |      | 600  |      |      |
| $f_{u,k}$ [N/mm <sup>2</sup> ] | 630  |      |      |      | 630  |      |      |

Zur Berechnung der Bemessungswerte ist für die Klassen A1 und A2 nach den Tabellen 1 und 2 ein Teilsicherheitsbeiwert  $\gamma_M = 1,25$  zu berücksichtigen.

Hinsichtlich des Korrosionsschutzes gelten die Bestimmungen in DIN EN 10346<sup>1</sup> und DIN EN 1090-4<sup>10</sup>, sofern nachfolgend keine anderen Festlegungen getroffen werden. Es ist mindestens ein metallischer Überzug mit der Auflagekennzahl (Art des Überzuges und Nennauflagemasse) Z275, ZA255 oder AZ150 nach DIN EN 10346<sup>1</sup> erforderlich. Alternativ darf als Korrosionsschutz auch ein metallischer Überzug gegebenenfalls in Verbindung mit einer organischen Beschichtung nach allgemeiner bauaufsichtlicher Zulassung, allgemeiner Bauartgenehmigung oder Europäischen Technischen Bewertung für die dort angegebene maximale Korrosionsbeanspruchung verwendet werden.

### 3.1.3 Verbindungen

Für die Bemessung der Verbindungen mit den Schrauben nach Tabelle 3 gelten die charakteristischen Tragfähigkeitswerte in den entsprechenden Anlagen zur allgemeinen bauaufsichtlichen Zulassung Z-14.1-4 (Anlagennummern siehe Tabelle 3). Abweichend von den Angaben in den Anlagen dürfen die Schrauben auch für die Verbindung von den in diesem Bescheid geregelten Trapezprofilen aus der Stahlsorte S550GD verwendet werden, jedoch nur bis zu den Grenzbauteildicken nach Tabelle 6.

Zusätzlich ist Abschnitt 3.2 der allgemeinen bauaufsichtlichen Zulassung Z-14.1-4 zu beachten.

<sup>10</sup> DIN EN 1090-4:2020-06 Ausführung von Stahltragwerken und Aluminiumtragwerken - Teil 4: Technische Anforderungen an tragende, kaltgeformte Bauelemente aus Stahl und tragende, kaltgeformte Bauteile für Dach-, Decken-, Boden- und Wandanwendungen

**Tabelle 6** Grenzbauteildicken bei Bauteilen aus S550GD

| Schraubenbezeichnung      | Grenzbauteildicke [mm] |            | Unterkonstruktion aus |
|---------------------------|------------------------|------------|-----------------------|
|                           | Bauteil I              | Bauteil II |                       |
| FABA Typ A 6,5 x L        | 1,00                   | 1,00       | Stahl und Holz        |
| FABA Typ BZ 6,3 x L       | 1,00                   | –          | Stahl                 |
| Refabo Plus-r 6,0 x L     | 1,00                   | –          | Holz                  |
| Refabo Plus RP-TD 6,0 x L | 1,00                   | –          | Holz                  |
| Refabo Plus 5,5 – K x L   | 1,00                   | 1,00       | Stahl                 |
| Refabo Plus 5,5 - K12 x L | 1,00                   | –          | Stahl                 |
| Refabo Plus 6,3 – K x L   | 1,00                   | 1,00       | Stahl                 |
| Refabo Plus 4,8 r x 19    | 1,00                   | 1,00       | Stahl                 |
| RP – T2 – 4,5 x 22        | 0,88                   | 0,88       | Stahl                 |

### 3.2 Ausführung

Der Einbau von Trapezprofilen entsprechend Abschnitt 2.1 darf nur von Firmen erfolgen, die die dazu erforderliche Erfahrung haben, es sei denn, es ist für eine Einweisung des Montagepersonals durch Fachkräfte gesorgt, die auf diesem Gebiet Erfahrungen besitzen.

Die Trapezprofile dürfen nur in der Einbaulage (Positivlage oder Negativlage) und Anordnung montiert werden, die durch die Planung vorgegeben ist (z. B. im Verlegeplan).

Die Trapezprofile müssen unmittelbar aufeinander oder auf der Unterkonstruktion aufliegen. Die Anordnung druckfester thermischer Trennstreifen mit einer komprimierten Dicke von maximal 3 mm ist zulässig.

Die Schrauben sind rechtwinklig zur Bauteiloberfläche mit einem Schrauber mit entsprechend eingestelltem Tiefenanschlag einzubringen, um eine einwandfrei tragende und erforderlichenfalls regensichere Verbindung herzustellen. Die Verwendung von Schlag-schrauben ist unzulässig.

Bei Verwendung der gewindefurchenden Schrauben FABA TYP A 6,5 x L und FABA TYP BZ 6,3 x L ist entsprechend den Angaben in Tabelle 7 vorzubohren.

**Tabelle 7** Vorbohrdurchmesser

| Dicke Bauteil II aus Stahl<br>$t_{II}$ [mm] | Vorbohrdurchmesser [mm] |                        |
|---|-------------------------|------------------------|
|   | FABA<br>TYP A 6,5 x L   | FABA<br>TYP BZ 6,3 x L |
| 0,63  | 3,5                     | –                      |
| 0,75  | 4,0                     | –                      |
| 0,88 – 1,13                                 | 4,5                     | –                      |
| 1,25  | 4,5                     | 5,0                    |
| 1,50  | 5,0                     | 5,0                    |
| 2,00  | 5,0                     | 5,3                    |
| 3,00 – 4,00                                 | –                       | 5,3                    |
| 6,00  | –                       | 5,5                    |
| ≥ 7,00                                      | –                       | 5,7                    |
| Bauteil II aus Holz,<br>Sortierklasse ≥ 10  | 4,8                     | –                      |

Die effektive Einschraubtiefe (ohne Mitrechnung von Spitzen und Bohrspitzen) in Unterkonstruktionen aus Holz muss mindestens 4 x Schraubennennendurchmesser betragen.

Schrauben in planmäßig kraftübertragenden Verbindungen, die bereits belastet worden sind, dürfen nur gegen gewindeformende Schrauben mit größerem Durchmesser ausgetauscht werden, wobei das Loch für die dickere Schraube passend aufzubohren ist.

Folgende Mindestrand- und Lochabstände sind bei Unterkonstruktionen aus Stahl einzuhalten:

- Randabstand in Krafrichtung  $e_1 \geq 3d$ ; jedoch min. 20 mm
- Randabstand quer zur Krafrichtung  $e_2 \geq 1,5d$ ; jedoch min. 10 mm
- Lochabstand  $p \geq 4d$ ; jedoch min. 40 mm

Für Holzunterkonstruktionen gelten für die Mindestrand- und Schraubenabstände die Angaben in DIN EN 1995-1-1<sup>11</sup> in Verbindung mit dem Nationalen Anhang.

Die Übereinstimmung der Stahltrapezprofile mit den Bestimmungen der von diesem Bescheid erfassten allgemeinen Bauartgenehmigung ist von der bauausführenden Firma gemäß §§ 16a Abs. 5, 21 Abs. 2 MBO schriftlich zu bestätigen.

#### 4 Bestimmungen für Nutzung, Unterhalt und Wartung

Die vollständig auf der Unterkonstruktion befestigten Trapezprofile dürfen zu Reinigungs- und Wartungsarbeiten begangen werden, wenn die in den Anlagen dieses Bescheids angegebenen Grenzstützweiten eingehalten sind.

Über die angegebenen Grenzstützweiten hinaus dürfen die vollständig auf der Unterkonstruktion befestigten Trapezprofile nur mit Hilfe von lastverteilenden Maßnahmen begangen werden.

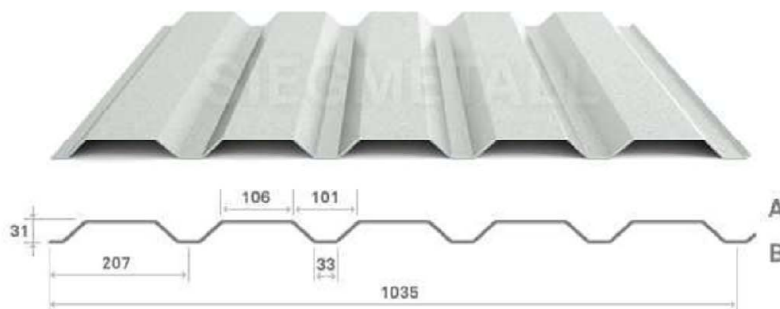
Als lastverteilende Maßnahme gilt z. B. die Verwendung von Holzbohlen der Festigkeitsklasse C24 oder höher nach DIN EN 14081-1<sup>12</sup> mit einem Querschnitt von mindestens 4 cm x 24 cm und einer Länge von  $\geq 3,0$  m, die sowohl in Spannrichtung der Trapezprofile, als auch quer zur Spannrichtung auf den Rippen verlegt werden dürfen.

Dr.-Ing. Ronald Schwuchow  
Referatsleiter

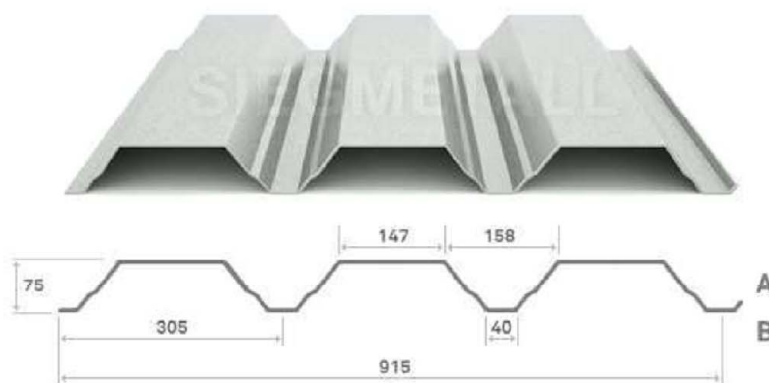
Beglaubigt  
Ortmann

<sup>11</sup> DIN EN 1995-1-1:2010-12 Eurocode 5: Bemessung und Konstruktion von Holzbauten—Teil 1-1: Allgemeines – Allgemeine Regeln und Regeln für den Hochbau  
<sup>12</sup> DIN EN 14081-1:2019-10 Holzbauwerke - Nach Festigkeit sortiertes Bauholz für tragende Zwecke mit rechteckigem Querschnitt - Teil 1: Allgemeine Anforderungen

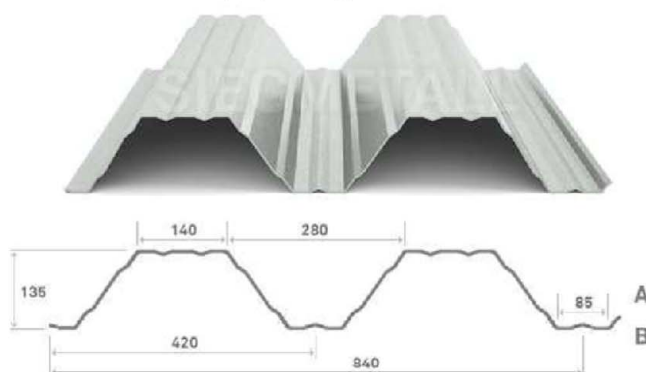
Trapezprofil Typ S35/207



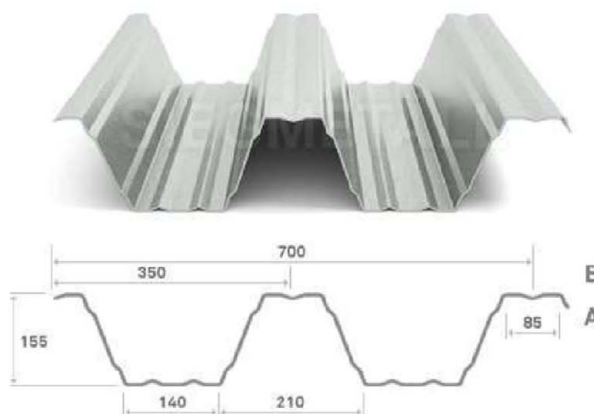
Trapezprofil Typ S75/305



Trapezprofil Typ S135/420



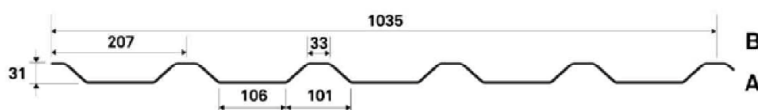
Trapezprofil Typ S158/350



Stahltrapezprofile S35/207, S75/305, S135/420 und S158/350 aus höchfestem Stahl und deren Befestigung

Hauptabmessungen und Ansichten der verwendbaren Trapezprofile aus S550GD

Anlage 1



Stahltrapezprofil Typ **S35/207**  
Einbau in Negativlage  
gilt für Klassen A1, A2 und B1 nach  
Tabellen 2 und 3 in Abschnitt 2.1.3

**Charakteristische Tragfähigkeitswerte für andrückende Flächenbelastung <sup>3)</sup>**

| Nennblechdicke <sup>12)</sup> | Feldmoment   | Elastisch aufnehmbare Schnittgrößen an Zwischenauflägern <sup>1) 2) 4) 5)</sup> |            |                |                             |               |               |                                       |               |               |                                       |              |               |              |              |   |
|-------------------------------|--------------|---|------------|----------------|-----------------------------|---------------|---------------|---------------------------------------|---------------|---------------|---------------------------------------|--------------|---------------|--------------|--------------|---|
|                               |              | Endauflagerkraft <sup>6)</sup><br>$l_{a,A} = 40 \text{ mm}$                     |            | Quer-<br>kraft | Lineare Interaktion         |               |               |                                       |               |               | Zwischenauflagerkräfte <sup>11)</sup> |              |               |              |              |   |
|                               |              | $c_2 = 40 \text{ mm}$   | -          |                | Stützmomente <sup>11)</sup> |               |               | Zwischenauflagerkräfte <sup>11)</sup> |               |               | $l_{a,B} = 60 \text{ mm}$             | -            | $l_{a,B} = -$ | -            | -            | - |
|                               |              |   |            |                | $l_{a,B} = 60 \text{ mm}$   | $l_{a,B} = -$ | $l_{a,B} = -$ | $l_{a,B} = 60 \text{ mm}$             | $l_{a,B} = -$ | $l_{a,B} = -$ |                                       |              |               |              |              |   |
| $t_N$                         | $M_{c,Rk,F}$ | $R_{w,Rk,A}$  | $V_{w,Rk}$ | $M_{0,Rk,B}$   | $M_{c,Rk,B}$                | $M_{0,Rk,B}$  | $M_{c,Rk,B}$  | $M_{0,Rk,B}$                          | $M_{c,Rk,B}$  | $R_{0,Rk,B}$  | $R_{w,Rk,B}$                          | $R_{0,Rk,B}$ | $R_{w,Rk,B}$  | $R_{0,Rk,B}$ | $R_{w,Rk,B}$ |   |
| mm                            | kNm/m        | kN/m  |            | kNm/m          |                             |               |               |                                       |               | kN/m          |                                       |              |               |              |              |   |
| 0,50                          | 1,21         | 8,86  | -          | -              | 1,41                        | 1,25          | -             | -                                     | -             | -             | 37,48                                 | 10,24        | -             | -            | -            | - |
| 0,60                          | 1,64         | 12,35   | -          | -              | 1,96                        | 1,76          | -             | -                                     | -             | -             | 57,57                                 | 14,64        | -             | -            | -            | - |
| 0,63                          | 1,81         | 13,61   | -          | -              | 2,17                        | 1,95          | -             | -                                     | -             | -             | 63,47                                 | 16,14        | -             | -            | -            | - |
| 0,66                          | 1,89         | 14,26   | -          | -              | 2,27                        | 2,04          | -             | -                                     | -             | -             | 66,50                                 | 16,91        | -             | -            | -            | - |

**Reststützmomente <sup>7)</sup>**

| $t_N$ | $l_{a,B} = 60 \text{ mm}$ |       |                | $l_{a,B} = -$ |       |                | $l_{a,B} = -$ |       |                | Reststützmomente $M_{R,Rk}$   |  |
|-------|---------------------------|-------|----------------|---------------|-------|----------------|---------------|-------|----------------|---|--|
|       | min L                     | max L | max $M_{R,Rk}$ | min L         | max L | max $M_{R,Rk}$ | min L         | max L | max $M_{R,Rk}$ | $M_{R,Rk} = 0$ für $L \leq \min L$<br>$M_{R,Rk} = \max M_{R,Rk}$ für $L \geq \max L$<br>$M_{R,Rk} = \frac{L - \min L}{\max L - \min L} \cdot \max M_{R,Rk}$ |  |
|       | mm                        | m     | kNm/m          | m             | kNm/m | m              | kNm/m         |       |                |   |  |
| 0,50  | -                         | -     | -              | -             | -     | -              | -             | -     | -              |   |  |
| 0,60  | -                         | -     | -              | -             | -     | -              | -             | -     |                |   |  |
| 0,63  | -                         | -     | -              | -             | -     | -              | -             | -     |                |   |  |
| 0,66  | -                         | -     | -              | -             | -     | -              | -             | -     |                |   |  |

**Charakteristische Tragfähigkeitswerte für abhebende Flächenbelastung <sup>1) 2)</sup>**

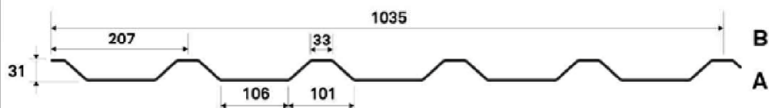
| Nennblechdicke | Feldmoment   | Befestigung in jedem anliegenden Gurt |   |              |              |              |              |                  | Befestigung in jedem 2. anliegenden Gurt     |              |              |              |              |              |
|----------------|--------------|---------------------------------------|---|--------------|--------------|--------------|--------------|------------------|--|--------------|--------------|--------------|--------------|--------------|
|                |              | Endauflagerkraft                      | Lineare Interaktion<br>Zwischenauflager |              |              |              |              | Endauflagerkraft | Quadratische Interaktion<br>Zwischenauflager |              |              |              |              |              |
|                |              |                                       | $R_{w,Rk,A}$                            | $M_{0,Rk,B}$ | $M_{c,Rk,B}$ | $R_{0,Rk,B}$ | $R_{w,Rk,B}$ |                  | $V_{w,Rk}$                                   | $R_{w,Rk,A}$ | $M_{0,Rk,B}$ | $M_{c,Rk,B}$ | $R_{0,Rk,B}$ | $R_{w,Rk,B}$ |
| $t_N$          | $M_{c,Rk,F}$ | $R_{w,Rk,A}$                          | $M_{0,Rk,B}$                            | $M_{c,Rk,B}$ | $R_{0,Rk,B}$ | $R_{w,Rk,B}$ | $V_{w,Rk}$   | $R_{w,Rk,A}$     | $M_{0,Rk,B}$                                 | $M_{c,Rk,B}$ | $R_{0,Rk,B}$ | $R_{w,Rk,B}$ | $V_{w,Rk}$   |              |
| mm             | kNm/m        | kN/m                                  | kNm/m                                   |              | kN/m         |              |              | kN/m             | kNm/m  |              | kN/m         |              |              |              |
| 0,50           | 1,34         | 8,47                                  | -                                       | 1,39         | -            | 17,41        | -            | -                | -  | -            | -            | -            | -            |              |
| 0,60           | 1,82         | 11,75                                 | -                                       | 2,00         | -            | 25,04        | -            | -                | -  | -            | -            | -            | -            |              |
| 0,63           | 2,00         | 12,95                                 | -                                       | 2,21         | -            | 27,61        | -            | -                | -  | -            | -            | -            | -            |              |
| 0,66           | 2,10         | 13,57                                 | -                                       | 2,31         | -            | 28,93        | -            | -                | -  | -            | -            | -            | -            |              |

Fußnoten siehe Anlage 10

Stahltrapezprofile S35/207, S75/305, S135/420 und S158/350 aus höchstem Stahl und deren Befestigung

Stahltrapezprofile Typ S35/207 Einbau in Negativlage, Festigkeitsstufe S550  
Querschnitts- und Bemessungswerte für Bemessung nach DIN EN 1993-1-3

Anlage 2.1



Stahltrapezprofil Typ **S35/207**  
Einbau in Negativlage

gilt für Klassen A1, A2 und B1 nach  
Tabellen 2 und 3 in Abschnitt 2.1.3

**Maßgebende Querschnittswerte**

| Nennblechdicke | Eigenlast         | Biegung <sup>8)</sup>        |                 | Normalkraftbeanspruchung      |                |                |                                     |                  |                  | Grenzstützweiten <sup>10)</sup> |                |
|----------------|-------------------|------------------------------|-----------------|-------------------------------|----------------|----------------|-------------------------------------|------------------|------------------|---------------------------------|----------------|
|                |                   |                              |                 | nicht reduzierter Querschnitt |                |                | wirksamer Querschnitt <sup>9)</sup> |                  |                  | L <sub>gr</sub> in m            |                |
|                |                   |                              |                 | A <sub>g</sub>                | i <sub>g</sub> | z <sub>g</sub> | A <sub>eff</sub>                    | i <sub>eff</sub> | z <sub>eff</sub> | Einfeldträger                   | Mehrfeldträger |
| t <sub>N</sub> | g                 | I <sub>ef</sub> <sup>+</sup> | Γ <sub>ef</sub> | A <sub>g</sub>                | i <sub>g</sub> | z <sub>g</sub> | A <sub>eff</sub>                    | i <sub>eff</sub> | z <sub>eff</sub> |                                 |                |
| mm             | kN/m <sup>2</sup> | cm <sup>4</sup> /m           |                 | cm <sup>2</sup> /m            | cm             |                | cm <sup>2</sup> /m                  | cm               |                  |                                 |                |
| 0,50           | 0,046             | 7,61                         | 5,75            | 5,12                          | 1,23           | 1,06           | 1,40                                | 1,43             | 1,52             | 0,63                            | 0,78           |
| 0,60           | 0,055             | 8,80                         | 7,74            | 6,23                          | 1,23           | 1,06           | 2,03                                | 1,41             | 1,51             | 1,14                            | 1,42           |
| 0,63           | 0,058             | 9,71                         | 8,54            | 6,56                          | 1,23           | 1,06           | 2,25                                | 1,40             | 1,51             | 1,20                            | 1,50           |
| 0,66           | 0,061             | 10,17                        | 8,94            | 6,87                          | 1,23           | 1,06           | 2,47                                | 1,40             | 1,50             | 1,20                            | 1,50           |

**Schubfeldwerte**

| Nennblechdicke | Grenzzustand der Tragfähigkeit |                   |                     |                     | Grenzzustand der Gebrauchstauglichkeit |                     |                  |                  | F <sub>l,Rk</sub> in kN |          |          |
|----------------|--------------------------------|-------------------|---------------------|---------------------|--|---------------------|------------------|------------------|-------------------------|----------|----------|
|                | L <sub>R</sub>                 | T <sub>1,Rk</sub> | T <sub>crit,g</sub> | T <sub>crit,l</sub> | T <sub>3,Rk,N</sub>                    | T <sub>3,Rk,S</sub> | k <sub>1</sub> ' | k <sub>2</sub> ' | Einleitungslänge a      |          |          |
|                | t <sub>N</sub>                 | kN/m              |                     |                     |  |                     |                  | m/kN             | m <sup>2</sup> /kN      | ≥ 130 mm | ≥ 280 mm |
| mm             | m                              |                   |                     |                     |  |                     |                  |                  |                         |          |          |
|                |                                |                   |                     |                     |  |                     |                  |                  |                         |          |          |

**Beiwerte:**

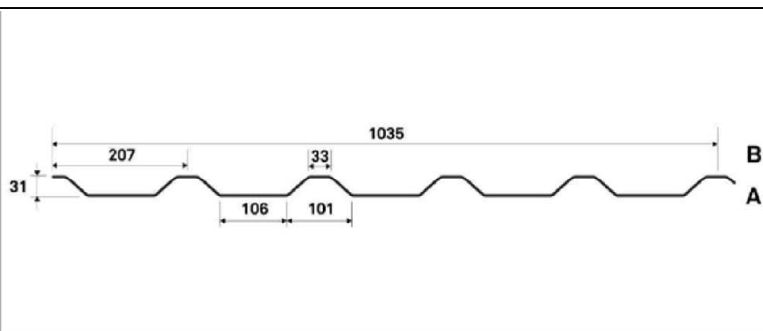
k<sub>1</sub>\* = -      k<sub>2</sub>\* = -      k<sub>3</sub>\* = -

Fußnoten siehe Anlage 10

Stahltrapezprofile S35/207, S75/305, S135/420 und S158/350 aus höchfestem Stahl und deren Befestigung

Stahltrapezprofile Typ S35/207 Einbau in Negativlage, Festigkeitsstufe S550  
Querschnitts- und Bemessungswerte für Bemessung nach DIN EN 1993-1-3

Anlage 2.2



Stahltrapezprofil Typ S35/207  
Einbau in Negativlage

Nennstreckgrenze des Stahlkerns  $f_{y,k} = 550 \text{ N/mm}^2$

**Charakteristische Tragfähigkeitswerte für andrückende Flächenbelastung <sup>3)</sup>**

| Nennblechdicke <sup>12)</sup> | Feldmoment   | Endauflagerkraft <sup>6)</sup><br>$l_{a,A} = 10 \text{ mm}$<br>$c_1 = 40 \text{ mm}$ $c_2 = 48 \text{ mm}$ |            | Elastisch aufnehmbare Schnittgrößen an Zwischenauflagern <sup>1) 2) 4) 5)</sup> |                             |                            |               |                                       |                            |               |                                       |                            |               |                                       |              |      |  |  |  |
|-------------------------------|--------------|--|------------|---|-----------------------------|----------------------------|---------------|---------------------------------------|----------------------------|---------------|---------------------------------------|----------------------------|---------------|---------------------------------------|--------------|------|--|--|--|
|                               |              |  |            | Quer-<br>kraft  | Lineare Interaktion         |                            |               |                                       |                            |               | Zwischenauflagerkräfte <sup>11)</sup> |                            |               |                                       |              |      |  |  |  |
|                               |              |  |            |   | Stützmomente <sup>11)</sup> |                            |               | Zwischenauflagerkräfte <sup>11)</sup> |                            |               | Stützmomente <sup>11)</sup>           |                            |               | Zwischenauflagerkräfte <sup>11)</sup> |              |      |  |  |  |
|                               |              |  |            |   | $l_{a,B} = 60 \text{ mm}$   | $l_{a,B} = 160 \text{ mm}$ | $l_{a,B} = -$ | $l_{a,B} = 60 \text{ mm}$             | $l_{a,B} = 160 \text{ mm}$ | $l_{a,B} = -$ | $l_{a,B} = 60 \text{ mm}$             | $l_{a,B} = 160 \text{ mm}$ | $l_{a,B} = -$ |                                       |              |      |  |  |  |
| $t_N$                         | $M_{c,Rk,F}$ | $R_{w,Rk,A}$   | $V_{w,Rk}$ | $M_{0,Rk,B}$  | $M_{c,Rk,B}$                | $M_{0,Rk,B}$               | $M_{c,Rk,B}$  | $M_{0,Rk,B}$                          | $M_{c,Rk,B}$               | $R_{0,Rk,B}$  | $R_{w,Rk,B}$                          | $R_{0,Rk,B}$               | $R_{w,Rk,B}$  | $R_{0,Rk,B}$                          | $R_{w,Rk,B}$ |      |  |  |  |
| mm                            | kNm/m        | kN/m   |            | kNm/m   |                             |                            |               |                                       |                            |               |                                       |                            |               |                                       |              | kN/m |  |  |  |
| 0,75                          | 2,65         | 7,79   | 15,58      | 48,93   | 3,04                        | 2,43                       | 3,04          | 2,43                                  | -                          | -             | 34,03                                 | 27,22                      | 49,58         | 39,66                                 | -            | -    |  |  |  |
| 0,88                          | 3,32         | 10,76  | 21,52      | 68,48   | 3,89                        | 3,11                       | 3,89          | 3,11                                  | -                          | -             | 46,15                                 | 36,92                      | 66,75         | 53,40                                 | -            | -    |  |  |  |
| 1,00                          | 3,96         | 13,89  | 27,78      | 89,45   | 4,74                        | 3,79                       | 4,74          | 3,79                                  | -                          | -             | 58,74                                 | 46,99                      | 84,43         | 67,54                                 | -            | -    |  |  |  |

**Reststützmomente <sup>7)</sup>**

| $t_N$ | $l_{a,B} = 60 \text{ mm}$ |       |                | $l_{a,B} = 160 \text{ mm}$ |       |                | $l_{a,B} = -$ |       |                | Reststützmomente $M_{R,Rk}$   |
|-------|---------------------------|-------|----------------|----------------------------|-------|----------------|---------------|-------|----------------|---|
|       | min L                     | max L | max $M_{R,Rk}$ | min L                      | max L | max $M_{R,Rk}$ | min L         | max L | max $M_{R,Rk}$ |   |
|       | mm                        | m     | kNm/m          | m                          | kNm/m | m              | kNm/m         |       |                |   |
| 0,75  | -                         | -     | -              | -                          | -     | -              | -             | -     | -              | $M_{R,Rk} = 0$ für $L \leq \min L$<br>$M_{R,Rk} = \max M_{R,Rk}$ für $L \geq \max L$<br>$M_{R,Rk} = \frac{L - \min L}{\max L - \min L} \cdot \max M_{R,Rk}$ |
| 0,88  | -                         | -     | -              | -                          | -     | -              | -             | -     |                |   |
| 1,00  | -                         | -     | -              | -                          | -     | -              | -             | -     |                |   |

**Charakteristische Tragfähigkeitswerte für abhebende Flächenbelastung <sup>1) 2)</sup>**

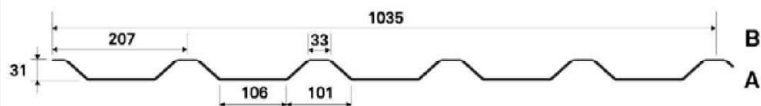
| Nennblechdicke | Feldmoment   | Befestigung in jedem anliegenden Gurt |                  |              |              |              |            |                  | Befestigung in jedem 2. anliegenden Gurt |              |              |              |              |
|----------------|--------------|---------------------------------------|------------------|--------------|--------------|--------------|------------|------------------|--|--------------|--------------|--------------|--------------|
|                |              | Endauflagerkraft                      | Zwischenauflager |              |              |              |            | Endauflagerkraft | Zwischenauflager                         |              |              |              |              |
|                |              |                                       | $M_{0,Rk,B}$     | $M_{c,Rk,B}$ | $R_{0,Rk,B}$ | $R_{w,Rk,B}$ | $V_{w,Rk}$ |                  | $R_{w,Rk,A}$                             | $M_{0,Rk,B}$ | $M_{c,Rk,B}$ | $R_{0,Rk,B}$ | $R_{w,Rk,B}$ |
| $t_N$          | $M_{c,Rk,F}$ | $R_{w,Rk,A}$                          | $M_{0,Rk,B}$     | $M_{c,Rk,B}$ | $R_{0,Rk,B}$ | $R_{w,Rk,B}$ | $V_{w,Rk}$ | $R_{w,Rk,A}$     | $M_{0,Rk,B}$                             | $M_{c,Rk,B}$ | $R_{0,Rk,B}$ | $R_{w,Rk,B}$ | $V_{w,Rk}$   |
| mm             | kNm/m        | kN/m                                  | kNm/m            |              |              |              |            | kN/m             | kNm/m                                    |              |              |              |              |
| 0,75           | 2,43         | 48,93                                 | -                | 2,65         | -            | -            | 48,93      | 24,46            | -  | 1,32         | -            | -            | 24,46        |
| 0,88           | 3,11         | 68,48                                 | -                | 3,32         | -            | -            | 68,48      | 34,24            | -  | 1,66         | -            | -            | 34,24        |
| 1,00           | 3,79         | 89,45                                 | -                | 3,96         | -            | -            | 89,45      | 44,72            | -  | 1,98         | -            | -            | 44,72        |

Fußnoten siehe Anlage 10

Stahltrapezprofile S35/207, S75/305, S135/420 und S158/350 aus höchstem Stahl und deren Befestigung

Stahltrapezprofile Typ S35/207 Einbau in Negativlage, Festigkeitsstufe S550  
Querschnitts- und Bemessungswerte für Bemessung nach DIN EN 1993-1-3

Anlage 2.3



Stahltrapezprofil Typ S35/207  
Einbau in Negativlage

Nennstreckgrenze des Stahlkerns  $f_{y,k} = 550 \text{ N/mm}^2$

**Maßgebende Querschnittswerte**

| Nennblechdicke | Eigenlast         | Biegung <sup>8)</sup> |       | Normalkraftbeanspruchung      |               |       |                                     |       |           | Grenzstützweiten <sup>10)</sup> |           |
|----------------|-------------------|-----------------------|-------|-------------------------------|---------------|-------|-------------------------------------|-------|-----------|---------------------------------|-----------|
|                |                   |                       |       | nicht reduzierter Querschnitt |               |       | wirksamer Querschnitt <sup>9)</sup> |       |           | L <sub>gr</sub> in m            |           |
|                |                   |                       |       | $I_{ef}^*$                    | $\Gamma_{ef}$ | $A_g$ | $i_g$                               | $z_g$ | $A_{eff}$ | $i_{eff}$                       | $z_{eff}$ |
| t <sub>N</sub> | g                 | cm <sup>2</sup> /m    |       | cm <sup>2</sup> /m            | cm            |       | cm <sup>2</sup> /m                  | cm    |           |                                 |           |
| mm             | kN/m <sup>2</sup> |                       |       |                               |               |       |                                     |       |           |                                 |           |
| 0,75           | 0,069             | 11,20                 | 8,00  | 7,90                          | 1,23          | 1,06  | 3,18                                | 1,38  | 1,50      | 2,05                            | 2,57      |
| 0,88           | 0,081             | 13,86                 | 9,94  | 9,34                          | 1,23          | 1,06  | 4,33                                | 1,36  | 1,48      | 2,57                            | 3,22      |
| 1,00           | 0,092             | 16,19                 | 11,82 | 10,68                         | 1,23          | 1,06  | 5,53                                | 1,34  | 1,47      | 3,07                            | 3,56      |

**Schubfeldwerte**

| Nennblechdicke | Grenz Zustand der Tragfähigkeit |                   |                     |                     | Grenz Zustand der Gebrauchstauglichkeit |                     |                  |                  | F <sub>1,Rk</sub> in kN |          |          |
|----------------|---------------------------------|-------------------|---------------------|---------------------|---|---------------------|------------------|------------------|-------------------------|----------|----------|
|                | L <sub>R</sub>                  | T <sub>1,Rk</sub> | T <sub>crit,g</sub> | T <sub>crit,l</sub> | T <sub>3,Rk,N</sub>                     | T <sub>3,Rk,S</sub> | k <sub>1</sub> ' | k <sub>2</sub> ' | Einleitungslänge a      |          |          |
|                | t <sub>N</sub>                  | kN/m              |                     |                     |   |                     |                  | m/kN             | m <sup>2</sup> /kN      | ≥ 130 mm | ≥ 280 mm |
| mm             | m                               |                   |                     |                     |   |                     |                  |                  |                         |          |          |
|                |                                 |                   |                     |                     |   |                     |                  |                  |                         |          |          |

**Beiwerte:**

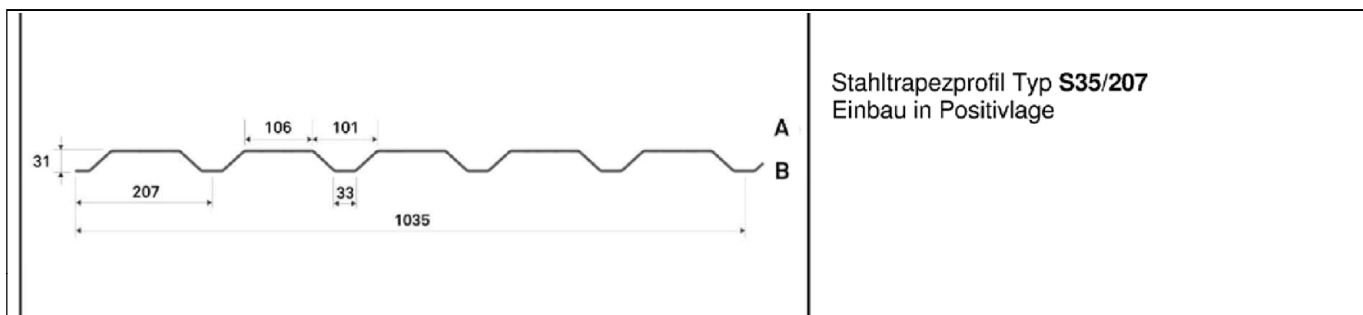
k<sub>1</sub>\* = -      k<sub>2</sub>\* = -      k<sub>3</sub>' = -

Fußnoten siehe Anlage 10

Stahltrapezprofile S35/207, S75/305, S135/420 und S158/350 aus höchfestem Stahl und deren Befestigung

Stahltrapezprofile Typ S35/207 Einbau in Negativlage, Festigkeitsstufe S550  
Querschnitts- und Bemessungswerte für Bemessung nach DIN EN 1993-1-3

Anlage 2.4



Stahltrapezprofil Typ **S35/207**  
Einbau in Positivlage

Nennstreckgrenze des Stahlkerns  $f_{y,k} = 550 \text{ N/mm}^2$

**Charakteristische Tragfähigkeitswerte für andrückende Flächenbelastung <sup>3)</sup>**

| Nennblechdicke <sup>20)</sup> | Feldmoment   | Elastisch aufnehmbare Schnittgrößen an Zwischenauflagern <sup>1) 2) 4) 5)</sup> |                       |                |                             |                            |               |                                       |                            |               |                                       |              |              |              |              |   |
|-------------------------------|--------------|---|-----------------------|----------------|-----------------------------|----------------------------|---------------|---------------------------------------|----------------------------|---------------|---------------------------------------|--------------|--------------|--------------|--------------|---|
|                               |              | Endauflagerkraft <sup>6)</sup><br>$l_{a,A} = 10 \text{ mm}$                     |                       | Quer-<br>kraft | Lineare Interaktion         |                            |               |                                       |                            |               | Zwischenauflegerkräfte <sup>19)</sup> |              |              |              |              |   |
|                               |              | $c_1 = 40 \text{ mm}$   | $c_2 = 48 \text{ mm}$ |                | Stützmomente <sup>19)</sup> |                            |               | Zwischenauflegerkräfte <sup>19)</sup> |                            |               | Zwischenauflegerkräfte <sup>19)</sup> |              |              |              |              |   |
|                               |              |   |                       |                | $l_{a,B} = 60 \text{ mm}$   | $l_{a,B} = 160 \text{ mm}$ | $l_{a,B} = -$ | $l_{a,B} = 60 \text{ mm}$             | $l_{a,B} = 160 \text{ mm}$ | $l_{a,B} = -$ |                                       |              |              |              |              |   |
| $t_N$                         | $M_{c,Rk,F}$ | $R_{w,Rk,A}$  | $V_{w,Rk}$            | $M_{0,Rk,B}$   | $M_{c,Rk,B}$                | $M_{0,Rk,B}$               | $M_{c,Rk,B}$  | $M_{0,Rk,B}$                          | $M_{c,Rk,B}$               | $R_{0,Rk,B}$  | $R_{w,Rk,B}$                          | $R_{0,Rk,B}$ | $R_{w,Rk,B}$ | $R_{0,Rk,B}$ | $R_{w,Rk,B}$ |   |
| mm                            | kNm/m        | kN/m  |                       | kNm/m          |                             |                            |               |                                       |                            | kN/m          |                                       |              |              |              |              |   |
| 0,75                          | 2,43         | 7,79  | 15,58                 | 48,93          | 3,31                        | 2,65                       | 3,31          | 2,65                                  | -                          | -             | 34,03                                 | 27,22        | 49,58        | 39,66        | -            | - |
| 0,88                          | 3,11         | 10,76   | 21,52                 | 68,48          | 4,15                        | 3,32                       | 4,15          | 3,32                                  | -                          | -             | 46,15                                 | 36,92        | 66,75        | 53,40        | -            | - |
| 1,00                          | 3,79         | 13,89   | 27,78                 | 89,45          | 4,95                        | 3,96                       | 4,95          | 3,96                                  | -                          | -             | 58,74                                 | 46,99        | 84,43        | 67,54        | -            | - |

**Reststützmomente <sup>7)</sup>**

| $t_N$ | $l_{a,B} = 60 \text{ mm}$ |       |                | $l_{a,B} = 160 \text{ mm}$ |       |                | $l_{a,B} = -$ |       |                | Reststützmomente $M_{R,Rk}$   |  |  |
|-------|---------------------------|-------|----------------|----------------------------|-------|----------------|---------------|-------|----------------|---|--|--|
|       | min L                     | max L | max $M_{R,Rk}$ | min L                      | max L | max $M_{R,Rk}$ | min L         | max L | max $M_{R,Rk}$ | $M_{R,Rk} = 0$ für $L \leq \min L$<br>$M_{R,Rk} = \max M_{R,Rk}$ für $L \geq \max L$<br>$M_{R,Rk} = \frac{L - \min L}{\max L - \min L} \cdot \max M_{R,Rk}$ |  |  |
|       | mm                        | m     | kNm/m          | m                          | kNm/m | m              | kNm/m         |       |                |   |  |  |
| 0,75  | -                         | -     | -              | -                          | -     | -              | -             | -     | -              |   |  |  |
| 0,88  | -                         | -     | -              | -                          | -     | -              | -             | -     |                |   |  |  |
| 1,00  | -                         | -     | -              | -                          | -     | -              | -             | -     |                |   |  |  |

**Charakteristische Tragfähigkeitswerte für abhebbende Flächenbelastung <sup>1) 2)</sup>**

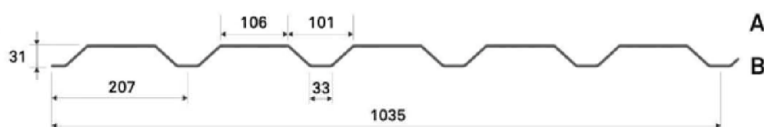
| Nennblechdicke | Feldmoment   | Befestigung in jedem anliegenden Gurt |                  |              |              |              |            |                  | Befestigung in jedem 2. anliegenden Gurt |              |              |              |              |            |
|----------------|--------------|---------------------------------------|------------------|--------------|--------------|--------------|------------|------------------|--|--------------|--------------|--------------|--------------|------------|
|                |              | Endauflagerkraft                      | Zwischenaufleger |              |              |              |            | Endauflagerkraft | Zwischenaufleger                         |              |              |              |              |            |
|                |              |                                       | $M_{0,Rk,B}$     | $M_{c,Rk,B}$ | $R_{0,Rk,B}$ | $R_{w,Rk,B}$ | $V_{w,Rk}$ |                  | $R_{w,Rk,A}$                             | $M_{0,Rk,B}$ | $M_{c,Rk,B}$ | $R_{0,Rk,B}$ | $R_{w,Rk,B}$ | $V_{w,Rk}$ |
| $t_N$          | $M_{c,Rk,F}$ | $R_{w,Rk,A}$                          | $M_{0,Rk,B}$     | $M_{c,Rk,B}$ | $R_{0,Rk,B}$ | $R_{w,Rk,B}$ | $V_{w,Rk}$ | $R_{w,Rk,A}$     | $M_{0,Rk,B}$                             | $M_{c,Rk,B}$ | $R_{0,Rk,B}$ | $R_{w,Rk,B}$ | $V_{w,Rk}$   |            |
| mm             | kNm/m        | kN/m                                  | kNm/m            |              |              |              |            | kN/m             | kNm/m                                    |              |              |              |              |            |
| 0,75           | 2,65         | 48,93                                 | -                | 2,43         | -            | -            | 48,93      | 24,46            | -  | 1,21         | -            | -            | 24,46        |            |
| 0,88           | 3,32         | 68,48                                 | -                | 3,11         | -            | -            | 68,48      | 34,24            | -  | 1,55         | -            | -            | 34,24        |            |
| 1,00           | 3,96         | 89,45                                 | -                | 3,79         | -            | -            | 89,45      | 44,72            | -  | 1,90         | -            | -            | 44,72        |            |

Fußnoten siehe Anlage 10

Stahltrapezprofile S35/207, S75/305, S135/420 und S158/350 aus höchstem Stahl und deren Befestigung

Stahltrapezprofile Typ S35/207 Einbau in Positivlage, Festigkeitsstufe S550  
Querschnitts- und Bemessungswerte für Bemessung nach DIN EN 1993-1-3

Anlage 2.5



Stahltrapezprofil Typ S35/207  
Einbau in Positivlage

Nennstreckgrenze des Stahlkerns  $f_{y,k} = 550 \text{ N/mm}^2$

**Maßgebende Querschnittswerte**

| Nennblechdicke | Eigenlast         | Biegung <sup>8)</sup> |          | Normalkraftbeanspruchung      |       |       |                                     |           |           | Grenzstützweiten <sup>10)</sup> |                |
|----------------|-------------------|-----------------------|----------|-------------------------------|-------|-------|-------------------------------------|-----------|-----------|---------------------------------|----------------|
|                |                   |                       |          | nicht reduzierter Querschnitt |       |       | wirksamer Querschnitt <sup>9)</sup> |           |           | $L_{gr}$ in m                   |                |
|                |                   |                       |          | $A_g$                         | $I_g$ | $z_g$ | $A_{eff}$                           | $I_{eff}$ | $z_{eff}$ | Einfeldträger                   | Mehrfeldträger |
| $t_N$          | $g$               | $I_{ef}^*$            | $I_{ef}$ | $A_g$                         | $I_g$ | $z_g$ | $A_{eff}$                           | $I_{eff}$ | $z_{eff}$ |                                 |                |
| mm             | kN/m <sup>2</sup> | cm <sup>4</sup> /m    |          | cm <sup>2</sup> /m            | cm    |       | cm <sup>2</sup> /m                  | cm        |           |                                 |                |
| 0,75           | 0,069             | 8,00                  | 11,20    | 7,90                          | 1,23  | 2,04  | 3,18                                | 1,38      | 1,60      | 1,88                            | 2,35           |
| 0,88           | 0,081             | 9,94                  | 13,86    | 9,34                          | 1,23  | 2,04  | 4,33                                | 1,36      | 1,62      | 2,41                            | 3,01           |
| 1,00           | 0,092             | 11,82                 | 16,19    | 10,68                         | 1,23  | 2,04  | 5,53                                | 1,34      | 1,63      | 2,85                            | 3,20           |

**Schubfeldwerte**

| Nennblechdicke | Grenz Zustand der Tragfähigkeit <sup>15)</sup> |            |              |              | Grenz Zustand der Gebrauchstauglichkeit <sup>16)</sup> |              |        |                               | $F_{t,Rk}$ in kN <sup>18)</sup> |                       |                       |
|----------------|--|------------|--------------|--------------|--|--------------|--------|-------------------------------|---------------------------------|-----------------------|-----------------------|
|                | $L_R$  | $T_{1,Rk}$ | $T_{crit,g}$ | $T_{crit,l}$ | $T_{3,Rk,N}$   | $T_{3,Rk,S}$ | $k_1'$ | $k_2'$                        | Einleitungslänge $a$            |                       |                       |
|                | $t_N$  |            |              |              |  |              |        | <sup>13)</sup> <sup>14)</sup> |                                 | $\geq 130 \text{ mm}$ | $\geq 280 \text{ mm}$ |
| mm             | m  | kN/m       |              |              |  |              |        | m/kN                          | m <sup>2</sup> /kN              |                       |                       |
|                |  |            |              |              |  |              |        |                               |                                 |                       |                       |

**Beiwerte:**

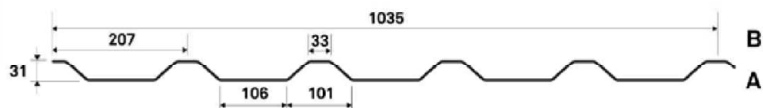
$k_1^* = -$  <sup>14)</sup>  $k_2^* = -$  <sup>14)</sup>  $k_3^* = -$  <sup>15)</sup>

Fußnoten siehe Anlage 10

Stahltrapezprofile S35/207, S75/305, S135/420 und S158/350 aus höchfestem Stahl und deren Befestigung

Stahltrapezprofile Typ S35/207 Einbau in Positivlage, Festigkeitsstufe S550  
Querschnitts- und Bemessungswerte für Bemessung nach DIN EN 1993-1-3

Anlage 2.6



Stahltrapezprofil Typ S35/207  
Einbau in Negativlage

gilt für Klasse B2 nach Tabelle 3  
in Abschnitt 2.1.3

Nennstreckgrenze des Stahlkerns  $f_{y,k} = 600 \text{ N/mm}^2$

**Charakteristische Tragfähigkeitswerte für andrückende Flächenbelastung <sup>3)</sup>**

| Nennblechdicke <sup>12)</sup> | Feldmoment   | Endauflagerkraft <sup>6)</sup> |            | Elastisch aufnehmbare Schnittgrößen an Zwischenauflagern <sup>1) 2) 4) 5)</sup> |                             |               |               |                                       |               |               |                                       |               |               |                                       |               |               |  |  |  |  |  |
|-------------------------------|--------------|--------------------------------|------------|---|-----------------------------|---------------|---------------|---------------------------------------|---------------|---------------|---------------------------------------|---------------|---------------|---------------------------------------|---------------|---------------|--|--|--|--|--|
|                               |              | $l_{a,A} = 40 \text{ mm}$      |            | Quer-<br>kraft  | Lineare Interaktion         |               |               |                                       |               |               | Zwischenauflagerkräfte <sup>11)</sup> |               |               |                                       |               |               |  |  |  |  |  |
|                               |              | $c_2 = 40 \text{ mm}$          |            |   | Stützmomente <sup>11)</sup> |               |               | Zwischenauflagerkräfte <sup>11)</sup> |               |               | Stützkräfte <sup>11)</sup>            |               |               | Zwischenauflagerkräfte <sup>11)</sup> |               |               |  |  |  |  |  |
|                               |              |                                |            |   | $l_{a,B} = 60 \text{ mm}$   | $l_{a,B} = -$ | $l_{a,B} = -$ | $l_{a,B} = 60 \text{ mm}$             | $l_{a,B} = -$ | $l_{a,B} = -$ | $l_{a,B} = 60 \text{ mm}$             | $l_{a,B} = -$ | $l_{a,B} = -$ | $l_{a,B} = 60 \text{ mm}$             | $l_{a,B} = -$ | $l_{a,B} = -$ |  |  |  |  |  |
| $t_N$                         | $M_{c,Rk,F}$ | $R_{w,Rk,A}$                   | $V_{w,Rk}$ | $M_{0,Rk,B}$  | $M_{c,Rk,B}$                | $M_{0,Rk,B}$  | $M_{c,Rk,B}$  | $M_{0,Rk,B}$                          | $M_{c,Rk,B}$  | $R_{0,Rk,B}$  | $R_{w,Rk,B}$                          | $R_{0,Rk,B}$  | $R_{w,Rk,B}$  | $R_{0,Rk,B}$                          | $R_{w,Rk,B}$  |               |  |  |  |  |  |
| mm                            | kNm/m        | kN/m                           |            | kNm/m   |                             |               |               |                                       |               |               |                                       |               |               |                                       |               | kN/m          |  |  |  |  |  |
| 0,50                          | 1,27         | 9,25                           | -          | -   | 1,47                        | 1,31          | -             | -                                     | -             | -             | 39,14                                 | 10,69         | -             | -                                     | -             | -             |  |  |  |  |  |
| 0,60                          | 1,71         | 12,89                          | -          | -   | 2,05                        | 1,84          | -             | -                                     | -             | -             | 60,13                                 | 15,29         | -             | -                                     | -             | -             |  |  |  |  |  |
| 0,63                          | 1,89         | 14,22                          | -          | -   | 2,26                        | 2,03          | -             | -                                     | -             | -             | 66,30                                 | 16,86         | -             | -                                     | -             | -             |  |  |  |  |  |
| 0,66                          | 1,98         | 14,89                          | -          | -   | 2,37                        | 2,13          | -             | -                                     | -             | -             | 69,45                                 | 17,66         | -             | -                                     | -             | -             |  |  |  |  |  |

**Reststützmomente <sup>7)</sup>**

| $t_N$ | $l_{a,B} = 60 \text{ mm}$ |       |                | $l_{a,B} = -$ |       |                | $l_{a,B} = -$ |       |                | Reststützmomente $M_{R,Rk}$   |
|-------|---------------------------|-------|----------------|---------------|-------|----------------|---------------|-------|----------------|---|
|       | min L                     | max L | max $M_{R,Rk}$ | min L         | max L | max $M_{R,Rk}$ | min L         | max L | max $M_{R,Rk}$ |   |
|       | mm                        | m     | kNm/m          | m             | kNm/m | m              | kNm/m         | m     | kNm/m          |   |
| 0,50  | -                         | -     | -              | -             | -     | -              | -             | -     | -              | $M_{R,Rk} = 0$ für $L \leq \min L$<br>$M_{R,Rk} = \max M_{R,Rk}$ für $L \geq \max L$<br>$M_{R,Rk} = \frac{L - \min L}{\max L - \min L} \cdot \max M_{R,Rk}$ |
| 0,60  | -                         | -     | -              | -             | -     | -              | -             | -     |                |   |
| 0,63  | -                         | -     | -              | -             | -     | -              | -             | -     |                |   |
| 0,66  | -                         | -     | -              | -             | -     | -              | -             | -     |                |   |

**Charakteristische Tragfähigkeitswerte für abhebende Flächenbelastung <sup>1) 2)</sup>**

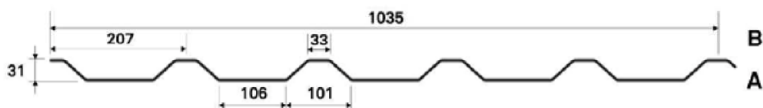
| Nennblechdicke | Feldmoment   | Befestigung in jedem anliegenden Gurt |   |              |              |              |            |                            | Befestigung in jedem 2. anliegenden Gurt     |              |              |              |              |            |
|----------------|--------------|---------------------------------------|---|--------------|--------------|--------------|------------|----------------------------|--|--------------|--------------|--------------|--------------|------------|
|                |              | Endauf-<br>lager-<br>kraft            | Lineare Interaktion<br>Zwischenaufleger |              |              |              |            | Endauf-<br>lager-<br>kraft | Quadratische Interaktion<br>Zwischenaufleger |              |              |              |              |            |
|                |              |                                       | $M_{0,Rk,B}$                            | $M_{c,Rk,B}$ | $R_{0,Rk,B}$ | $R_{w,Rk,B}$ | $V_{w,Rk}$ |                            | $R_{w,Rk,A}$                                 | $M_{0,Rk,B}$ | $M_{c,Rk,B}$ | $R_{0,Rk,B}$ | $R_{w,Rk,B}$ | $V_{w,Rk}$ |
| $t_N$          | $M_{c,Rk,F}$ | $R_{w,Rk,A}$                          | $M_{0,Rk,B}$                            | $M_{c,Rk,B}$ | $R_{0,Rk,B}$ | $R_{w,Rk,B}$ | $V_{w,Rk}$ | $R_{w,Rk,A}$               | $M_{0,Rk,B}$                                 | $M_{c,Rk,B}$ | $R_{0,Rk,B}$ | $R_{w,Rk,B}$ | $V_{w,Rk}$   |            |
| mm             | kNm/m        | kN/m                                  | kNm/m                                   |              |              |              |            | kN/m                       | kN/m   |              |              |              |              |            |
| 0,50           | 1,40         | 8,85                                  | -                                       | 1,45         | -            | 18,19        | -          | -                          | -  | -            | -            | -            | -            |            |
| 0,60           | 1,90         | 12,27                                 | -                                       | 2,09         | -            | 26,16        | -          | -                          | -  | -            | -            | -            | -            |            |
| 0,63           | 2,09         | 13,53                                 | -                                       | 2,31         | -            | 28,84        | -          | -                          | -  | -            | -            | -            | -            |            |
| 0,66           | 2,19         | 14,17                                 | -                                       | 2,41         | -            | 30,21        | -          | -                          | -  | -            | -            | -            | -            |            |

Fußnoten siehe Anlage 10

Stahltrapezprofile S35/207, S75/305, S135/420 und S158/350 aus höchstem Stahl und deren Befestigung

Stahltrapezprofile Typ S35/207 Einbau in Negativlage, Festigkeitsstufe S600  
Querschnitts- und Bemessungswerte für Bemessung nach DIN EN 1993-1-3

Anlage 3.1



Stahltrapezprofil Typ S35/207  
Einbau in Negativlage

gilt für Klasse B2 nach Tabelle 3  
in Abschnitt 2.1.3

Nennstreckgrenze des Stahlkerns  $f_{y,k} = 600 \text{ N/mm}^2$

**Maßgebende Querschnittswerte**

| Nennblechdicke | Eigenlast         | Biegung <sup>8)</sup> |          | Normalkraftbeanspruchung      |       |       |                                     |           |           | Grenzstützweiten <sup>10)</sup> |                |
|----------------|-------------------|-----------------------|----------|-------------------------------|-------|-------|-------------------------------------|-----------|-----------|---------------------------------|----------------|
|                |                   |                       |          | nicht reduzierter Querschnitt |       |       | wirksamer Querschnitt <sup>9)</sup> |           |           | $L_{gr}$ in m                   |                |
|                |                   |                       |          | $A_g$                         | $i_g$ | $z_g$ | $A_{eff}$                           | $i_{eff}$ | $z_{eff}$ | Einfeldträger                   | Mehrfeldträger |
| $t_N$          | $g$               | $I_{ef}^*$            | $I_{ef}$ | $A_g$                         | $i_g$ | $z_g$ | $A_{eff}$                           | $i_{eff}$ | $z_{eff}$ |                                 |                |
| mm             | kN/m <sup>2</sup> | cm <sup>4</sup> /m    |          | cm <sup>2</sup> /m            | cm    |       | cm <sup>2</sup> /m                  | cm        |           |                                 |                |
| 0,50           | 0,046             | 7,61                  | 5,75     | 5,12                          | 1,23  | 1,06  | 1,34                                | 1,43      | 1,52      | 0,68                            | 0,85           |
| 0,60           | 0,055             | 8,80                  | 7,74     | 6,23                          | 1,23  | 1,06  | 1,96                                | 1,41      | 1,51      | 1,20                            | 1,50           |
| 0,63           | 0,058             | 9,71                  | 8,54     | 6,56                          | 1,23  | 1,06  | 2,16                                | 1,41      | 1,51      | 1,20                            | 1,50           |
| 0,66           | 0,061             | 10,17                 | 8,94     | 6,87                          | 1,23  | 1,06  | 2,37                                | 1,40      | 1,51      | 1,20                            | 1,50           |

**Schubfeldwerte**

| Nennblechdicke | Grenzzustand der Tragfähigkeit |            |              |              | Grenzzustand der Gebrauchstauglichkeit |              |        |        | $F_{1,Rk}$ in kN   |          |          |
|----------------|--------------------------------|------------|--------------|--------------|--|--------------|--------|--------|--------------------|----------|----------|
|                | $L_R$                          | $T_{1,Rk}$ | $T_{crit,g}$ | $T_{crit,l}$ | $T_{3,Rk,N}$                           | $T_{3,Rk,S}$ | $k_1'$ | $k_2'$ | Einleitungslänge a |          |          |
|                | $t_N$                          | kN/m       |              |              |  |              |        | m/kN   | m <sup>2</sup> /kN | ≥ 130 mm | ≥ 280 mm |
| mm             | m                              | kN/m       |              |              |  |              |        | m/kN   | m <sup>2</sup> /kN | ≥ 130 mm | ≥ 280 mm |
|                |                                |            |              |              |  |              |        |        |                    |          |          |

**Beiwerte:**

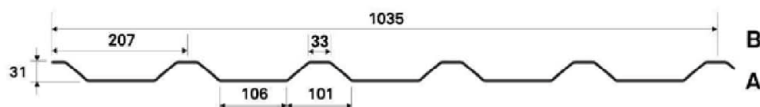
|             |             |             |
|-------------|-------------|-------------|
| $k_1^* = -$ | $k_2^* = -$ | $k_3^* = -$ |
|-------------|-------------|-------------|

Fußnoten siehe Anlage 10

Stahltrapezprofile S35/207, S75/305, S135/420 und S158/350 aus höchfestem Stahl und deren Befestigung

Stahltrapezprofile Typ S35/207 Einbau in Negativlage, Festigkeitsstufe S600  
Querschnitts- und Bemessungswerte für Bemessung nach DIN EN 1993-1-3

Anlage 3.2



Stahltrapezprofil Typ S35/207  
Einbau in Negativlage

Nennstreckgrenze des Stahlkerns  $f_{y,k} = 600 \text{ N/mm}^2$

**Charakteristische Tragfähigkeitswerte für andrückende Flächenbelastung <sup>3)</sup>**

| Nennblechdicke <sup>12)</sup> | Feldmoment   | Endauflagerkraft <sup>6)</sup> |                       | Elastisch aufnehmbare Schnittgrößen an Zwischenauflägern <sup>1) 2) 4) 5)</sup> |                             |                            |               |                                       |                            |               |                                       |              |              |              |              |              |
|-------------------------------|--------------|--------------------------------|-----------------------|---|-----------------------------|----------------------------|---------------|---------------------------------------|----------------------------|---------------|---------------------------------------|--------------|--------------|--------------|--------------|--------------|
|                               |              | $l_{a,A} = 10 \text{ mm}$      |                       | Quer-<br>kraft  | Lineare Interaktion         |                            |               |                                       |                            |               | Zwischenauflagerkräfte <sup>11)</sup> |              |              |              |              |              |
|                               |              | $c_1 = 40 \text{ mm}$          | $c_2 = 48 \text{ mm}$ |   | Stützmomente <sup>11)</sup> |                            |               | Zwischenauflagerkräfte <sup>11)</sup> |                            |               | Zwischenauflagerkräfte <sup>11)</sup> |              |              |              |              |              |
|                               |              |                                |                       |   | $l_{a,B} = 60 \text{ mm}$   | $l_{a,B} = 160 \text{ mm}$ | $l_{a,B} = -$ | $l_{a,B} = 60 \text{ mm}$             | $l_{a,B} = 160 \text{ mm}$ | $l_{a,B} = -$ |                                       |              |              |              |              |              |
| $t_N$                         | $M_{c,Rk,F}$ | $R_{w,Rk,A}$                   |                       | $V_{w,Rk}$  | $M_{0,Rk,B}$                | $M_{c,Rk,B}$               | $M_{0,Rk,B}$  | $M_{c,Rk,B}$                          | $M_{0,Rk,B}$               | $M_{c,Rk,B}$  | $R_{0,Rk,B}$                          | $R_{w,Rk,B}$ | $R_{0,Rk,B}$ | $R_{w,Rk,B}$ | $R_{0,Rk,B}$ | $R_{w,Rk,B}$ |
| mm                            | kNm/m        | kN/m                           |                       |   | kNm/m                       |                            |               |                                       |                            |               | kN/m                                  |              |              |              |              |              |
| 0,75                          | 2,83         | 8,14                           | 16,28                 | 51,10   | 3,25                        | 2,60                       | 3,25          | 2,60                                  | -                          | -             | 35,54                                 | 28,43        | 51,79        | 41,43        | -            | -            |
| 0,88                          | 3,56         | 11,24                          | 22,48                 | 71,53   | 4,15                        | 3,32                       | 4,15          | 3,32                                  | -                          | -             | 48,21                                 | 38,57        | 69,73        | 55,78        | -            | -            |
| 1,00                          | 4,26         | 14,51                          | 29,02                 | 93,42   | 5,06                        | 4,05                       | 5,06          | 4,05                                  | -                          | -             | 61,35                                 | 49,08        | 88,19        | 70,55        | -            | -            |

**Reststützmomente <sup>7)</sup>**

| $t_N$ | $l_{a,B} = 60 \text{ mm}$ |       |                | $l_{a,B} = 160 \text{ mm}$ |       |                | $l_{a,B} = -$ |       |                | Reststützmomente $M_{R,Rk}$                                     |  |  |
|-------|---------------------------|-------|----------------|----------------------------|-------|----------------|---------------|-------|----------------|---|--|--|
|       | min L                     | max L | max $M_{R,Rk}$ | min L                      | max L | max $M_{R,Rk}$ | min L         | max L | max $M_{R,Rk}$ |   |  |  |
|       | mm                        | m     | kNm/m          | m                          | m     | kNm/m          | m             | m     | kNm/m          |   |  |  |
| 0,75  | -                         | -     | -              | -                          | -     | -              | -             | -     | -              | $M_{R,Rk} = 0$ für $L \leq \min L$                              |  |  |
| 0,88  | -                         | -     | -              | -                          | -     | -              | -             | -     | -              | $M_{R,Rk} = \max M_{R,Rk}$ für $L \geq \max L$                  |  |  |
| 1,00  | -                         | -     | -              | -                          | -     | -              | -             | -     | -              | $M_{R,Rk} = \frac{L - \min L}{\max L - \min L} * \max M_{R,Rk}$ |  |  |

**Charakteristische Tragfähigkeitswerte für abhebbende Flächenbelastung <sup>1) 2)</sup>**

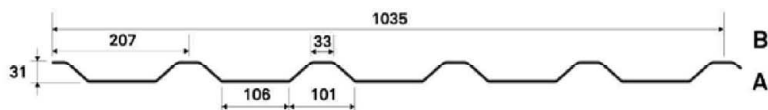
| Nennblechdicke | Feldmoment   | Befestigung in jedem anliegenden Gurt |                  |              |              |              |                  | Befestigung in jedem 2. anliegenden Gurt |              |              |              |              |              |
|----------------|--------------|---------------------------------------|------------------|--------------|--------------|--------------|------------------|--|--------------|--------------|--------------|--------------|--------------|
|                |              | Endauflagerkraft                      | Zwischenauflager |              |              |              | Endauflagerkraft | Zwischenauflager                         |              |              |              |              |              |
|                |              |                                       | $R_{w,Rk,A}$     | $M_{0,Rk,B}$ | $M_{c,Rk,B}$ | $R_{0,Rk,B}$ |                  | $R_{w,Rk,B}$                             | $V_{w,Rk}$   | $R_{w,Rk,A}$ | $M_{0,Rk,B}$ | $M_{c,Rk,B}$ | $R_{0,Rk,B}$ |
| $t_N$          | $M_{c,Rk,F}$ | $R_{w,Rk,A}$                          | $M_{0,Rk,B}$     | $M_{c,Rk,B}$ | $R_{0,Rk,B}$ | $R_{w,Rk,B}$ | $V_{w,Rk}$       | $R_{w,Rk,A}$                             | $M_{0,Rk,B}$ | $M_{c,Rk,B}$ | $R_{0,Rk,B}$ | $R_{w,Rk,B}$ | $V_{w,Rk}$   |
| mm             | kNm/m        | kN/m                                  | kNm/m            |              |              |              | kN/m             |  | kN/m         | kN/m         |              |              |              |
| 0,75           | 2,60         | 51,10                                 | -                | 2,83         | -            | -            | 51,10            | 25,55                                    | -            | 1,42         | -            | -            | 25,55        |
| 0,88           | 3,32         | 71,53                                 | -                | 3,56         | -            | -            | 71,53            | 35,76                                    | -            | 1,78         | -            | -            | 35,76        |
| 1,00           | 4,05         | 93,42                                 | -                | 4,26         | -            | -            | 93,42            | 46,71                                    | -            | 2,13         | -            | -            | 46,71        |

Fußnoten siehe Anlage 10

Stahltrapezprofile S35/207, S75/305, S135/420 und S158/350 aus höchfestem Stahl und deren Befestigung

Stahltrapezprofile Typ S35/207 Einbau in Negativlage, Festigkeitsstufe S600  
Querschnitts- und Bemessungswerte für Bemessung nach DIN EN 1993-1-3

Anlage 3.3



Stahltrapezprofil Typ S35/207  
Einbau in Negativlage

Nennstreckgrenze des Stahlkerns  $f_{y,k} = 600 \text{ N/mm}^2$

**Maßgebende Querschnittswerte**

| Nennblechdicke | Eigenlast         | Biegung <sup>8)</sup> |                 | Normalkraftbeanspruchung      |                |                |                                     |                  |                  | Grenzstützweiten <sup>10)</sup> |                |
|----------------|-------------------|-----------------------|-----------------|-------------------------------|----------------|----------------|-------------------------------------|------------------|------------------|---------------------------------|----------------|
|                |                   |                       |                 | nicht reduzierter Querschnitt |                |                | wirksamer Querschnitt <sup>9)</sup> |                  |                  | L <sub>gr</sub> in m            |                |
|                |                   |                       |                 | A <sub>g</sub>                | i <sub>g</sub> | z <sub>g</sub> | A <sub>eff</sub>                    | i <sub>eff</sub> | z <sub>eff</sub> | Einfeldträger                   | Mehrfeldträger |
| t <sub>N</sub> | g                 | I <sub>ef</sub>       | Γ <sub>ef</sub> | A <sub>g</sub>                | i <sub>g</sub> | z <sub>g</sub> | A <sub>eff</sub>                    | i <sub>eff</sub> | z <sub>eff</sub> |                                 |                |
| mm             | kN/m <sup>2</sup> | cm <sup>4</sup> /m    |                 | cm <sup>2</sup> /m            | cm             |                | cm <sup>2</sup> /m                  | cm               |                  |                                 |                |
| 0,75           | 0,069             | 11,07                 | 7,90            | 7,90                          | 1,23           | 1,06           | 3,06                                | 1,38             | 1,50             | 2,19                            | 2,74           |
| 0,88           | 0,081             | 13,70                 | 9,81            | 9,34                          | 1,23           | 1,06           | 4,18                                | 1,36             | 1,49             | 2,76                            | 3,37           |
| 1,00           | 0,092             | 16,19                 | 11,67           | 10,68                         | 1,23           | 1,06           | 5,34                                | 1,35             | 1,48             | 3,16                            | 3,56           |

**Schubfeldwerte**

| Nennblechdicke | Grenz Zustand der Tragfähigkeit |                   |                     |                     | Grenz Zustand der Gebrauchstauglichkeit |                     |                  |                  | F <sub>L,Rk</sub> in kN |          |  |
|----------------|---------------------------------|-------------------|---------------------|---------------------|---|---------------------|------------------|------------------|-------------------------|----------|--|
|                | L <sub>R</sub>                  | T <sub>1,Rk</sub> | T <sub>crit,g</sub> | T <sub>crit,l</sub> | T <sub>3,Rk,N</sub>                     | T <sub>3,Rk,S</sub> | k <sub>1</sub> ' | k <sub>2</sub> ' | Einleitungslänge a      |          |  |
|                | t <sub>N</sub>                  |                   |                     |                     |   |                     |                  |                  | ≥ 130 mm                | ≥ 280 mm |  |
| mm             | m                               | kN/m              |                     |                     |   |                     |                  | m/kN             | m <sup>2</sup> /kN      |          |  |
|                |                                 |                   |                     |                     |   |                     |                  |                  |                         |          |  |

**Beiwerte:**

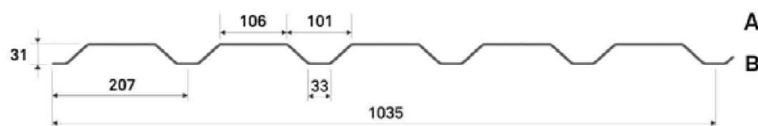
|                      |                      |                      |
|----------------------|----------------------|----------------------|
| k <sub>1</sub> * = - | k <sub>2</sub> * = - | k <sub>3</sub> ' = - |
|----------------------|----------------------|----------------------|

Fußnoten siehe Anlage 10

Stahltrapezprofile S35/207, S75/305, S135/420 und S158/350 aus höchfestem Stahl und deren Befestigung

Stahltrapezprofile Typ S35/207 Einbau in Negativlage, Festigkeitsstufe S600  
Querschnitts- und Bemessungswerte für Bemessung nach DIN EN 1993-1-3

Anlage 3.4



Stahltrapezprofil Typ S35/207  
Einbau in Positivlage

Nennstreckgrenze des Stahlkerns  $f_{yk} = 600 \text{ N/mm}^2$

**Charakteristische Tragfähigkeitswerte für andrückende Flächenbelastung <sup>3)</sup>**

| Nennblechdicke <sup>20)</sup> | Feldmoment   | Elastisch aufnehmbare Schnittgrößen an Zwischenauflagern <sup>1) 2) 4) 5)</sup> |                       |                |                             |                            |               |                                       |                            |               |                                       |              |              |              |              |              |
|-------------------------------|--------------|---|-----------------------|----------------|-----------------------------|----------------------------|---------------|---------------------------------------|----------------------------|---------------|---------------------------------------|--------------|--------------|--------------|--------------|--------------|
|                               |              | Endauflagerkraft <sup>6)</sup><br>$l_{a,A} = 10 \text{ mm}$                     |                       | Quer-<br>kraft | Lineare Interaktion         |                            |               |                                       |                            |               | Zwischenauflegerkräfte <sup>19)</sup> |              |              |              |              |              |
|                               |              | $c_1 = 40 \text{ mm}$   | $c_2 = 48 \text{ mm}$ |                | Stützmomente <sup>19)</sup> |                            |               | Zwischenauflegerkräfte <sup>19)</sup> |                            |               | Zwischenauflegerkräfte <sup>19)</sup> |              |              |              |              |              |
|                               |              |   |                       |                | $l_{a,B} = 60 \text{ mm}$   | $l_{a,B} = 160 \text{ mm}$ | $l_{a,B} = -$ | $l_{a,B} = 60 \text{ mm}$             | $l_{a,B} = 160 \text{ mm}$ | $l_{a,B} = -$ |                                       |              |              |              |              |              |
| $t_N$                         | $M_{c,Rk,F}$ | $R_{w,Rk,A}$  |                       | $V_{w,Rk}$     | $M_{0,Rk,B}$                | $M_{c,Rk,B}$               | $M_{0,Rk,B}$  | $M_{c,Rk,B}$                          | $M_{0,Rk,B}$               | $M_{c,Rk,B}$  | $R_{0,Rk,B}$                          | $R_{w,Rk,B}$ | $R_{0,Rk,B}$ | $R_{w,Rk,B}$ | $R_{0,Rk,B}$ | $R_{w,Rk,B}$ |
| mm                            | kNm/m        | kN/m  |                       |                | kNm/m                       |                            |               |                                       |                            |               | kN/m                                  |              |              |              |              |              |
| 0,75                          | 2,60         | 8,14  | 16,28                 | 51,10          | 3,54                        | 2,83                       | 3,54          | 2,83                                  | -                          | -             | 35,54                                 | 28,43        | 51,79        | 41,43        | -            | -            |
| 0,88                          | 3,32         | 11,24   | 22,48                 | 71,53          | 4,45                        | 3,56                       | 4,45          | 3,56                                  | -                          | -             | 48,21                                 | 38,57        | 69,73        | 55,78        | -            | -            |
| 1,00                          | 4,05         | 14,51   | 29,02                 | 93,42          | 5,33                        | 4,26                       | 5,33          | 4,26                                  | -                          | -             | 61,35                                 | 49,08        | 88,19        | 70,55        | -            | -            |

**Reststützmomente <sup>7)</sup>**

| $t_N$ | $l_{a,B} = 60 \text{ mm}$ |       |                | $l_{a,B} = 160 \text{ mm}$ |       |                | $l_{a,B} = -$ |       |                | Reststützmomente $M_{R,Rk}$   |
|-------|---------------------------|-------|----------------|----------------------------|-------|----------------|---------------|-------|----------------|---|
|       | min L                     | max L | max $M_{R,Rk}$ | min L                      | max L | max $M_{R,Rk}$ | min L         | max L | max $M_{R,Rk}$ |   |
|       | mm                        | m     | kNm/m          | m                          | m     | kNm/m          | m             | m     | kNm/m          |   |
| 0,75  | -                         | -     | -              | -                          | -     | -              | -             | -     | -              | $M_{R,Rk} = 0$ für $L \leq \min L$<br>$M_{R,Rk} = \max M_{R,Rk}$ für $L \geq \max L$<br>$M_{R,Rk} = \frac{L - \min L}{\max L - \min L} \cdot \max M_{R,Rk}$ |
| 0,88  | -                         | -     | -              | -                          | -     | -              | -             | -     |                |   |
| 1,00  | -                         | -     | -              | -                          | -     | -              | -             | -     |                |   |

**Charakteristische Tragfähigkeitswerte für abhebende Flächenbelastung <sup>1) 2)</sup>**

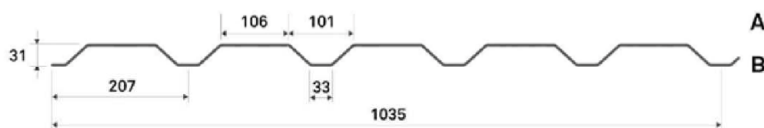
| Nennblechdicke | Feldmoment   | Befestigung in jedem anliegenden Gurt |                  |              |              |              |            |                  | Befestigung in jedem 2. anliegenden Gurt |              |              |              |              |            |
|----------------|--------------|---------------------------------------|------------------|--------------|--------------|--------------|------------|------------------|--|--------------|--------------|--------------|--------------|------------|
|                |              | Endauflagerkraft                      | Zwischenaufleger |              |              |              |            | Endauflagerkraft | Zwischenaufleger                         |              |              |              |              |            |
|                |              |                                       | $M_{0,Rk,B}$     | $M_{c,Rk,B}$ | $R_{0,Rk,B}$ | $R_{w,Rk,B}$ | $V_{w,Rk}$ |                  | $R_{w,Rk,A}$                             | $M_{0,Rk,B}$ | $M_{c,Rk,B}$ | $R_{0,Rk,B}$ | $R_{w,Rk,B}$ | $V_{w,Rk}$ |
| $t_N$          | $M_{c,Rk,F}$ | $R_{w,Rk,A}$                          | $M_{0,Rk,B}$     | $M_{c,Rk,B}$ | $R_{0,Rk,B}$ | $R_{w,Rk,B}$ | $V_{w,Rk}$ | $R_{w,Rk,A}$     | $M_{0,Rk,B}$                             | $M_{c,Rk,B}$ | $R_{0,Rk,B}$ | $R_{w,Rk,B}$ | $V_{w,Rk}$   |            |
| mm             | kNm/m        | kN/m                                  | kNm/m            |              |              |              |            | kN/m             | kN/m                                     |              |              |              |              |            |
| 0,75           | 2,83         | 51,10                                 | -                | 2,60         | -            | -            | 51,10      | 25,55            | -  | 1,30         | -            | -            | 25,55        |            |
| 0,88           | 3,56         | 71,53                                 | -                | 3,32         | -            | -            | 71,53      | 35,76            | -  | 1,66         | -            | -            | 35,76        |            |
| 1,00           | 4,26         | 93,42                                 | -                | 4,05         | -            | -            | 93,42      | 46,71            | -  | 2,03         | -            | -            | 46,71        |            |

Fußnoten siehe Anlage 10

Stahltrapezprofile S35/207, S75/305, S135/420 und S158/350 aus höchstem Stahl und deren Befestigung

Stahltrapezprofile Typ S35/207 Einbau in Positivlage, Festigkeitsstufe S600  
Querschnitts- und Bemessungswerte für Bemessung nach DIN EN 1993-1-3

Anlage 3.5



Stahltrapezprofil Typ S35/207  
Einbau in Positivlage

Nennstreckgrenze des Stahlkerns  $f_{yk} = 600 \text{ N/mm}^2$

**Maßgebende Querschnittswerte**

| Nennblechdicke | Eigenlast         | Biegung <sup>8)</sup> |          | Normalkraftbeanspruchung      |       |       |                                     |           |           | Grenzstützweiten <sup>10)</sup> |                |
|----------------|-------------------|-----------------------|----------|-------------------------------|-------|-------|-------------------------------------|-----------|-----------|---------------------------------|----------------|
|                |                   |                       |          | nicht reduzierter Querschnitt |       |       | wirksamer Querschnitt <sup>9)</sup> |           |           | $L_{gr}$ in m                   |                |
|                |                   |                       |          | $A_g$                         | $i_g$ | $z_g$ | $A_{eff}$                           | $i_{eff}$ | $z_{eff}$ | Einfeldträger                   | Mehrfeldträger |
| $t_N$          | $g$               | $I'_{ef}$             | $I_{ef}$ | $A_g$                         | $i_g$ | $z_g$ | $A_{eff}$                           | $i_{eff}$ | $z_{eff}$ |                                 |                |
| mm             | kN/m <sup>2</sup> | cm <sup>4</sup> /m    |          | cm <sup>2</sup> /m            | cm    |       | cm <sup>2</sup> /m                  | cm        |           |                                 |                |
| 0,75           | 0,069             | 7,90                  | 11,07    | 7,90                          | 1,23  | 2,04  | 3,06                                | 1,38      | 1,60      | 2,02                            | 2,52           |
| 0,88           | 0,081             | 9,81                  | 13,70    | 9,34                          | 1,23  | 2,04  | 4,18                                | 1,36      | 1,61      | 2,57                            | 3,01           |
| 1,00           | 0,092             | 11,67                 | 16,19    | 10,68                         | 1,23  | 2,04  | 5,34                                | 1,35      | 1,62      | 2,84                            | 3,19           |

**Schubfeldwerte**

| Nennblechdicke | Grenzzustand der Tragfähigkeit <sup>15)</sup> |                |                               |                | Grenzzustand der Gebrauchstauglichkeit <sup>16)</sup> |                |                               |                               | $F_{t,Rk}$ in kN <sup>18)</sup> |                       |  |
|----------------|---|----------------|-------------------------------|----------------|---|----------------|-------------------------------|-------------------------------|---------------------------------|-----------------------|--|
|                | $L_R$   | $T_{1,Rk}$     | $T_{crit,g}$                  | $T_{crit,l}$   | $T_{3,Rk,N}$  | $T_{3,Rk,S}$   | $k_1'$                        | $k_2'$                        | Einleitungslänge a              |                       |  |
|                | $t_N$   | <sup>11)</sup> | <sup>11)</sup> <sup>12)</sup> | <sup>12)</sup> | <sup>17)</sup>  | <sup>17)</sup> | <sup>13)</sup> <sup>14)</sup> | <sup>13)</sup> <sup>14)</sup> | $\geq 130 \text{ mm}$           | $\geq 280 \text{ mm}$ |  |
| mm             | m   | kN/m           |                               |                |   |                |                               | m/kN                          | m <sup>2</sup> /kN              |                       |  |
|                |   |                |                               |                |   |                |                               |                               |                                 |                       |  |

**Beiwerte:**

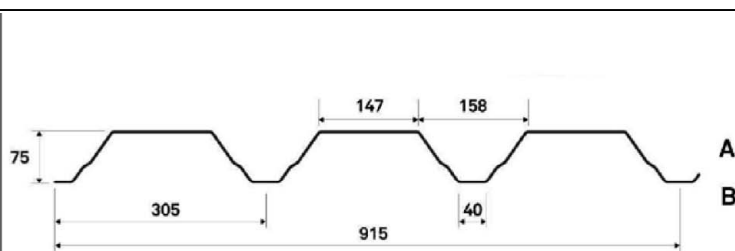
$k_1^* = -$  <sup>14)</sup>  $k_2^* = -$  <sup>14)</sup>  $k_3^* = -$  <sup>15)</sup>

Fußnoten siehe Anlage 10

Stahltrapezprofile S35/207, S75/305, S135/420 und S158/350 aus höchfestem Stahl und deren Befestigung

Stahltrapezprofile Typ S35/207 Einbau in Positivlage, Festigkeitsstufe S600  
Querschnitts- und Bemessungswerte für Bemessung nach DIN EN 1993-1-3

Anlage 3.6



Stahltrapezprofil Typ S75/305  
Einbau in Positivlage

Nennstreckgrenze des Stahlkerns  $f_{y,k} = 550 \text{ N/mm}^2$

**Charakteristische Tragfähigkeitswerte für andrückende Flächenbelastung <sup>3)</sup>**

| Nennblechdicke <sup>12)</sup> | Feldmoment   | Endauflagerkraft <sup>6)</sup> |       | Elastisch aufnehmbare Schnittgrößen an Zwischenauflagern <sup>1) 2) 4) 5)</sup> |                             |                            |               |                           |                            |               |                                      |                            |               |              |              |              |
|-------------------------------|--------------|--------------------------------|-------|---|-----------------------------|----------------------------|---------------|---------------------------|----------------------------|---------------|--------------------------------------|----------------------------|---------------|--------------|--------------|--------------|
|                               |              |                                |       | Quer-<br>kraft  | Stützmomente <sup>11)</sup> |                            |               |                           |                            |               | Zwischenaflagerkräfte <sup>11)</sup> |                            |               |              |              |              |
|                               |              |                                |       |   | $l_{a,B} = 60 \text{ mm}$   | $l_{a,B} = 160 \text{ mm}$ | $l_{a,B} = -$ | $l_{a,B} = 60 \text{ mm}$ | $l_{a,B} = 160 \text{ mm}$ | $l_{a,B} = -$ | $l_{a,B} = 60 \text{ mm}$            | $l_{a,B} = 160 \text{ mm}$ | $l_{a,B} = -$ |              |              |              |
| $t_N$                         | $M_{c,Rk,F}$ | $R_{w,Rk,A}$                   |       | $V_{w,Rk}$  | $M_{0,Rk,B}$                | $M_{c,Rk,B}$               | $M_{0,Rk,B}$  | $M_{c,Rk,B}$              | $M_{0,Rk,B}$               | $M_{c,Rk,B}$  | $R_{0,Rk,B}$                         | $R_{w,Rk,B}$               | $R_{0,Rk,B}$  | $R_{w,Rk,B}$ | $R_{0,Rk,B}$ | $R_{w,Rk,B}$ |
| mm                            | kNm/m        | kN/m                           |       |   | kNm/m                       |                            |               |                           |                            |               | kN/m                                 |                            |               |              |              |              |
| 0,75                          | 4,48         | 7,13                           | 14,26 | 35,35   | -                           | 6,63                       | -             | 6,63                      | -                          | -             | -                                    | 24,91                      | -             | 36,30        | -            | -            |
| 0,88                          | 6,27         | 10,06                          | 20,12 | 57,18   | -                           | 8,40                       | -             | 8,40                      | -                          | -             | -                                    | 34,51                      | -             | 49,92        | -            | -            |
| 1,00                          | 8,20         | 13,16                          | 26,32 | 83,85   | -                           | 9,94                       | -             | 9,94                      | -                          | -             | -                                    | 44,54                      | -             | 64,02        | -            | -            |

**Reststützmomente <sup>7)</sup>**

| $t_N$ | $l_{a,B} = 60 \text{ mm}$ |       |                | $l_{a,B} = 160 \text{ mm}$ |       |                | $l_{a,B} = -$ |       |                | Reststützmomente $M_{R,Rk}$   |
|-------|---------------------------|-------|----------------|----------------------------|-------|----------------|---------------|-------|----------------|---|
|       | min L                     | max L | max $M_{R,Rk}$ | min L                      | max L | max $M_{R,Rk}$ | min L         | max L | max $M_{R,Rk}$ |   |
| mm    | m                         |       | kNm/m          | m                          |       | kNm/m          | m             |       | kNm/m          |   |
| 0,75  | -                         | -     | -              | -                          | -     | -              | -             | -     | -              | $M_{R,Rk} = 0$ für $L \leq \min L$                                  |
| 0,88  | -                         | -     | -              | -                          | -     | -              | -             | -     | -              | $M_{R,Rk} = \max M_{R,Rk}$ für $L \geq \max L$                      |
| 1,00  | -                         | -     | -              | -                          | -     | -              | -             | -     | -              | $M_{R,Rk} = \frac{L - \min L}{\max L - \min L} \cdot \max M_{R,Rk}$ |

**Charakteristische Tragfähigkeitswerte für abhebende Flächenbelastung <sup>1) 2)</sup>**

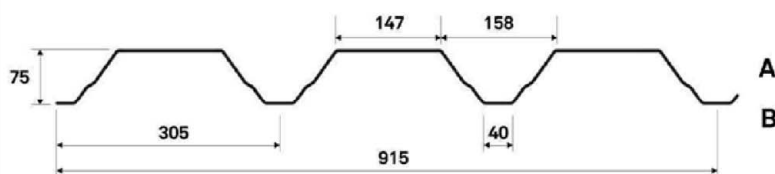
| Nennblechdicke | Feldmoment   | Befestigung in jedem anliegenden Gurt |                 |              |              |              |            |                  | Befestigung in jedem 2. anliegenden Gurt |              |              |              |              |            |
|----------------|--------------|---------------------------------------|-----------------|--------------|--------------|--------------|------------|------------------|--|--------------|--------------|--------------|--------------|------------|
|                |              | Endauflagerkraft                      | Zwischenaflager |              |              |              |            | Endauflagerkraft | Zwischenaflager                          |              |              |              |              |            |
|                |              |                                       | $M_{0,Rk,B}$    | $M_{c,Rk,B}$ | $R_{0,Rk,B}$ | $R_{w,Rk,B}$ | $V_{w,Rk}$ |                  | $R_{w,Rk,A}$                             | $M_{0,Rk,B}$ | $M_{c,Rk,B}$ | $R_{0,Rk,B}$ | $R_{w,Rk,B}$ | $V_{w,Rk}$ |
| $t_N$          | $M_{c,Rk,F}$ | $R_{w,Rk,A}$                          | $M_{0,Rk,B}$    | $M_{c,Rk,B}$ | $R_{0,Rk,B}$ | $R_{w,Rk,B}$ | $V_{w,Rk}$ | $R_{w,Rk,A}$     | $M_{0,Rk,B}$                             | $M_{c,Rk,B}$ | $R_{0,Rk,B}$ | $R_{w,Rk,B}$ | $V_{w,Rk}$   |            |
| mm             | kNm/m        | kN/m                                  | kNm/m           |              |              |              |            | kN/m             | kNm/m                                    |              |              |              |              |            |
| 0,75           | 6,63         | 35,35                                 | -               | 4,48         | -            | -            | 35,35      | 17,67            | -  | 2,24         | -            | -            | 17,67        |            |
| 0,88           | 8,40         | 57,18                                 | -               | 6,27         | -            | -            | 57,18      | 28,59            | -  | 3,14         | -            | -            | 28,59        |            |
| 1,00           | 9,94         | 83,85                                 | -               | 8,20         | -            | -            | 83,85      | 41,93            | -  | 4,10         | -            | -            | 41,93        |            |

Fußnoten siehe Anlage 10

Stahltrapezprofile S35/207, S75/305, S135/420 und S158/350 aus höchfestem Stahl und deren Befestigung

Stahltrapezprofil Typ S75/305 Einbau in Positivlage, Festigkeitsstufe S550  
Querschnitts- und Bemessungswerte für Bemessung nach DIN EN 1993-1-3

Anlage 4.1



Stahltrapezprofil Typ **S75/305**  
Einbau in Positivlage

Nennstreckgrenze des Stahlkerns  $f_{y,k} = 550 \text{ N/mm}^2$

**Maßgebende Querschnittswerte**

| Nennblechdicke | Eigenlast         | Biegung <sup>8)</sup> |          | Normalkraftbeanspruchung      |       |       |                                     |           |           | Grenzstützweiten <sup>10)</sup> |                |
|----------------|-------------------|-----------------------|----------|-------------------------------|-------|-------|-------------------------------------|-----------|-----------|---------------------------------|----------------|
|                |                   |                       |          | nicht reduzierter Querschnitt |       |       | wirksamer Querschnitt <sup>9)</sup> |           |           | $L_{gr}$ in m                   |                |
|                |                   |                       |          | $A_g$                         | $i_g$ | $z_g$ | $A_{eff}$                           | $i_{eff}$ | $z_{eff}$ | Einfeldträger                   | Mehrfeldträger |
| $t_N$          | $g$               | $I_{ef}$              | $I_{ef}$ | $A_g$                         | $i_g$ | $z_g$ | $A_{eff}$                           | $i_{eff}$ | $z_{eff}$ |                                 |                |
| mm             | kN/m <sup>2</sup> | cm <sup>4</sup> /m    |          | cm <sup>2</sup> /m            | cm    |       | cm <sup>2</sup> /m                  | cm        |           |                                 |                |
| 0,75           | 0,078             | 40,71                 | 65,45    | 8,80                          | 2,85  | 4,78  | 2,90                                | 3,11      | 3,62      | 3,74                            | 4,68           |
| 0,88           | 0,091             | 53,21                 | 80,60    | 10,45                         | 2,86  | 4,78  | 3,98                                | 3,09      | 3,65      | 5,02                            | 5,65           |
| 1,00           | 0,104             | 65,42                 | 94,61    | 11,95                         | 2,86  | 4,78  | 5,15                                | 3,05      | 3,67      | 5,38                            | 6,05           |

**Schubfeldwerte**

| Nennblechdicke | Grenzzustand der Tragfähigkeit |            |              |              | Grenzzustand der Gebrauchstauglichkeit |              |        |        | $F_{t,Rk}$ in kN   |                       |                       |
|----------------|--------------------------------|------------|--------------|--------------|--|--------------|--------|--------|--------------------|-----------------------|-----------------------|
|                | $L_R$                          | $T_{1,Rk}$ | $T_{crit,g}$ | $T_{crit,l}$ | $T_{3,Rk,N}$                           | $T_{3,Rk,S}$ | $k_1'$ | $k_2'$ | Einleitungslänge a |                       |                       |
|                | $t_N$                          | kN/m       |              |              |  |              |        | m/kN   | m <sup>2</sup> /kN | $\geq 130 \text{ mm}$ | $\geq 280 \text{ mm}$ |
| mm             | m                              |            |              |              |  |              |        |        |                    |                       |                       |
|                |                                |            |              |              |  |              |        |        |                    |                       |                       |

**Beiwerte:**

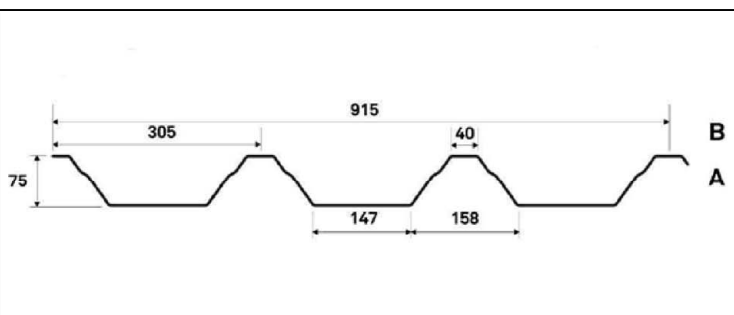
|             |             |             |
|-------------|-------------|-------------|
| $k_1^* = -$ | $k_2^* = -$ | $k_3^* = -$ |
|-------------|-------------|-------------|

Fußnoten siehe Anlage 10

Stahltrapezprofile S35/207, S75/305, S135/420 und S158/350 aus höchfestem Stahl und deren Befestigung

Stahltrapezprofil Typ S75/305 Einbau in Positivlage, Festigkeitsstufe S550  
Querschnitts- und Bemessungswerte für Bemessung nach DIN EN 1993-1-3

Anlage 4.2



Stahltrapezprofil Typ S75/305  
Einbau in Negativlage

Nennstreckgrenze des Stahlkerns  $f_{y,k} = 550 \text{ N/mm}^2$

**Charakteristische Tragfähigkeitswerte für andrückende Flächenbelastung <sup>3)</sup>**

| Nennblechdicke <sup>12)</sup> | Feldmoment   | Endauflagerkraft <sup>5)</sup> |            | Elastisch aufnehmbare Schnittgrößen an Zwischenauflagern <sup>1) 2) 4) 5)</sup> |                             |                             |                           |                            |               |                           |                                       |               |              |              |              |   |
|-------------------------------|--------------|--------------------------------|------------|---|-----------------------------|-----------------------------|---------------------------|----------------------------|---------------|---------------------------|---------------------------------------|---------------|--------------|--------------|--------------|---|
|                               |              |                                |            | Quer-<br>kraft  | Stützmomente <sup>11)</sup> |                             |                           |                            |               |                           | Zwischenauflegerkräfte <sup>11)</sup> |               |              |              |              |   |
|                               |              |                                |            |   | $l_{a,A1} = 40 \text{ mm}$  | $l_{a,A2} = 113 \text{ mm}$ | $l_{a,B} = 60 \text{ mm}$ | $l_{a,B} = 160 \text{ mm}$ | $l_{a,B} = -$ | $l_{a,B} = 60 \text{ mm}$ | $l_{a,B} = 160 \text{ mm}$            | $l_{a,B} = -$ |              |              |              |   |
| $t_N$                         | $M_{c,Rk,F}$ | $R_{w,Rk,A}$                   | $V_{w,Rk}$ | $M_{0,Rk,B}$  | $M_{c,Rk,B}$                | $M_{0,Rk,B}$                | $M_{c,Rk,B}$              | $M_{0,Rk,B}$               | $M_{c,Rk,B}$  | $R_{0,Rk,B}$              | $R_{w,Rk,B}$                          | $R_{0,Rk,B}$  | $R_{w,Rk,B}$ | $R_{0,Rk,B}$ | $R_{w,Rk,B}$ |   |
| mm                            | kNm/m        | kN/m                           |            | kNm/m   |                             |                             |                           |                            |               | kN/m                      |                                       |               |              |              |              |   |
| 0,75                          | 6,63         | 5,56                           | 11,12      | 35,35   | -                           | 4,48                        | -                         | 4,48                       | -             | -                         | -                                     | 19,42         | -            | 28,30        | -            | - |
| 0,88                          | 8,40         | 7,72                           | 15,44      | 57,18   | -                           | 6,27                        | -                         | 6,27                       | -             | -                         | -                                     | 26,48         | -            | 38,29        | -            | - |
| 1,00                          | 9,94         | 10,03                          | 20,06      | 83,85   | -                           | 8,20                        | -                         | 8,20                       | -             | -                         | -                                     | 33,92         | -            | 48,76        | -            | - |

**Reststützmomente <sup>7)</sup>**

| $t_N$ | $l_{a,B} = 60 \text{ mm}$ |       |                | $l_{a,B} = 160 \text{ mm}$ |       |                | $l_{a,B} = -$ |       |                | Reststützmomente $M_{R,Rk}$   |  |  |
|-------|---------------------------|-------|----------------|----------------------------|-------|----------------|---------------|-------|----------------|---|--|--|
|       | min L                     | max L | max $M_{R,Rk}$ | min L                      | max L | max $M_{R,Rk}$ | min L         | max L | max $M_{R,Rk}$ |   |  |  |
| mm    | m                         |       |                | m                          |       |                | m             |       |                | kNm/m   |  |  |
| 0,75  | -                         | -     | -              | -                          | -     | -              | -             | -     | -              | $M_{R,Rk} = 0$ für $L \leq \min L$<br>$M_{R,Rk} = \max M_{R,Rk}$ für $L \geq \max L$<br>$M_{R,Rk} = \frac{L - \min L}{\max L - \min L} \cdot \max M_{R,Rk}$ |  |  |
| 0,88  | -                         | -     | -              | -                          | -     | -              | -             | -     |                |   |  |  |
| 1,00  | -                         | -     | -              | -                          | -     | -              | -             | -     |                |   |  |  |

**Charakteristische Tragfähigkeitswerte für abhebende Flächenbelastung <sup>1) 2)</sup>**

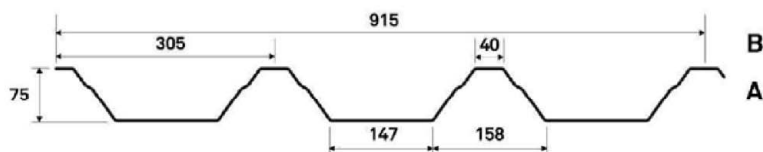
| Nennblechdicke | Feldmoment   | Befestigung in jedem anliegenden Gurt |                  |              |              |              |                  |                  | Befestigung in jedem 2. anliegenden Gurt |              |              |              |            |  |
|----------------|--------------|---------------------------------------|------------------|--------------|--------------|--------------|------------------|------------------|--|--------------|--------------|--------------|------------|--|
|                |              | Endauflagerkraft                      | Zwischenaufleger |              |              |              | Endauflagerkraft | Zwischenaufleger |  |              |              |              |            |  |
| $t_N$          | $M_{c,Rk,F}$ | $R_{w,Rk,A}$                          | $M_{0,Rk,B}$     | $M_{c,Rk,B}$ | $R_{0,Rk,B}$ | $R_{w,Rk,B}$ | $V_{w,Rk}$       | $R_{w,Rk,A}$     | $M_{0,Rk,B}$                             | $M_{c,Rk,B}$ | $R_{0,Rk,B}$ | $R_{w,Rk,B}$ | $V_{w,Rk}$ |  |
| mm             | kNm/m        | kN/m                                  | kNm/m            |              |              |              | kN/m             | kN/m             | kNm/m                                    |              |              |              |            |  |
| 0,75           | 4,48         | 35,35                                 | -                | 6,63         | -            | -            | 35,35            | 17,67            | -  | 3,31         | -            | -            | 17,67      |  |
| 0,88           | 6,27         | 57,18                                 | -                | 8,40         | -            | -            | 57,18            | 28,59            | -  | 4,20         | -            | -            | 28,59      |  |
| 1,00           | 8,20         | 83,85                                 | -                | 9,94         | -            | -            | 83,85            | 41,93            | -  | 4,97         | -            | -            | 41,93      |  |

Fußnoten siehe Anlage 10

Stahltrapezprofile S35/207, S75/305, S135/420 und S158/350 aus höchstem Stahl und deren Befestigung

Stahltrapezprofil Typ S75/305 Einbau in Negativlage, Festigkeitsstufe S550  
Querschnitts- und Bemessungswerte für Bemessung nach DIN EN 1993-1-3

Anlage 4.3



Stahltrapezprofil Typ S75/305  
Einbau in Negativlage

Nennstreckgrenze des Stahlkerns  $f_{y,k} = 550 \text{ N/mm}^2$

**Maßgebende Querschnittswerte**

| Nennblechdicke | Eigenlast         | Biegung <sup>8)</sup> |                 | Normalkraftbeanspruchung      |                |                |                                     |                  |                  | Grenzstützweiten <sup>10)</sup> |                |
|----------------|-------------------|-----------------------|-----------------|-------------------------------|----------------|----------------|-------------------------------------|------------------|------------------|---------------------------------|----------------|
|                |                   |                       |                 | nicht reduzierter Querschnitt |                |                | wirksamer Querschnitt <sup>9)</sup> |                  |                  | L <sub>gr</sub> in m            |                |
|                |                   |                       |                 | A <sub>g</sub>                | I <sub>g</sub> | z <sub>g</sub> | A <sub>eff</sub>                    | I <sub>eff</sub> | z <sub>eff</sub> | Einfeldträger                   | Mehrfeldträger |
| t <sub>N</sub> | g                 | I <sub>ef</sub>       | I <sub>ef</sub> | A <sub>g</sub>                | I <sub>g</sub> | z <sub>g</sub> | A <sub>eff</sub>                    | I <sub>eff</sub> | z <sub>eff</sub> |                                 |                |
| mm             | kN/m <sup>2</sup> | cm <sup>4</sup> /m    |                 | cm <sup>2</sup> /m            | cm             |                | cm <sup>2</sup> /m                  | cm               |                  |                                 |                |
| 0,75           | 0,078             | 65,45                 | 40,71           | 8,80                          | 2,85           | 2,72           | 2,90                                | 3,11             | 3,88             | 5,38                            | 6,06           |
| 0,88           | 0,091             | 80,60                 | 53,21           | 10,45                         | 2,86           | 2,72           | 3,98                                | 3,09             | 3,85             | 5,77                            | 6,49           |
| 1,00           | 0,104             | 94,61                 | 65,42           | 11,95                         | 2,86           | 2,72           | 5,15                                | 3,05             | 3,83             | 6,09                            | 6,85           |

**Schubfeldwerte**

| Nennblechdicke | Grenzzustand der Tragfähigkeit |                   |                     |                     | Grenzzustand der Gebrauchstauglichkeit |                     |                  |                  | F <sub>t,Rk</sub> in kN |          |  |
|----------------|--------------------------------|-------------------|---------------------|---------------------|--|---------------------|------------------|------------------|-------------------------|----------|--|
|                | L <sub>R</sub>                 | T <sub>1,Rk</sub> | T <sub>crit,g</sub> | T <sub>crit,l</sub> | T <sub>3,Rk,N</sub>                    | T <sub>3,Rk,S</sub> | k <sub>1</sub> ' | k <sub>2</sub> ' | Einleitungslänge a      |          |  |
|                | t <sub>N</sub>                 |                   |                     |                     |  |                     |                  |                  | ≥ 130 mm                | ≥ 280 mm |  |
| mm             | m                              | kN/m              |                     |                     |  |                     |                  | m/kN             | m <sup>2</sup> /kN      |          |  |
|                |                                |                   |                     |                     |  |                     |                  |                  |                         |          |  |

**Beiwerte:**

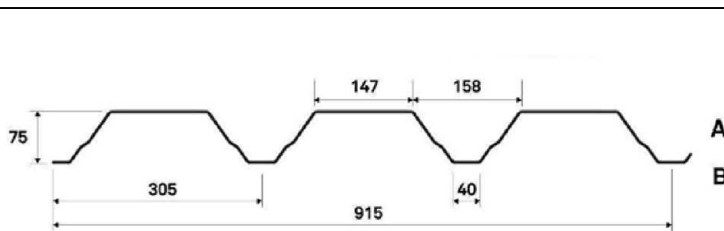
|                      |                      |                      |
|----------------------|----------------------|----------------------|
| k <sub>1</sub> * = - | k <sub>2</sub> * = - | k <sub>3</sub> * = - |
|----------------------|----------------------|----------------------|

Fußnoten siehe Anlage 10

Stahltrapezprofile S35/207, S75/305, S135/420 und S158/350 aus höchfestem Stahl und deren Befestigung

Stahltrapezprofil Typ S75/305 Einbau in Negativlage, Festigkeitsstufe S550  
Querschnitts- und Bemessungswerte für Bemessung nach DIN EN 1993-1-3

Anlage 4.4



Stahltrapezprofil Typ S75/305  
Einbau in Positivlage

Nennstreckgrenze des Stahlkerns  $f_{y,k} = 600 \text{ N/mm}^2$

**Charakteristische Tragfähigkeitswerte für andrückende Flächenbelastung <sup>3)</sup>**

| Nennblechdicke <sup>12)</sup> | Feldmoment   | Endauflagerkraft <sup>6)</sup> |            | Elastisch aufnehmbare Schnittgrößen an Zwischenauflägern <sup>1) 2) 4) 5)</sup> |                             |                            |               |                           |                            |               |                                      |              |              |              |              |   |
|-------------------------------|--------------|--------------------------------|------------|---|-----------------------------|----------------------------|---------------|---------------------------|----------------------------|---------------|--------------------------------------|--------------|--------------|--------------|--------------|---|
|                               |              |                                |            | Quer-<br>kraft  | Stützmomente <sup>11)</sup> |                            |               |                           |                            |               | Zwischenaflagerkräfte <sup>11)</sup> |              |              |              |              |   |
|                               |              |                                |            |   | $l_{a,B} = 60 \text{ mm}$   | $l_{a,B} = 160 \text{ mm}$ | $l_{a,B} = -$ | $l_{a,B} = 60 \text{ mm}$ | $l_{a,B} = 160 \text{ mm}$ | $l_{a,B} = -$ |                                      |              |              |              |              |   |
| $t_N$                         | $M_{c,Rk,F}$ | $R_{w,Rk,A}$                   | $V_{w,Rk}$ | $M_{0,Rk,B}$  | $M_{c,Rk,B}$                | $M_{0,Rk,B}$               | $M_{c,Rk,B}$  | $M_{0,Rk,B}$              | $M_{c,Rk,B}$               | $R_{0,Rk,B}$  | $R_{w,Rk,B}$                         | $R_{0,Rk,B}$ | $R_{w,Rk,B}$ | $R_{0,Rk,B}$ | $R_{w,Rk,B}$ |   |
| mm                            | kNm/m        | kN/m                           |            | kNm/m   |                             |                            |               |                           |                            | kN/m          |                                      |              |              |              |              |   |
| 0,75                          | 4,69         | 7,45                           | 14,90      | 35,19   | -                           | 7,20                       | -             | 7,20                      | -                          | -             | -                                    | 26,02        | -            | 37,92        | -            | - |
| 0,88                          | 6,56         | 10,50                          | 21,00      | 56,93   | -                           | 9,09                       | -             | 9,09                      | -                          | -             | -                                    | 36,05        | -            | 52,14        | -            | - |
| 1,00                          | 8,56         | 13,75                          | 27,50      | 83,50   | -                           | 10,73                      | -             | 10,73                     | -                          | -             | -                                    | 46,52        | -            | 66,86        | -            | - |

**Reststützmomente <sup>7)</sup>**

| $t_N$ | $l_{a,B} = 60 \text{ mm}$ |       |                | $l_{a,B} = 160 \text{ mm}$ |       |                | $l_{a,B} = -$ |       |                | Reststützmomente $M_{R,Rk}$   |  |  |
|-------|---------------------------|-------|----------------|----------------------------|-------|----------------|---------------|-------|----------------|---|--|--|
|       | min L                     | max L | max $M_{R,Rk}$ | min L                      | max L | max $M_{R,Rk}$ | min L         | max L | max $M_{R,Rk}$ | $M_{R,Rk} = 0$ für $L \leq \min L$<br>$M_{R,Rk} = \max M_{R,Rk}$ für $L \geq \max L$<br>$M_{R,Rk} = \frac{L - \min L}{\max L - \min L} * \max M_{R,Rk}$ |  |  |
|       | mm                        | m     | kNm/m          | m                          | kNm/m | m              | kNm/m         |       |                |   |  |  |
| 0,75  | -                         | -     | -              | -                          | -     | -              | -             | -     | -              |   |  |  |
| 0,88  | -                         | -     | -              | -                          | -     | -              | -             | -     |                |   |  |  |
| 1,00  | -                         | -     | -              | -                          | -     | -              | -             | -     |                |   |  |  |

**Charakteristische Tragfähigkeitswerte für abhebende Flächenbelastung <sup>1) 2)</sup>**

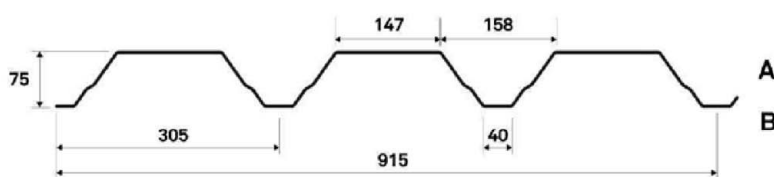
| Nennblechdicke | Feldmoment   | Befestigung in jedem anliegenden Gurt |                 |              |              |              |              |              | Befestigung in jedem 2. anliegenden Gurt |                 |              |              |              |              |              |
|----------------|--------------|---------------------------------------|-----------------|--------------|--------------|--------------|--------------|--------------|--|-----------------|--------------|--------------|--------------|--------------|--------------|
|                |              | Endauflagerkraft                      | Zwischenaflager |              |              |              |              |              | Endauflagerkraft                         | Zwischenaflager |              |              |              |              |              |
|                |              |                                       | $M_{c,Rk,A}$    | $R_{w,Rk,A}$ | $M_{0,Rk,B}$ | $M_{c,Rk,B}$ | $R_{0,Rk,B}$ | $R_{w,Rk,B}$ |  | $V_{w,Rk}$      | $R_{w,Rk,A}$ | $M_{0,Rk,B}$ | $M_{c,Rk,B}$ | $R_{0,Rk,B}$ | $R_{w,Rk,B}$ |
| $t_N$          | $M_{c,Rk,F}$ | $R_{w,Rk,A}$                          | $M_{0,Rk,B}$    | $M_{c,Rk,B}$ | $R_{0,Rk,B}$ | $R_{w,Rk,B}$ | $V_{w,Rk}$   | $R_{w,Rk,A}$ | $M_{0,Rk,B}$                             | $M_{c,Rk,B}$    | $R_{0,Rk,B}$ | $R_{w,Rk,B}$ | $V_{w,Rk}$   |              |              |
| mm             | kNm/m        | kN/m                                  | kNm/m           |              |              |              |              |              | kN/m                                     | kN/m            |              |              |              |              |              |
| 0,75           | 7,20         | 35,19                                 | -               | 4,69         | -            | -            | 35,19        | 17,60        | -  | 2,35            | -            | -            | 17,60        |              |              |
| 0,88           | 9,09         | 56,93                                 | -               | 6,56         | -            | -            | 56,93        | 28,46        | -  | 3,28            | -            | -            | 28,46        |              |              |
| 1,00           | 10,73        | 83,50                                 | -               | 8,56         | -            | -            | 83,50        | 41,75        | -  | 4,28            | -            | -            | 41,75        |              |              |

Fußnoten siehe Anlage 10

Stahltrapezprofile S35/207, S75/305, S135/420 und S158/350 aus höchstem Stahl und deren Befestigung

Stahltrapezprofil Typ S75/305 Einbau in Positivlage, Festigkeitsstufe S600  
Querschnitts- und Bemessungswerte für Bemessung nach DIN EN 1993-1-3

Anlage 5.1



Stahltrapezprofil Typ S75/305  
Einbau in Positivlage

Nennstreckgrenze des Stahlkerns  $f_{y,k} = 600 \text{ N/mm}^2$

**Maßgebende Querschnittswerte**

| Nennblechdicke | Eigenlast         | Biegung <sup>8)</sup>        |                 | Normalkraftbeanspruchung      |                |                |                                     |                  |                  | Grenzstützweiten <sup>10)</sup> |                |
|----------------|-------------------|------------------------------|-----------------|-------------------------------|----------------|----------------|-------------------------------------|------------------|------------------|---------------------------------|----------------|
|                |                   |                              |                 | nicht reduzierter Querschnitt |                |                | wirksamer Querschnitt <sup>9)</sup> |                  |                  | L <sub>gr</sub> in m            |                |
|                |                   |                              |                 | A <sub>g</sub>                | i <sub>g</sub> | z <sub>g</sub> | A <sub>eff</sub>                    | i <sub>eff</sub> | z <sub>eff</sub> | Einfeldträger                   | Mehrfeldträger |
| t <sub>N</sub> | g                 | I <sub>ef</sub> <sup>*</sup> | I <sub>ef</sub> | A <sub>g</sub>                | i <sub>g</sub> | z <sub>g</sub> | A <sub>eff</sub>                    | i <sub>eff</sub> | z <sub>eff</sub> |                                 |                |
| mm             | kN/m <sup>2</sup> | cm <sup>4</sup> /m           |                 | cm <sup>2</sup> /m            | cm             |                | cm <sup>2</sup> /m                  | cm               |                  |                                 |                |
| 0,75           | 0,078             | 39,77                        | 64,91           | 8,80                          | 2,85           | 4,78           | 2,77                                | 3,13             | 3,62             | 3,92                            | 4,90           |
| 0,88           | 0,091             | 51,97                        | 79,92           | 10,45                         | 2,86           | 4,78           | 3,80                                | 3,10             | 3,65             | 4,99                            | 5,61           |
| 1,00           | 0,104             | 63,87                        | 93,78           | 11,95                         | 2,86           | 4,78           | 4,89                                | 3,08             | 3,67             | 5,34                            | 6,01           |

**Schubfeldwerte**

| Nennblechdicke | Grenzzustand der Tragfähigkeit |                   |                     |                     | Grenzzustand der Gebrauchstauglichkeit |                     |                  |                  | F <sub>t,Rk</sub> in kN |          |  |
|----------------|--------------------------------|-------------------|---------------------|---------------------|--|---------------------|------------------|------------------|-------------------------|----------|--|
|                | L <sub>R</sub>                 | T <sub>1,Rk</sub> | T <sub>crit,g</sub> | T <sub>crit,l</sub> | T <sub>3,Rk,N</sub>                    | T <sub>3,Rk,S</sub> | k <sub>1</sub> ' | k <sub>2</sub> ' | Einleitungslänge a      |          |  |
|                | t <sub>N</sub>                 |                   |                     |                     |  |                     |                  |                  | ≥ 130 mm                | ≥ 280 mm |  |
| mm             | m                              | kN/m              |                     |                     |  |                     |                  | m/kN             | m <sup>2</sup> /kN      |          |  |
|                |                                |                   |                     |                     |  |                     |                  |                  |                         |          |  |

**Beiwerte:**

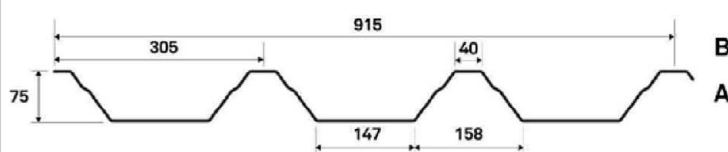
|                      |                      |                      |
|----------------------|----------------------|----------------------|
| k <sub>1</sub> * = - | k <sub>2</sub> * = - | k <sub>3</sub> * = - |
|----------------------|----------------------|----------------------|

Fußnoten siehe Anlage 10

Stahltrapezprofile S35/207, S75/305, S135/420 und S158/350 aus höchfestem Stahl und deren Befestigung

Stahltrapezprofil Typ S75/305 Einbau in Positivlage, Festigkeitsstufe S600  
Querschnitts- und Bemessungswerte für Bemessung nach DIN EN 1993-1-3

Anlage 5.2



Stahltrapezprofil Typ S75/305  
Einbau in Negativlage

Nennstreckgrenze des Stahlkerns  $f_{y,k} = 600 \text{ N/mm}^2$

**Charakteristische Tragfähigkeitswerte für andrückende Flächenbelastung <sup>3)</sup>**

| Nennblechdicke <sup>12)</sup> | Feldmoment   | Endauflagerkraft <sup>6)</sup> |            | Elastisch aufnehmbare Schnittgrößen an Zwischenauflägern <sup>1) 2) 4) 5)</sup> |                             |                            |               |                           |                            |               |                                      |              |              |              |              |  |
|-------------------------------|--------------|--------------------------------|------------|---|-----------------------------|----------------------------|---------------|---------------------------|----------------------------|---------------|--------------------------------------|--------------|--------------|--------------|--------------|--|
|                               |              |                                |            | Quer-<br>kraft  | Stützmomente <sup>11)</sup> |                            |               |                           |                            |               | Zwischenaflagerkräfte <sup>11)</sup> |              |              |              |              |  |
|                               |              |                                |            |   | $l_{a,B} = 60 \text{ mm}$   | $l_{a,B} = 160 \text{ mm}$ | $l_{a,B} = -$ | $l_{a,B} = 60 \text{ mm}$ | $l_{a,B} = 160 \text{ mm}$ | $l_{a,B} = -$ |                                      |              |              |              |              |  |
| $t_N$                         | $M_{c,Rk,F}$ | $R_{w,Rk,A}$                   | $V_{w,Rk}$ | $M_{0,Rk,B}$  | $M_{c,Rk,B}$                | $M_{0,Rk,B}$               | $M_{c,Rk,B}$  | $M_{0,Rk,B}$              | $M_{c,Rk,B}$               | $R_{0,Rk,B}$  | $R_{w,Rk,B}$                         | $R_{0,Rk,B}$ | $R_{w,Rk,B}$ | $R_{0,Rk,B}$ | $R_{w,Rk,B}$ |  |
| mm                            | kNm/m        | kN/m                           |            | kNm/m   |                             |                            |               |                           |                            | kN/m          |                                      |              |              |              |              |  |
| 0,75                          | 7,20         | 5,81                           | 11,62      | 35,19   | -                           | 4,69                       | -             | 4,69                      | -                          | -             | -                                    | 20,28        | -            | 29,55        | -            |  |
| 0,88                          | 9,09         | 8,06                           | 16,12      | 56,93   | -                           | 6,56                       | -             | 6,56                      | -                          | -             | -                                    | 27,65        | -            | 40,00        | -            |  |
| 1,00                          | 10,73        | 10,47                          | 20,94      | 83,50   | -                           | 8,56                       | -             | 8,56                      | -                          | -             | -                                    | 35,43        | -            | 50,93        | -            |  |

**Reststützmomente <sup>7)</sup>**

| $t_N$ | $l_{a,B} = 60 \text{ mm}$ |       |                | $l_{a,B} = 160 \text{ mm}$ |       |                | $l_{a,B} = -$ |       |                | Reststützmomente $M_{R,Rk}$                                     |
|-------|---------------------------|-------|----------------|----------------------------|-------|----------------|---------------|-------|----------------|---|
|       | min L                     | max L | max $M_{R,Rk}$ | min L                      | max L | max $M_{R,Rk}$ | min L         | max L | max $M_{R,Rk}$ |   |
| mm    | m                         |       |                | m                          |       |                | m             |       |                |   |
|       | kNm/m                     |       |                | kNm/m                      |       |                | kNm/m         |       |                |   |
| 0,75  | -                         | -     | -              | -                          | -     | -              | -             | -     | -              | $M_{R,Rk} = 0$ für $L \leq \min L$                              |
| 0,88  | -                         | -     | -              | -                          | -     | -              | -             | -     | -              | $M_{R,Rk} = \max M_{R,Rk}$ für $L \geq \max L$                  |
| 1,00  | -                         | -     | -              | -                          | -     | -              | -             | -     | -              | $M_{R,Rk} = \frac{L - \min L}{\max L - \min L} * \max M_{R,Rk}$ |

**Charakteristische Tragfähigkeitswerte für abhebende Flächenbelastung <sup>1) 2)</sup>**

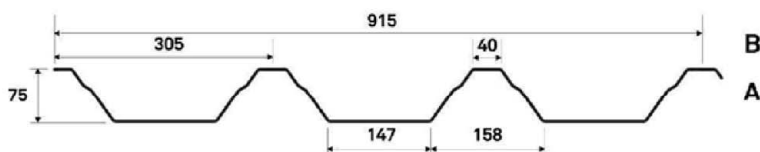
| Nennblechdicke | Feldmoment   | Befestigung in jedem anliegenden Gurt |                 |              |              |              |            |                  | Befestigung in jedem 2. anliegenden Gurt |              |              |              |            |  |
|----------------|--------------|---------------------------------------|-----------------|--------------|--------------|--------------|------------|------------------|--|--------------|--------------|--------------|------------|--|
|                |              | Endauflagerkraft                      | Zwischenaflager |              |              |              |            | Endauflagerkraft | Zwischenaflager                          |              |              |              |            |  |
|                |              |                                       | $M_{0,Rk,B}$    | $M_{c,Rk,B}$ | $R_{0,Rk,B}$ | $R_{w,Rk,B}$ | $V_{w,Rk}$ |                  | $M_{0,Rk,B}$                             | $M_{c,Rk,B}$ | $R_{0,Rk,B}$ | $R_{w,Rk,B}$ | $V_{w,Rk}$ |  |
| $t_N$          | $M_{c,Rk,F}$ | $R_{w,Rk,A}$                          | $M_{0,Rk,B}$    | $M_{c,Rk,B}$ | $R_{0,Rk,B}$ | $R_{w,Rk,B}$ | $V_{w,Rk}$ | $R_{w,Rk,A}$     | $M_{0,Rk,B}$                             | $M_{c,Rk,B}$ | $R_{0,Rk,B}$ | $R_{w,Rk,B}$ | $V_{w,Rk}$ |  |
| mm             | kNm/m        | kN/m                                  | kNm/m           |              |              |              |            | kN/m             | kNm/m                                    |              |              |              |            |  |
| 0,75           | 4,69         | 35,19                                 | -               | 7,20         | -            | -            | 35,19      | 17,60            | -  | 3,60         | -            | -            | 17,60      |  |
| 0,88           | 6,56         | 56,93                                 | -               | 9,09         | -            | -            | 56,93      | 28,46            | -  | 4,55         | -            | -            | 28,46      |  |
| 1,00           | 8,56         | 83,50                                 | -               | 10,73        | -            | -            | 83,50      | 41,75            | -  | 5,37         | -            | -            | 41,75      |  |

Fußnoten siehe Anlage 10

Stahltrapezprofile S35/207, S75/305, S135/420 und S158/350 aus höchfestem Stahl und deren Befestigung

Stahltrapezprofil Typ S75/305 Einbau in Negativlage, Festigkeitsstufe S600  
Querschnitts- und Bemessungswerte für Bemessung nach DIN EN 1993-1-3

Anlage 5.3



Stahltrapezprofil Typ S75/305  
Einbau in Negativlage

Nennstreckgrenze des Stahlkerns  $f_{y,k} = 600 \text{ N/mm}^2$

**Maßgebende Querschnittswerte**

| Nennblechdicke | Eigenlast         | Biegung <sup>8)</sup> |                 | Normalkraftbeanspruchung      |                |                |                                     |                  |                  | Grenzstützweiten <sup>10)</sup> |                |
|----------------|-------------------|-----------------------|-----------------|-------------------------------|----------------|----------------|-------------------------------------|------------------|------------------|---------------------------------|----------------|
|                |                   |                       |                 | nicht reduzierter Querschnitt |                |                | wirksamer Querschnitt <sup>9)</sup> |                  |                  | L <sub>gr</sub> in m            |                |
|                |                   |                       |                 | A <sub>g</sub>                | i <sub>g</sub> | z <sub>g</sub> | A <sub>eff</sub>                    | i <sub>eff</sub> | z <sub>eff</sub> | Einfeldträger                   | Mehrfeldträger |
| t <sub>N</sub> | g                 | I <sub>ef</sub>       | I <sub>ef</sub> | A <sub>g</sub>                | i <sub>g</sub> | z <sub>g</sub> | A <sub>eff</sub>                    | i <sub>eff</sub> | z <sub>eff</sub> |                                 |                |
| mm             | kN/m <sup>2</sup> | cm <sup>4</sup> /m    |                 | cm <sup>2</sup> /m            | cm             |                | cm <sup>2</sup> /m                  | cm               |                  |                                 |                |
| 0,75           | 0,078             | 64,91                 | 39,77           | 8,80                          | 2,85           | 2,72           | 2,77                                | 3,13             | 3,88             | 5,37                            | 6,04           |
| 0,88           | 0,091             | 79,92                 | 51,97           | 10,45                         | 2,86           | 2,72           | 3,80                                | 3,10             | 3,85             | 5,75                            | 6,47           |
| 1,00           | 0,104             | 93,78                 | 63,87           | 11,95                         | 2,86           | 2,72           | 4,89                                | 3,08             | 3,83             | 6,07                            | 6,83           |

**Schubfeldwerte**

| Nennblechdicke | Grenzzustand der Tragfähigkeit |                   |                     |                     | Grenzzustand der Gebrauchstauglichkeit |                     |                  |                  | F <sub>t,Rk</sub> in kN |          |          |
|----------------|--------------------------------|-------------------|---------------------|---------------------|--|---------------------|------------------|------------------|-------------------------|----------|----------|
|                | L <sub>R</sub>                 | T <sub>1,Rk</sub> | T <sub>crit,g</sub> | T <sub>crit,l</sub> | T <sub>3,Rk,N</sub>                    | T <sub>3,Rk,S</sub> | k <sub>1</sub> ' | k <sub>2</sub> ' | Einleitungslänge a      |          |          |
|                | t <sub>N</sub>                 | kN/m              |                     |                     |  |                     |                  | m/kN             | m <sup>2</sup> /kN      | ≥ 130 mm | ≥ 280 mm |
| mm             | m                              | kN/m              |                     |                     |  |                     |                  | m/kN             | m <sup>2</sup> /kN      | ≥ 130 mm | ≥ 280 mm |
|                |                                |                   |                     |                     |  |                     |                  |                  |                         |          |          |

**Beiwerte:**

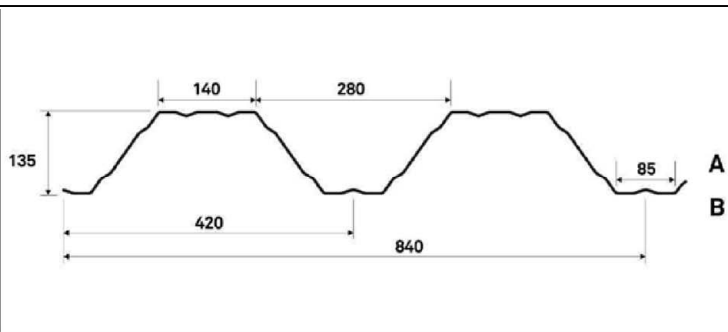
|                      |                      |                      |
|----------------------|----------------------|----------------------|
| k <sub>1</sub> * = - | k <sub>2</sub> * = - | k <sub>3</sub> * = - |
|----------------------|----------------------|----------------------|

Fußnoten siehe Anlage 10

Stahltrapezprofile S35/207, S75/305, S135/420 und S158/350 aus höherfestem Stahl und deren Befestigung

Stahltrapezprofil Typ S75/305 Einbau in Negativlage, Festigkeitsstufe S600  
Querschnitts- und Bemessungswerte für Bemessung nach DIN EN 1993-1-3

Anlage 5.4



Stahltrapezprofil Typ S135/420  
Einbau in Positivlage

Nennstreckgrenze des Stahlkerns  $f_{y,k} = 550 \text{ N/mm}^2$

**Charakteristische Tragfähigkeitswerte für andrückende Flächenbelastung <sup>3)</sup>**

| Nennblechdicke <sup>12)</sup> | Feldmoment   | Endauflagerkraft <sup>6)</sup> |            | Elastisch aufnehmbare Schnittgrößen an Zwischenauflägern <sup>1) 2) 4) 5)</sup> |                             |                             |                           |                            |               |                           |                                       |               |              |              |              |   |
|-------------------------------|--------------|--------------------------------|------------|---|-----------------------------|-----------------------------|---------------------------|----------------------------|---------------|---------------------------|---------------------------------------|---------------|--------------|--------------|--------------|---|
|                               |              |                                |            | Quer-<br>kraft  | Stützmomente <sup>11)</sup> |                             |                           |                            |               |                           | Zwischenauflagerkräfte <sup>11)</sup> |               |              |              |              |   |
|                               |              |                                |            |   | $l_{a,A1} = 40 \text{ mm}$  | $l_{a,A2} = 203 \text{ mm}$ | $l_{a,B} = 80 \text{ mm}$ | $l_{a,B} = 180 \text{ mm}$ | $l_{a,B} = -$ | $l_{a,B} = 80 \text{ mm}$ | $l_{a,B} = 180 \text{ mm}$            | $l_{a,B} = -$ |              |              |              |   |
| $t_N$                         | $M_{c,Rk,F}$ | $R_{w,Rk,A}$                   | $V_{w,Rk}$ | $M_{0,Rk,B}$  | $M_{c,Rk,B}$                | $M_{0,Rk,B}$                | $M_{c,Rk,B}$              | $M_{0,Rk,B}$               | $M_{c,Rk,B}$  | $R_{0,Rk,B}$              | $R_{w,Rk,B}$                          | $R_{0,Rk,B}$  | $R_{w,Rk,B}$ | $R_{0,Rk,B}$ | $R_{w,Rk,B}$ |   |
| mm                            | kNm/m        | kN/m                           |            |   | kNm/m                       |                             |                           |                            |               |                           |                                       |               |              |              |              |   |
| 0,75                          | 11,93        | 4,52                           | 9,04       | 16,22   | -                           | 11,96                       | -                         | 11,96                      | -             | -                         | -                                     | 17,57         | -            | 24,16        | -            | - |
| 0,88                          | 15,53        | 6,62                           | 13,24      | 26,15   | -                           | 15,52                       | -                         | 15,52                      | -             | -                         | -                                     | 25,20         | -            | 34,45        | -            | - |
| 1,00                          | 18,88        | 9,07                           | 18,14      | 38,25   | -                           | 18,86                       | -                         | 18,86                      | -             | -                         | -                                     | 33,96         | -            | 46,19        | -            | - |

**Reststützmomente <sup>7)</sup>**

| $t_N$ | $l_{a,B} = 80 \text{ mm}$ |       |                | $l_{a,B} = 180 \text{ mm}$ |       |                | $l_{a,B} = -$ |       |                | Reststützmomente $M_{R,Rk}$   |
|-------|---------------------------|-------|----------------|----------------------------|-------|----------------|---------------|-------|----------------|---|
|       | min L                     | max L | max $M_{R,Rk}$ | min L                      | max L | max $M_{R,Rk}$ | min L         | max L | max $M_{R,Rk}$ |   |
| mm    | m                         |       |                | m                          |       |                | m             |       |                | $M_{R,Rk} = 0$ für $L \leq \min L$<br>$M_{R,Rk} = \max M_{R,Rk}$ für $L \geq \max L$<br>$M_{R,Rk} = \frac{L - \min L}{\max L - \min L} * \max M_{R,Rk}$ |
| 0,75  | -                         | -     | -              | -                          | -     | -              | -             | -     | -              |   |
| 0,88  | -                         | -     | -              | -                          | -     | -              | -             | -     | -              |   |
| 1,00  | -                         | -     | -              | -                          | -     | -              | -             | -     | -              |   |

**Charakteristische Tragfähigkeitswerte für abhebende Flächenbelastung <sup>1) 2)</sup>**

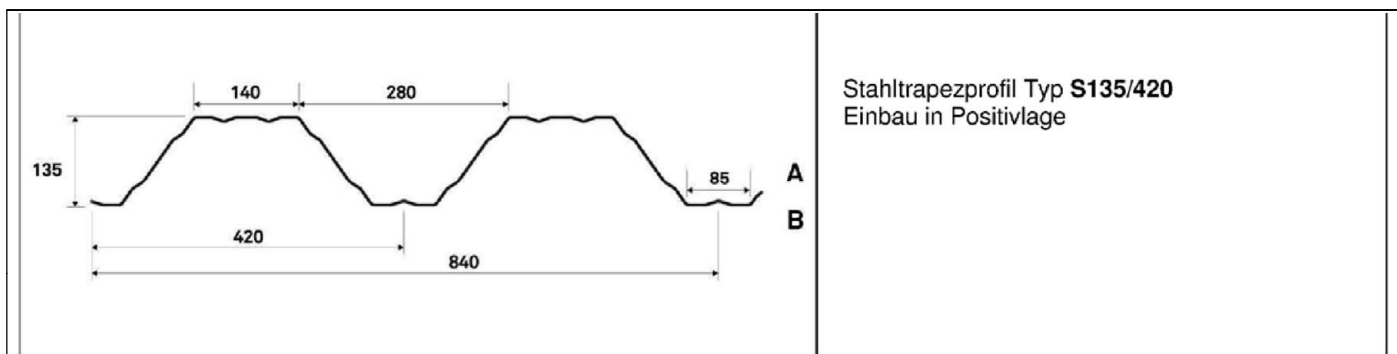
| Nennblechdicke | Feldmoment   | Befestigung in jedem anliegenden Gurt |                  |              |              |              |                  | Befestigung in jedem 2. anliegenden Gurt |              |              |              |              |              |            |
|----------------|--------------|---------------------------------------|------------------|--------------|--------------|--------------|------------------|--|--------------|--------------|--------------|--------------|--------------|------------|
|                |              | Endauflagerkraft                      | Zwischenauflager |              |              |              | Endauflagerkraft | Zwischenauflager                         |              |              |              |              |              |            |
|                |              |                                       | $M_{0,Rk,B}$     | $M_{c,Rk,B}$ | $R_{0,Rk,B}$ | $R_{w,Rk,B}$ |                  | $V_{w,Rk}$                               | $R_{w,Rk,A}$ | $M_{0,Rk,B}$ | $M_{c,Rk,B}$ | $R_{0,Rk,B}$ | $R_{w,Rk,B}$ | $V_{w,Rk}$ |
| $t_N$          | $M_{c,Rk,F}$ | $R_{w,Rk,A}$                          | $M_{0,Rk,B}$     | $M_{c,Rk,B}$ | $R_{0,Rk,B}$ | $R_{w,Rk,B}$ | $V_{w,Rk}$       | $R_{w,Rk,A}$                             | $M_{0,Rk,B}$ | $M_{c,Rk,B}$ | $R_{0,Rk,B}$ | $R_{w,Rk,B}$ | $V_{w,Rk}$   |            |
| mm             | kNm/m        | kN/m                                  | kNm/m            |              |              |              | kN/m             | kN/m                                     | kN/m         |              |              |              |              |            |
| 0,75           | 11,96        | 16,22                                 | -                | 11,93        | -            | -            | 16,22            | 8,11                                     | -            | 5,97         | -            | -            | 8,11         |            |
| 0,88           | 15,52        | 26,15                                 | -                | 15,53        | -            | -            | 26,15            | 13,08                                    | -            | 7,76         | -            | -            | 13,08        |            |
| 1,00           | 18,86        | 38,25                                 | -                | 18,88        | -            | -            | 38,25            | 19,13                                    | -            | 9,44         | -            | -            | 19,13        |            |

Fußnoten siehe Anlage 10

Stahltrapezprofile S35/207, S75/305, S135/420 und S158/350 aus höchstem Stahl und deren Befestigung

Stahltrapezprofil Typ S135/420 Einbau in Positivlage, Festigkeitsstufe S550  
Querschnitts- und Bemessungswerte für Bemessung nach DIN EN 1993-1-3

Anlage 6.1



Stahltrapezprofil Typ S135/420  
Einbau in Positivlage

Nennstreckgrenze des Stahlkerns  $f_{y,k} = 550 \text{ N/mm}^2$

**Maßgebende Querschnittswerte**

| Nennblechdicke | Eigenlast         | Biegung <sup>8)</sup> |                 | Normalkraftbeanspruchung      |                |                |                                     |                  |                  | Grenzstützweiten <sup>10)</sup> |                |
|----------------|-------------------|-----------------------|-----------------|-------------------------------|----------------|----------------|-------------------------------------|------------------|------------------|---------------------------------|----------------|
|                |                   |                       |                 | nicht reduzierter Querschnitt |                |                | wirksamer Querschnitt <sup>9)</sup> |                  |                  | L <sub>gr</sub> in m            |                |
|                |                   |                       |                 | A <sub>g</sub>                | i <sub>g</sub> | z <sub>g</sub> | A <sub>eff</sub>                    | i <sub>eff</sub> | z <sub>eff</sub> | Einfeldträger                   | Mehrfeldträger |
| t <sub>N</sub> | g                 | I <sub>ef</sub>       | I <sub>ef</sub> | A <sub>g</sub>                | i <sub>g</sub> | z <sub>g</sub> | A <sub>eff</sub>                    | i <sub>eff</sub> | z <sub>eff</sub> |                                 |                |
| mm             | kN/m <sup>2</sup> | cm <sup>4</sup> /m    |                 | cm <sup>2</sup> /m            | cm             |                | cm <sup>2</sup> /m                  | cm               |                  |                                 |                |
| 0,75           | 0,085             | 249,04                | 248,76          | 9,57                          | 5,13           | 7,42           | 2,94                                | 5,94             | 7,04             | 8,79                            | 9,89           |
| 0,88           | 0,099             | 297,03                | 296,33          | 11,32                         | 5,13           | 7,42           | 3,94                                | 5,90             | 7,04             | 9,32                            | 10,00          |
| 1,00           | 0,113             | 339,43                | 339,43          | 12,94                         | 5,13           | 7,42           | 4,96                                | 5,87             | 7,05             | 9,75                            | 10,00          |

**Schubfeldwerte**

| Nennblechdicke | Grenzzustand der Tragfähigkeit |                   |                     |                     | Grenzzustand der Gebrauchstauglichkeit |                     |                  |                  | F <sub>1,Rk</sub> in kN |          |          |
|----------------|--------------------------------|-------------------|---------------------|---------------------|--|---------------------|------------------|------------------|-------------------------|----------|----------|
|                | L <sub>R</sub>                 | T <sub>1,Rk</sub> | T <sub>crit,g</sub> | T <sub>crit,l</sub> | T <sub>3,Rk,N</sub>                    | T <sub>3,Rk,S</sub> | k <sub>1</sub> ' | k <sub>2</sub> ' | Einleitungslänge a      |          |          |
|                | t <sub>N</sub>                 |                   |                     |                     |  |                     |                  |                  |                         | ≥ 130 mm | ≥ 280 mm |
| mm             | m                              | kN/m              |                     |                     |  |                     |                  | m/kN             | m <sup>2</sup> /kN      |          |          |
|                |                                |                   |                     |                     |  |                     |                  |                  |                         |          |          |

**Beiwerte:**

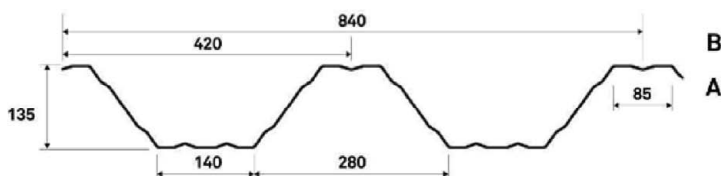
|                      |                      |                      |
|----------------------|----------------------|----------------------|
| k <sub>1</sub> * = - | k <sub>2</sub> * = - | k <sub>3</sub> * = - |
|----------------------|----------------------|----------------------|

Fußnoten siehe Anlage 10

Stahltrapezprofile S35/207, S75/305, S135/420 und S158/350 aus höchfestem Stahl und deren Befestigung

Stahltrapezprofil Typ S135/420 Einbau in Positivlage, Festigkeitsstufe S550  
Querschnitts- und Bemessungswerte für Bemessung nach DIN EN 1993-1-3

Anlage 6.2



Stahltrapezprofil Typ S135/420  
Einbau in Negativlage

Nennstreckgrenze des Stahlkerns  $f_{y,k} = 550 \text{ N/mm}^2$

**Charakteristische Tragfähigkeitswerte für andrückende Flächenbelastung <sup>3)</sup>**

| Nennblechdicke <sup>13)</sup> | Feldmoment   | Endauflagerkraft <sup>6)</sup> |              | Elastisch aufnehmbare Schnittgrößen an Zwischenauflägern <sup>1) 2) 4) 5)</sup> |                             |                            |               |                           |                                      |               |              |              |              |              |              |              |
|-------------------------------|--------------|--------------------------------|--------------|---|-----------------------------|----------------------------|---------------|---------------------------|--------------------------------------|---------------|--------------|--------------|--------------|--------------|--------------|--------------|
|                               |              |                                |              | Quer-<br>kraft  | Stützmomente <sup>11)</sup> |                            |               |                           | Zwischenaflagerkräfte <sup>11)</sup> |               |              |              |              |              |              |              |
|                               |              |                                |              |   | $l_{a,B} = 80 \text{ mm}$   | $l_{a,B} = 180 \text{ mm}$ | $l_{a,B} = -$ | $l_{a,B} = 80 \text{ mm}$ | $l_{a,B} = 180 \text{ mm}$           | $l_{a,B} = -$ |              |              |              |              |              |              |
| $t_N$                         | $M_{c,Rk,F}$ | $R_{w,Rk,A}$                   | $R_{w,Rk,A}$ | $V_{w,Rk}$  | $M_{0,Rk,B}$                | $M_{c,Rk,B}$               | $M_{0,Rk,B}$  | $M_{c,Rk,B}$              | $M_{0,Rk,B}$                         | $M_{c,Rk,B}$  | $R_{0,Rk,B}$ | $R_{w,Rk,B}$ | $R_{0,Rk,B}$ | $R_{w,Rk,B}$ | $R_{0,Rk,B}$ | $R_{w,Rk,B}$ |
| mm                            | kNm/m        | kN/m                           |              |   | kNm/m                       |                            |               |                           | kN/m                                 |               |              |              |              |              |              |              |
| 0,75                          | 11,96        | 4,09                           | 8,18         | 16,22   | -                           | 11,93                      | -             | 11,93                     | -                                    | -             | -            | 15,88        | -            | 21,84        | -            | -            |
| 0,88                          | 15,52        | 5,78                           | 11,56        | 26,15   | -                           | 15,53                      | -             | 15,53                     | -                                    | -             | -            | 22,01        | -            | 30,09        | -            | -            |
| 1,00                          | 18,86        | 7,65                           | 15,30        | 38,25   | -                           | 18,88                      | -             | 18,88                     | -                                    | -             | -            | 28,66        | -            | 38,99        | -            | -            |

**Reststützmomente <sup>7)</sup>**

| $t_N$ | $l_{a,B} = 80 \text{ mm}$ |       |                | $l_{a,B} = 180 \text{ mm}$ |       |                | $l_{a,B} = -$ |       |                | Reststützmomente $M_{R,Rk}$                                     |  |  |
|-------|---------------------------|-------|----------------|----------------------------|-------|----------------|---------------|-------|----------------|---|--|--|
|       | min L                     | max L | max $M_{R,Rk}$ | min L                      | max L | max $M_{R,Rk}$ | min L         | max L | max $M_{R,Rk}$ |   |  |  |
| mm    | m                         |       | kNm/m          | m                          |       | kNm/m          | m             |       | kNm/m          |   |  |  |
| 0,75  | -                         | -     | -              | -                          | -     | -              | -             | -     | -              | $M_{R,Rk} = 0$ für $L \leq \min L$                              |  |  |
| 0,88  | -                         | -     | -              | -                          | -     | -              | -             | -     | -              | $M_{R,Rk} = \max M_{R,Rk}$ für $L \geq \max L$                  |  |  |
| 1,00  | -                         | -     | -              | -                          | -     | -              | -             | -     | -              | $M_{R,Rk} = \frac{L - \min L}{\max L - \min L} * \max M_{R,Rk}$ |  |  |

**Charakteristische Tragfähigkeitswerte für abhebende Flächenbelastung <sup>1) 2)</sup>**

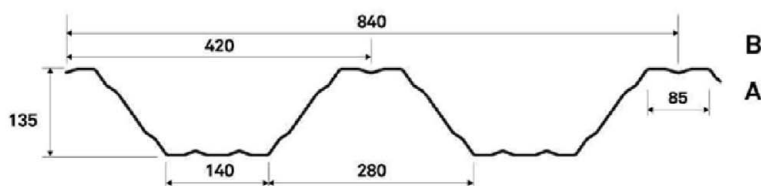
| Nennblechdicke | Feldmoment   | Befestigung in jedem anliegenden Gurt |                 |              |              |                  |                 | Befestigung in jedem 2. anliegenden Gurt |              |              |              |              |            |  |  |
|----------------|--------------|---------------------------------------|-----------------|--------------|--------------|------------------|-----------------|--|--------------|--------------|--------------|--------------|------------|--|--|
|                |              | Endauflagerkraft                      | Zwischenaflager |              |              | Endauflagerkraft | Zwischenaflager |  |              |              |              |              |            |  |  |
| $t_N$          | $M_{c,Rk,F}$ | $R_{w,Rk,A}$                          | $M_{0,Rk,B}$    | $M_{c,Rk,B}$ | $R_{0,Rk,B}$ | $R_{w,Rk,B}$     | $V_{w,Rk}$      | $R_{w,Rk,A}$                             | $M_{0,Rk,B}$ | $M_{c,Rk,B}$ | $R_{0,Rk,B}$ | $R_{w,Rk,B}$ | $V_{w,Rk}$ |  |  |
| mm             | kNm/m        | kN/m                                  | kNm/m           |              |              | kN/m             |                 |  | kN/m         | kNm/m        |              |              | kN/m       |  |  |
| 0,75           | 11,93        | 16,22                                 | -               | 11,96        | -            | -                | 16,22           | 8,11                                     | -            | 5,98         | -            | -            | 8,11       |  |  |
| 0,88           | 15,53        | 26,15                                 | -               | 15,52        | -            | -                | 26,15           | 13,08                                    | -            | 7,76         | -            | -            | 13,08      |  |  |
| 1,00           | 18,88        | 38,25                                 | -               | 18,86        | -            | -                | 38,25           | 19,13                                    | -            | 9,43         | -            | -            | 19,13      |  |  |

Fußnoten siehe Anlage 10

Stahltrapezprofile S35/207, S75/305, S135/420 und S158/350 aus höchstem Stahl und deren Befestigung

Stahltrapezprofil Typ S135/420 Einbau in Negativlage, Festigkeitsstufe S550  
Querschnitts- und Bemessungswerte für Bemessung nach DIN EN 1993-1-3

Anlage 6.3



Stahltrapezprofil Typ S135/420  
Einbau in Negativlage

Nennstreckgrenze des Stahlkerns  $f_{y,k} = 550 \text{ N/mm}^2$

**Maßgebende Querschnittswerte**

| Nennblechdicke | Eigenlast         | Biegung <sup>8)</sup> |               | Normalkraftbeanspruchung      |       |       |                                     |           |           | Grenzstützweiten <sup>10)</sup> |                |
|----------------|-------------------|-----------------------|---------------|-------------------------------|-------|-------|-------------------------------------|-----------|-----------|---------------------------------|----------------|
|                |                   |                       |               | nicht reduzierter Querschnitt |       |       | wirksamer Querschnitt <sup>9)</sup> |           |           | $L_{gr}$ in m                   |                |
|                |                   |                       |               | $A_g$                         | $i_g$ | $z_g$ | $A_{eff}$                           | $i_{eff}$ | $z_{eff}$ | Einfeldträger                   | Mehrfeldträger |
| $t_N$          | $g$               | $\Gamma_{ef}^*$       | $\Gamma_{ef}$ | $A_g$                         | $i_g$ | $z_g$ | $A_{eff}$                           | $i_{eff}$ | $z_{eff}$ |                                 |                |
| mm             | kN/m <sup>2</sup> | cm <sup>4</sup> /m    |               | cm <sup>2</sup> /m            | cm    |       | cm <sup>2</sup> /m                  | cm        |           |                                 |                |
| 0,75           | 0,085             | 248,76                | 249,04        | 9,57                          | 5,13  | 6,08  | 2,94                                | 5,94      | 6,46      | 8,79                            | 9,89           |
| 0,88           | 0,099             | 296,33                | 297,03        | 11,32                         | 5,13  | 6,08  | 3,94                                | 5,90      | 6,46      | 9,32                            | 10,00          |
| 1,00           | 0,113             | 339,43                | 339,43        | 12,94                         | 5,13  | 6,08  | 4,96                                | 5,87      | 6,45      | 9,75                            | 10,00          |

**Schubfeldwerte**

| Nennblechdicke | Grenzzustand der Tragfähigkeit |            |              |              | Grenzzustand der Gebrauchstauglichkeit |              |        |        | $F_{t,Rk}$ in kN     |                       |                       |
|----------------|--------------------------------|------------|--------------|--------------|--|--------------|--------|--------|----------------------|-----------------------|-----------------------|
|                | $L_R$                          | $T_{1,Rk}$ | $T_{crit,g}$ | $T_{crit,l}$ | $T_{3,Rk,N}$                           | $T_{3,Rk,S}$ | $k_1'$ | $k_2'$ | Einleitungslänge $a$ |                       |                       |
|                | $t_N$                          | kN/m       |              |              |  |              |        | m/kN   | m <sup>2</sup> /kN   | $\geq 130 \text{ mm}$ | $\geq 280 \text{ mm}$ |
| mm             | m                              | kN/m       |              |              |  |              |        | m/kN   | m <sup>2</sup> /kN   |                       |                       |
|                |                                |            |              |              |  |              |        |        |                      |                       |                       |

**Beiwerte:**

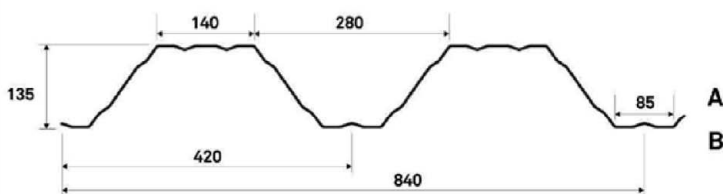
|             |             |             |
|-------------|-------------|-------------|
| $k_1^* = -$ | $k_2^* = -$ | $k_3^* = -$ |
|-------------|-------------|-------------|

Fußnoten siehe Anlage 10

Stahltrapezprofile S35/207, S75/305, S135/420 und S158/350 aus höchfestem Stahl und deren Befestigung

Stahltrapezprofil Typ S135/420 Einbau in Negativlage, Festigkeitsstufe S550  
Querschnitts- und Bemessungswerte für Bemessung nach DIN EN 1993-1-3

Anlage 6.4



Stahltrapezprofil Typ S135/420  
Einbau in Positivlage

Nennstreckgrenze des Stahlkerns  $f_{y,k} = 600 \text{ N/mm}^2$

**Charakteristische Tragfähigkeitswerte für andrückende Flächenbelastung <sup>3)</sup>**

| Nennblechdicke <sup>12)</sup> | Feldmoment   | Endauflagerkraft <sup>6)</sup> |              | Elastisch aufnehmbare Schnittgrößen an Zwischenauflagern <sup>1) 2) 4) 5)</sup> |                             |                            |               |                           |                            |               |                                      |              |              |              |              |              |
|-------------------------------|--------------|--------------------------------|--------------|---|-----------------------------|----------------------------|---------------|---------------------------|----------------------------|---------------|--------------------------------------|--------------|--------------|--------------|--------------|--------------|
|                               |              |                                |              | Quer-<br>kraft  | Stützmomente <sup>11)</sup> |                            |               |                           |                            |               | Zwischenaflagerkräfte <sup>11)</sup> |              |              |              |              |              |
|                               |              |                                |              |   | $l_{a,B} = 80 \text{ mm}$   | $l_{a,B} = 180 \text{ mm}$ | $l_{a,B} = -$ | $l_{a,B} = 80 \text{ mm}$ | $l_{a,B} = 180 \text{ mm}$ | $l_{a,B} = -$ |                                      |              |              |              |              |              |
| $t_N$                         | $M_{c,Rk,F}$ | $R_{w,Rk,A}$                   | $R_{w,Rk,A}$ | $V_{w,Rk}$  | $M_{0,Rk,B}$                | $M_{c,Rk,B}$               | $M_{0,Rk,B}$  | $M_{c,Rk,B}$              | $M_{0,Rk,B}$               | $M_{c,Rk,B}$  | $R_{0,Rk,B}$                         | $R_{w,Rk,B}$ | $R_{0,Rk,B}$ | $R_{w,Rk,B}$ | $R_{0,Rk,B}$ | $R_{w,Rk,B}$ |
| mm                            | kNm/m        | kN/m                           |              |   | kNm/m                       |                            |               |                           |                            |               | kN/m                                 |              |              |              |              |              |
| 0,75                          | 12,43        | 4,73                           | 9,46         | 16,15   | -                           | 12,42                      | -             | 12,42                     | -                          | -             | -                                    | 18,35        | -            | 25,23        | -            | -            |
| 0,88                          | 16,38        | 6,92                           | 13,84        | 26,03   | -                           | 16,38                      | -             | 16,38                     | -                          | -             | -                                    | 26,32        | -            | 35,99        | -            | -            |
| 1,00                          | 20,04        | 9,47                           | 18,94        | 38,07   | -                           | 20,01                      | -             | 20,01                     | -                          | -             | -                                    | 35,47        | -            | 48,25        | -            | -            |

**Reststützmomente <sup>7)</sup>**

| $t_N$ | $l_{a,B} = 80 \text{ mm}$ |       |                | $l_{a,B} = 180 \text{ mm}$ |       |                | $l_{a,B} = -$ |       |                | Reststützmomente $M_{R,Rk}$   |
|-------|---------------------------|-------|----------------|----------------------------|-------|----------------|---------------|-------|----------------|---|
|       | min L                     | max L | max $M_{R,Rk}$ | min L                      | max L | max $M_{R,Rk}$ | min L         | max L | max $M_{R,Rk}$ |   |
| mm    | m                         | m     | kNm/m          | m                          | m     | kNm/m          | m             | m     | kNm/m          |   |
| 0,75  | -                         | -     | -              | -                          | -     | -              | -             | -     | -              | $M_{R,Rk} = 0$ für $L \leq \min L$                                  |
| 0,88  | -                         | -     | -              | -                          | -     | -              | -             | -     | -              | $M_{R,Rk} = \max M_{R,Rk}$ für $L \geq \max L$                      |
| 1,00  | -                         | -     | -              | -                          | -     | -              | -             | -     | -              | $M_{R,Rk} = \frac{L - \min L}{\max L - \min L} \cdot \max M_{R,Rk}$ |

**Charakteristische Tragfähigkeitswerte für abhebende Flächenbelastung <sup>1) 2)</sup>**

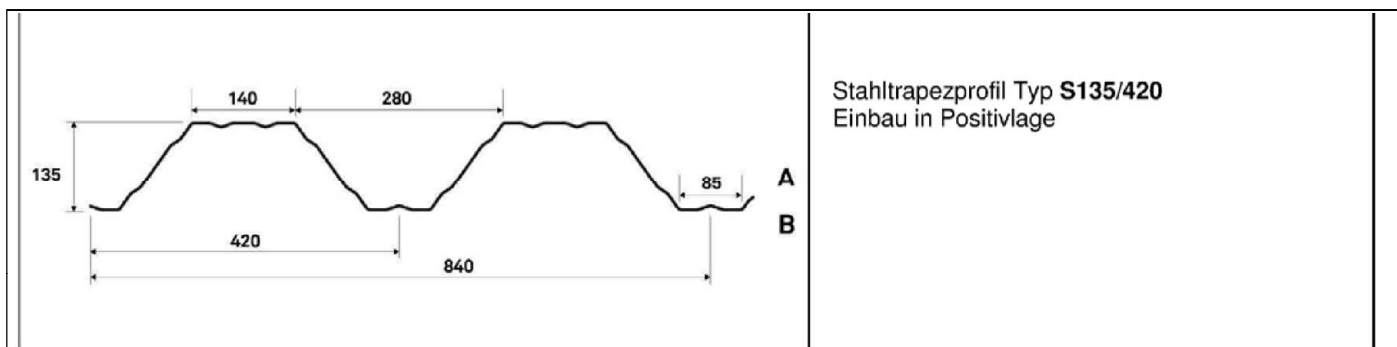
| Nennblechdicke | Feldmoment   | Befestigung in jedem anliegenden Gurt |                 |              |              |              |                  |                 | Befestigung in jedem 2. anliegenden Gurt |              |              |              |            |  |  |
|----------------|--------------|---------------------------------------|-----------------|--------------|--------------|--------------|------------------|-----------------|--|--------------|--------------|--------------|------------|--|--|
|                |              | Endauflagerkraft                      | Zwischenaflager |              |              |              | Endauflagerkraft | Zwischenaflager |  |              |              |              |            |  |  |
| $t_N$          | $M_{c,Rk,F}$ | $R_{w,Rk,A}$                          | $M_{0,Rk,B}$    | $M_{c,Rk,B}$ | $R_{0,Rk,B}$ | $R_{w,Rk,B}$ | $V_{w,Rk}$       | $R_{w,Rk,A}$    | $M_{0,Rk,B}$                             | $M_{c,Rk,B}$ | $R_{0,Rk,B}$ | $R_{w,Rk,B}$ | $V_{w,Rk}$ |  |  |
| mm             | kNm/m        | kN/m                                  | kNm/m           |              |              |              | kN/m             | kN/m            | kN/m                                     |              |              |              |            |  |  |
| 0,75           | 12,42        | 16,15                                 | -               | 12,43        | -            | -            | 16,15            | 8,07            | -  | 6,21         | -            | -            | 8,07       |  |  |
| 0,88           | 16,38        | 26,03                                 | -               | 16,38        | -            | -            | 26,03            | 13,01           | -  | 8,19         | -            | -            | 13,01      |  |  |
| 1,00           | 20,01        | 38,07                                 | -               | 20,04        | -            | -            | 38,07            | 19,04           | -  | 10,02        | -            | -            | 19,04      |  |  |

Fußnoten siehe Anlage 10

Stahltrapezprofile S35/207, S75/305, S135/420 und S158/350 aus höchstem Stahl und deren Befestigung

Stahltrapezprofile Typ S135/420 Einbau in Positivlage, Festigkeitsstufe S600  
Querschnitts- und Bemessungswerte für Bemessung nach DIN EN 1993-1-3

Anlage 7.1



Stahltrapezprofil Typ S135/420  
Einbau in Positivlage

Nennstreckgrenze des Stahlkerns  $f_{y,k} = 600 \text{ N/mm}^2$

**Maßgebende Querschnittswerte**

| Nennblechdicke | Eigenlast         | Biegung <sup>8)</sup> |               | Normalkraftbeanspruchung      |       |       |                                     |           |           | Grenzstützweiten <sup>10)</sup> |                |
|----------------|-------------------|-----------------------|---------------|-------------------------------|-------|-------|-------------------------------------|-----------|-----------|---------------------------------|----------------|
|                |                   |                       |               | nicht reduzierter Querschnitt |       |       | wirksamer Querschnitt <sup>9)</sup> |           |           | $L_{gr}$ in m                   |                |
|                |                   |                       |               | $A_g$                         | $i_g$ | $z_g$ | $A_{eff}$                           | $i_{eff}$ | $z_{eff}$ | Einfeldträger                   | Mehrfeldträger |
| $t_N$          | $g$               | $I_{ef}^*$            | $\Gamma_{ef}$ | $A_g$                         | $i_g$ | $z_g$ | $A_{eff}$                           | $i_{eff}$ | $z_{eff}$ |                                 |                |
| mm             | kN/m <sup>2</sup> | cm <sup>4</sup> /m    |               | cm <sup>2</sup> /m            | cm    |       | cm <sup>2</sup> /m                  | cm        |           |                                 |                |
| 0,75           | 0,085             | 247,34                | 246,51        | 9,57                          | 5,13  | 7,42  | 2,81                                | 5,95      | 7,04      | 8,77                            | 9,87           |
| 0,88           | 0,099             | 296,46                | 295,97        | 11,32                         | 5,13  | 7,42  | 3,78                                | 5,92      | 7,04      | 9,32                            | 10,00          |
| 1,00           | 0,113             | 339,43                | 339,43        | 12,94                         | 5,13  | 7,42  | 4,76                                | 5,89      | 7,05      | 9,75                            | 10,00          |

**Schubfeldwerte**

| Nennblechdicke | Grenzzustand der Tragfähigkeit |            |              |              | Grenzzustand der Gebrauchstauglichkeit |              |        |        | $F_{t,Rk}$ in kN     |                       |                       |
|----------------|--------------------------------|------------|--------------|--------------|--|--------------|--------|--------|----------------------|-----------------------|-----------------------|
|                | $L_R$                          | $T_{1,Rk}$ | $T_{crit,g}$ | $T_{crit,l}$ | $T_{3,Rk,N}$                           | $T_{3,Rk,S}$ | $k_1'$ | $k_2'$ | Einleitungslänge $a$ |                       |                       |
|                | $t_N$                          | kN/m       |              |              |  |              |        | m/kN   | m <sup>2</sup> /kN   | $\geq 130 \text{ mm}$ | $\geq 280 \text{ mm}$ |
| mm             | m                              | kN/m       |              |              |  |              |        | m/kN   | m <sup>2</sup> /kN   | $\geq 130 \text{ mm}$ | $\geq 280 \text{ mm}$ |
|                |                                |            |              |              |  |              |        |        |                      |                       |                       |

**Beiwerte:**

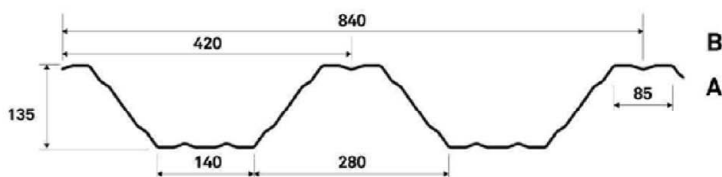
|             |             |             |
|-------------|-------------|-------------|
| $k_1^* = -$ | $k_2^* = -$ | $k_3^* = -$ |
|-------------|-------------|-------------|

Fußnoten siehe Anlage 10

Stahltrapezprofile S35/207, S75/305, S135/420 und S158/350 aus höchfestem Stahl und deren Befestigung

Stahltrapezprofile Typ S135/420 Einbau in Positivlage, Festigkeitsstufe S600  
Querschnitts- und Bemessungswerte für Bemessung nach DIN EN 1993-1-3

Anlage 7.2



Stahltrapezprofil Typ S135/420  
Einbau in Negativlage

Nennstreckgrenze des Stahlkerns  $f_{y,k} = 600 \text{ N/mm}^2$

**Charakteristische Tragfähigkeitswerte für andrückende Flächenbelastung <sup>3)</sup>**

| Nennblechdicke <sup>12)</sup> | Feldmoment   | Endauflagerkraft <sup>5)</sup> |            | Elastisch aufnehmbare Schnittgrößen an Zwischenauflagern <sup>1) 2) 4) 5)</sup> |                             |                            |               |                           |                            |               |                                      |              |              |              |              |   |
|-------------------------------|--------------|--------------------------------|------------|---|-----------------------------|----------------------------|---------------|---------------------------|----------------------------|---------------|--------------------------------------|--------------|--------------|--------------|--------------|---|
|                               |              |                                |            | Quer-<br>kraft  | Stützmomente <sup>11)</sup> |                            |               |                           |                            |               | Zwischenaflagerkräfte <sup>11)</sup> |              |              |              |              |   |
|                               |              |                                |            |   | $l_{a,B} = 80 \text{ mm}$   | $l_{a,B} = 180 \text{ mm}$ | $l_{a,B} = -$ | $l_{a,B} = 80 \text{ mm}$ | $l_{a,B} = 180 \text{ mm}$ | $l_{a,B} = -$ |                                      |              |              |              |              |   |
| $t_N$                         | $M_{c,Rk,F}$ | $R_{w,Rk,A}$                   | $V_{w,Rk}$ | $M_{0,Rk,B}$  | $M_{c,Rk,B}$                | $M_{0,Rk,B}$               | $M_{c,Rk,B}$  | $M_{0,Rk,B}$              | $M_{c,Rk,B}$               | $R_{0,Rk,B}$  | $R_{w,Rk,B}$                         | $R_{0,Rk,B}$ | $R_{w,Rk,B}$ | $R_{0,Rk,B}$ | $R_{w,Rk,B}$ |   |
| mm                            | kNm/m        | kN/m                           |            | kNm/m   |                             |                            |               |                           |                            | kN/m          |                                      |              |              |              |              |   |
| 0,75                          | 12,42        | 4,27                           | 8,54       | 16,15   | -                           | 12,43                      | -             | 12,43                     | -                          | -             | -                                    | 16,59        | -            | 22,81        | -            | - |
| 0,88                          | 16,38        | 6,04                           | 12,08      | 26,03   | -                           | 16,38                      | -             | 16,38                     | -                          | -             | -                                    | 22,99        | -            | 31,43        | -            | - |
| 1,00                          | 20,01        | 7,99                           | 15,98      | 38,07   | -                           | 20,04                      | -             | 20,04                     | -                          | -             | -                                    | 29,94        | -            | 40,73        | -            | - |

**Reststützmomente <sup>7)</sup>**

| $t_N$ | $l_{a,B} = 80 \text{ mm}$ |       |                | $l_{a,B} = 180 \text{ mm}$ |       |                | $l_{a,B} = -$ |       |                | Reststützmomente $M_{R,Rk}$   |
|-------|---------------------------|-------|----------------|----------------------------|-------|----------------|---------------|-------|----------------|---|
|       | min L                     | max L | max $M_{R,Rk}$ | min L                      | max L | max $M_{R,Rk}$ | min L         | max L | max $M_{R,Rk}$ |   |
| mm    | m                         | m     | kNm/m          | m                          | m     | kNm/m          | m             | m     | kNm/m          | $M_{R,Rk} = 0$ für $L \leq \min L$<br>$M_{R,Rk} = \max M_{R,Rk}$ für $L \geq \max L$<br>$M_{R,Rk} = \frac{L - \min L}{\max L - \min L} \cdot \max M_{R,Rk}$ |
| 0,75  | -                         | -     | -              | -                          | -     | -              | -             | -     | -              |   |
| 0,88  | -                         | -     | -              | -                          | -     | -              | -             | -     | -              |   |
| 1,00  | -                         | -     | -              | -                          | -     | -              | -             | -     | -              |   |

**Charakteristische Tragfähigkeitswerte für abhebbende Flächenbelastung <sup>1) 2)</sup>**

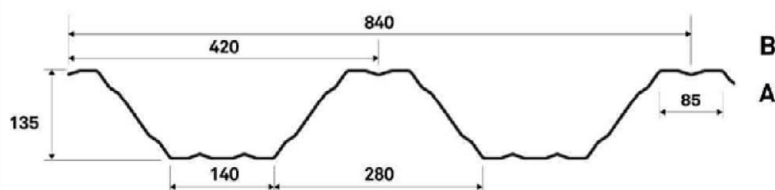
| Nennblechdicke | Feldmoment   | Befestigung in jedem anliegenden Gurt |                 |              |              |              |                  | Befestigung in jedem 2. anliegenden Gurt |              |              |              |              |            |
|----------------|--------------|---------------------------------------|-----------------|--------------|--------------|--------------|------------------|--|--------------|--------------|--------------|--------------|------------|
|                |              | Endauflagerkraft                      | Zwischenaflager |              |              |              | Endauflagerkraft | Zwischenaflager                          |              |              |              |              |            |
| $t_N$          | $M_{c,Rk,F}$ | $R_{w,Rk,A}$                          | $M_{0,Rk,B}$    | $M_{c,Rk,B}$ | $R_{0,Rk,B}$ | $R_{w,Rk,B}$ | $V_{w,Rk}$       | $R_{w,Rk,A}$                             | $M_{0,Rk,B}$ | $M_{c,Rk,B}$ | $R_{0,Rk,B}$ | $R_{w,Rk,B}$ | $V_{w,Rk}$ |
| mm             | kNm/m        | kN/m                                  | kNm/m           |              |              |              | kN/m             | kN/m                                     |              |              |              |              |            |
| 0,75           | 12,43        | 16,15                                 | -               | 12,42        | -            | -            | 16,15            | 8,07                                     | -            | 6,21         | -            | -            | 8,07       |
| 0,88           | 16,38        | 26,03                                 | -               | 16,38        | -            | -            | 26,03            | 13,01                                    | -            | 8,19         | -            | -            | 13,01      |
| 1,00           | 20,04        | 38,07                                 | -               | 20,01        | -            | -            | 38,07            | 19,04                                    | -            | 10,00        | -            | -            | 19,04      |

Fußnoten siehe Anlage 10

Stahltrapezprofile S35/207, S75/305, S135/420 und S158/350 aus höchstem Stahl und deren Befestigung

Stahltrapezprofile Typ S135/420 Einbau in Negativlage, Festigkeitsstufe S600  
Querschnitts- und Bemessungswerte für Bemessung nach DIN EN 1993-1-3

Anlage 7.3



Stahltrapezprofil Typ S135/420  
Einbau in Negativlage

Nennstreckgrenze des Stahlkerns  $f_{y,k} = 600 \text{ N/mm}^2$

**Maßgebende Querschnittswerte**

| Nennblechdicke | Eigenlast         | Biegung <sup>8)</sup> |               | Normalkraftbeanspruchung      |       |       |                                     |           |           | Grenzstützweiten <sup>10)</sup> |                |
|----------------|-------------------|-----------------------|---------------|-------------------------------|-------|-------|-------------------------------------|-----------|-----------|---------------------------------|----------------|
|                |                   |                       |               | nicht reduzierter Querschnitt |       |       | wirksamer Querschnitt <sup>9)</sup> |           |           | $L_{gr}$ in m                   |                |
|                |                   |                       |               | $A_g$                         | $i_g$ | $z_g$ | $A_{eff}$                           | $i_{eff}$ | $z_{eff}$ | Einfeldträger                   | Mehrfeldträger |
| $t_N$          | $g$               | $\Gamma_{ef}$         | $\Gamma_{ef}$ | $A_g$                         | $i_g$ | $z_g$ | $A_{eff}$                           | $i_{eff}$ | $z_{eff}$ |                                 |                |
| mm             | kN/m <sup>2</sup> | cm <sup>4</sup> /m    |               | cm <sup>2</sup> /m            | cm    |       | cm <sup>2</sup> /m                  | cm        |           |                                 |                |
| 0,75           | 0,085             | 246,51                | 247,34        | 9,57                          | 5,13  | 6,08  | 2,81                                | 5,95      | 6,46      | 8,76                            | 9,86           |
| 0,88           | 0,099             | 295,97                | 296,46        | 11,32                         | 5,13  | 6,08  | 3,78                                | 5,92      | 6,46      | 9,31                            | 10,00          |
| 1,00           | 0,113             | 339,43                | 339,43        | 12,94                         | 5,13  | 6,08  | 4,76                                | 5,89      | 6,45      | 9,75                            | 10,00          |

**Schubfeldwerte**

| Nennblechdicke | Grenzzustand der Tragfähigkeit |            |              |              | Grenzzustand der Gebrauchstauglichkeit |                             |        |        | $F_{t,Rk}$ in kN   |          |          |
|----------------|--------------------------------|------------|--------------|--------------|--|-----------------------------|--------|--------|--------------------|----------|----------|
|                | $L_R$                          | $T_{1,Rk}$ | $T_{crit,g}$ | $T_{crit,l}$ | $T_{3,Rk,N}$                           | $T_{3,Rk,S}$ <sup>17)</sup> | $k_1'$ | $k_2'$ | Einleitungslänge a |          |          |
|                | $t_N$                          | kN/m       |              |              |  |                             |        | m/kN   | m <sup>2</sup> /kN | ≥ 130 mm | ≥ 280 mm |
| mm             | m                              |            |              |              |  |                             |        |        |                    |          |          |
|                |                                |            |              |              |  |                             |        |        |                    |          |          |

**Beiwerte:**

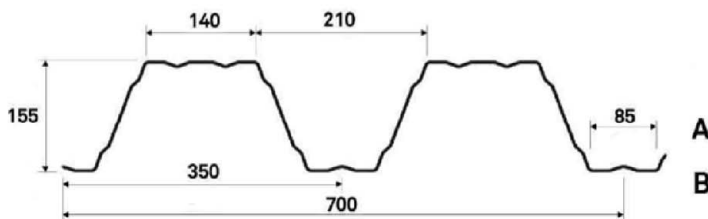
|             |             |             |
|-------------|-------------|-------------|
| $k_1^* = -$ | $k_2^* = -$ | $k_3^* = -$ |
|-------------|-------------|-------------|

Fußnoten siehe Anlage 10

Stahltrapezprofile S35/207, S75/305, S135/420 und S158/350 aus höchfestem Stahl und deren Befestigung

Stahltrapezprofile Typ S135/420 Einbau in Negativlage, Festigkeitsstufe S600  
Querschnitts- und Bemessungswerte für Bemessung nach DIN EN 1993-1-3

Anlage 7.4



Stahltrapezprofil Typ **S158/350**  
Einbau in Positivlage

Nennstreckgrenze des Stahlkerns  $f_{y,k} = 550 \text{ N/mm}^2$

**Charakteristische Tragfähigkeitswerte für andrückende Flächenbelastung <sup>3)</sup>**

| Nennblechdicke <sup>12)</sup> | Feldmoment   | Endauflagerkraft <sup>6)</sup> |            | Elastisch aufnehmbare Schnittgrößen an Zwischenauflagern <sup>1) 2) 4) 5)</sup> |              |                             |              |                           |              |                                      |              |               |              |                           |              |                            |
|-------------------------------|--------------|--------------------------------|------------|---|--------------|-----------------------------|--------------|---------------------------|--------------|--------------------------------------|--------------|---------------|--------------|---------------------------|--------------|----------------------------|
|                               |              |                                |            | Stützmomente <sup>11)</sup>   |              |                             |              |                           |              | Zwischenaflagerkräfte <sup>11)</sup> |              |               |              |                           |              |                            |
|                               |              |                                |            | $l_{a,A1} = 40 \text{ mm}$  |              | $l_{a,A2} = 233 \text{ mm}$ |              | $l_{a,B} = 80 \text{ mm}$ |              | $l_{a,B} = 200 \text{ mm}$           |              | $l_{a,B} = -$ |              | $l_{a,B} = 80 \text{ mm}$ |              | $l_{a,B} = 200 \text{ mm}$ |
| $t_N$                         | $M_{c,Rk,F}$ | $R_{w,Rk,A}$                   | $V_{w,Rk}$ | $M_{0,Rk,B}$  | $M_{c,Rk,B}$ | $M_{0,Rk,B}$                | $M_{c,Rk,B}$ | $M_{0,Rk,B}$              | $M_{c,Rk,B}$ | $R_{0,Rk,B}$                         | $R_{w,Rk,B}$ | $R_{0,Rk,B}$  | $R_{w,Rk,B}$ | $R_{0,Rk,B}$              | $R_{w,Rk,B}$ |                            |
| mm                            | kNm/m        | kN/m                           |            |   | kNm/m        |                             |              |                           |              |                                      | kN/m         |               |              |                           |              |                            |
| 0,75                          | 15,89        | 5,84                           | 11,68      | 21,94   | -            | 15,96                       | -            | 15,96                     | -            | -                                    | -            | 22,67         | -            | 32,55                     | -            | -                          |
| 0,88                          | 20,61        | 8,54                           | 17,08      | 35,39   | -            | 20,58                       | -            | 20,58                     | -            | -                                    | -            | 32,51         | -            | 46,38                     | -            | -                          |
| 1,00                          | 25,31        | 11,69                          | 23,38      | 51,80   | -            | 25,33                       | -            | 25,33                     | -            | -                                    | -            | 43,80         | -            | 62,14                     | -            | -                          |

**Reststützmomente <sup>7)</sup>**

| $t_N$ | $l_{a,B} = 80 \text{ mm}$ |       |                | $l_{a,B} = 200 \text{ mm}$ |       |                | $l_{a,B} = -$ |       |                | Reststützmomente $M_{R,Rk}$   |  |  |
|-------|---------------------------|-------|----------------|----------------------------|-------|----------------|---------------|-------|----------------|---|--|--|
|       | min L                     | max L | max $M_{R,Rk}$ | min L                      | max L | max $M_{R,Rk}$ | min L         | max L | max $M_{R,Rk}$ | $M_{R,Rk} = 0$ für $L \leq \min L$<br>$M_{R,Rk} = \max M_{R,Rk}$ für $L \geq \max L$<br>$M_{R,Rk} = \frac{L - \min L}{\max L - \min L} \cdot \max M_{R,Rk}$ |  |  |
|       | mm                        | m     | kNm/m          | m                          | kNm/m | m              | kNm/m         |       |                |   |  |  |
| 0,75  | -                         | -     | -              | -                          | -     | -              | -             | -     | -              |   |  |  |
| 0,88  | -                         | -     | -              | -                          | -     | -              | -             | -     |                |   |  |  |
| 1,00  | -                         | -     | -              | -                          | -     | -              | -             | -     |                |   |  |  |

**Charakteristische Tragfähigkeitswerte für abhebende Flächenbelastung <sup>1) 2)</sup>**

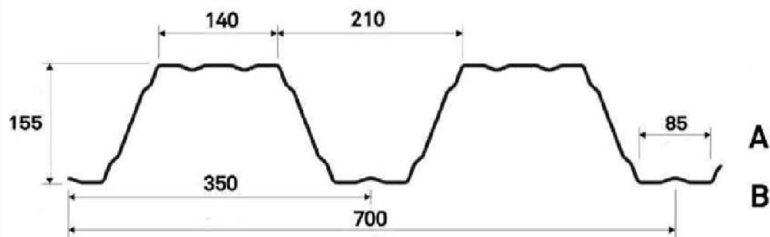
| Nennblechdicke | Feldmoment   | Befestigung in jedem anliegenden Gurt |                 |              |              |              |            |                  | Befestigung in jedem 2. anliegenden Gurt |              |              |              |              |
|----------------|--------------|---------------------------------------|-----------------|--------------|--------------|--------------|------------|------------------|--|--------------|--------------|--------------|--------------|
|                |              | Endauflagerkraft                      | Zwischenaflager |              |              |              |            | Endauflagerkraft | Zwischenaflager                          |              |              |              |              |
|                |              |                                       | $M_{0,Rk,B}$    | $M_{c,Rk,B}$ | $R_{0,Rk,B}$ | $R_{w,Rk,B}$ | $V_{w,Rk}$ |                  | $R_{w,Rk,A}$                             | $M_{0,Rk,B}$ | $M_{c,Rk,B}$ | $R_{0,Rk,B}$ | $R_{w,Rk,B}$ |
| $t_N$          | $M_{c,Rk,F}$ | $R_{w,Rk,A}$                          | kNm/m           |              |              |              |            | $R_{w,Rk,A}$     | kNm/m                                    |              |              |              |              |
| mm             | kNm/m        | kN/m                                  | kN/m            |              |              |              |            | kN/m             | kN/m                                     |              |              |              |              |
| 0,75           | 15,96        | 21,94                                 | -               | 15,89        | -            | -            | 21,94      | 10,97            | -  | 7,95         | -            | -            | 10,97        |
| 0,88           | 20,58        | 35,39                                 | -               | 20,61        | -            | -            | 35,39      | 17,70            | -  | 10,31        | -            | -            | 17,70        |
| 1,00           | 25,33        | 51,80                                 | -               | 25,31        | -            | -            | 51,80      | 25,90            | -  | 12,65        | -            | -            | 25,90        |

Fußnoten siehe Anlage 10

Stahltrapezprofile S35/207, S75/305, S135/420 und S158/350 aus höchstem Stahl und deren Befestigung

Stahltrapezprofile Typ S158/350 Einbau in Positivlage, Festigkeitsstufe S550  
Querschnitts- und Bemessungswerte für Bemessung nach DIN EN 1993-1-3

Anlage 8.1



Stahltrapezprofil Typ S158/350  
Einbau in Positivlage

Nennstreckgrenze des Stahlkerns  $f_{y,k} = 550 \text{ N/mm}^2$

**Maßgebende Querschnittswerte**

| Nennblechdicke | Eigenlast         | Biegung <sup>8)</sup> |                 | Normalkraftbeanspruchung      |                |                |                                     |                  |                  | Grenzstützweiten <sup>10)</sup> |                |
|----------------|-------------------|-----------------------|-----------------|-------------------------------|----------------|----------------|-------------------------------------|------------------|------------------|---------------------------------|----------------|
|                |                   |                       |                 | nicht reduzierter Querschnitt |                |                | wirksamer Querschnitt <sup>9)</sup> |                  |                  | L <sub>gr</sub> in m            |                |
|                |                   |                       |                 | A <sub>g</sub>                | i <sub>g</sub> | z <sub>g</sub> | A <sub>eff</sub>                    | i <sub>eff</sub> | z <sub>eff</sub> | Einfeldträger                   | Mehrfeldträger |
| t <sub>N</sub> | g                 | I <sub>ef</sub>       | I <sub>ef</sub> | A <sub>g</sub>                | i <sub>g</sub> | z <sub>g</sub> | A <sub>eff</sub>                    | i <sub>eff</sub> | z <sub>eff</sub> |                                 |                |
| mm             | kN/m <sup>2</sup> | cm <sup>4</sup> /m    |                 | cm <sup>2</sup> /m            | cm             |                | cm <sup>2</sup> /m                  | cm               |                  |                                 |                |
| 0,75           | 0,102             | 393,70                | 391,15          | 11,49                         | 5,90           | 8,52           | 3,50                                | 6,92             | 8,01             | 9,99                            | 10,00          |
| 0,88           | 0,119             | 469,64                | 465,31          | 13,59                         | 5,90           | 8,52           | 4,69                                | 6,88             | 8,02             | 10,00                           | 10,00          |
| 1,00           | 0,135             | 536,62                | 534,45          | 15,53                         | 5,90           | 8,52           | 5,88                                | 6,85             | 8,03             | 10,00                           | 10,00          |

**Schubfeldwerte**

| Nennblechdicke | Grenzzustand der Tragfähigkeit |                   |                     |                     | Grenzzustand der Gebrauchstauglichkeit |                     |                  |                  | F <sub>t,Rk</sub> in kN |          |          |
|----------------|--------------------------------|-------------------|---------------------|---------------------|--|---------------------|------------------|------------------|-------------------------|----------|----------|
|                | L <sub>R</sub>                 | T <sub>1,Rk</sub> | T <sub>crit,g</sub> | T <sub>crit,i</sub> | T <sub>3,Rk,N</sub>                    | T <sub>3,Rk,S</sub> | k <sub>1</sub> ' | k <sub>2</sub> ' | Einleitungslänge a      |          |          |
|                | t <sub>N</sub>                 | kN/m              |                     |                     |  |                     |                  | m/kN             | m <sup>2</sup> /kN      | ≥ 130 mm | ≥ 280 mm |
| mm             | m                              | kN/m              |                     |                     |  |                     |                  | m/kN             | m <sup>2</sup> /kN      |          |          |
|                |                                |                   |                     |                     |  |                     |                  |                  |                         |          |          |

**Beiwerte:**

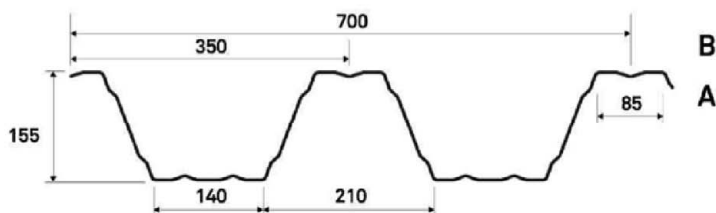
|                      |                      |                      |
|----------------------|----------------------|----------------------|
| k <sub>1</sub> * = - | k <sub>2</sub> * = - | k <sub>3</sub> * = - |
|----------------------|----------------------|----------------------|

Fußnoten siehe Anlage 10

Stahltrapezprofile S35/207, S75/305, S135/420 und S158/350 aus höchfestem Stahl und deren Befestigung

Stahltrapezprofile Typ S158/350 Einbau in Positivlage, Festigkeitsstufe S550  
Querschnitts- und Bemessungswerte für Bemessung nach DIN EN 1993-1-3

Anlage 8.2



Stahltrapezprofil Typ S158/350  
Einbau in Negativlage

Nennstreckgrenze des Stahlkerns  $f_{y,k} = 550 \text{ N/mm}^2$

**Charakteristische Tragfähigkeitswerte für andrückende Flächenbelastung <sup>3)</sup>**

| Nennblechdicke <sup>12)</sup> | Feldmoment   | Endauflagerkraft <sup>5)</sup> |            | Elastisch aufnehmbare Schnittgrößen an Zwischenauflägern <sup>1) 2) 4) 5)</sup> |                             |                            |               |                           |                            |               |                                       |              |              |              |              |   |
|-------------------------------|--------------|--------------------------------|------------|---|-----------------------------|----------------------------|---------------|---------------------------|----------------------------|---------------|---------------------------------------|--------------|--------------|--------------|--------------|---|
|                               |              |                                |            | Quer-<br>kraft  | Stützmomente <sup>11)</sup> |                            |               |                           |                            |               | Zwischenauflagerkräfte <sup>11)</sup> |              |              |              |              |   |
|                               |              |                                |            |   | $l_{a,B} = 80 \text{ mm}$   | $l_{a,B} = 200 \text{ mm}$ | $l_{a,B} = -$ | $l_{a,B} = 80 \text{ mm}$ | $l_{a,B} = 200 \text{ mm}$ | $l_{a,B} = -$ |                                       |              |              |              |              |   |
| $t_N$                         | $M_{c,Rk,F}$ | $R_{w,Rk,A}$                   | $V_{w,Rk}$ | $M_{0,Rk,B}$  | $M_{c,Rk,B}$                | $M_{0,Rk,B}$               | $M_{c,Rk,B}$  | $M_{0,Rk,B}$              | $M_{c,Rk,B}$               | $R_{0,Rk,B}$  | $R_{w,Rk,B}$                          | $R_{0,Rk,B}$ | $R_{w,Rk,B}$ | $R_{0,Rk,B}$ | $R_{w,Rk,B}$ |   |
| mm                            | kNm/m        | kN/m                           |            | kNm/m   |                             |                            |               |                           |                            | kN/m          |                                       |              |              |              |              |   |
| 0,75                          | 15,96        | 5,28                           | 10,56      | 21,94   | -                           | 15,89                      | -             | 15,89                     | -                          | -             | -                                     | 20,50        | -            | 29,44        | -            | - |
| 0,88                          | 20,58        | 7,46                           | 14,92      | 35,39   | -                           | 20,61                      | -             | 20,61                     | -                          | -             | -                                     | 28,41        | -            | 40,53        | -            | - |
| 1,00                          | 25,33        | 9,88                           | 19,76      | 51,80   | -                           | 25,31                      | -             | 25,31                     | -                          | -             | -                                     | 36,99        | -            | 52,48        | -            | - |

**Reststützmomente <sup>7)</sup>**

| $t_N$ | $l_{a,B} = 80 \text{ mm}$ |       |                | $l_{a,B} = 200 \text{ mm}$ |       |                | $l_{a,B} = -$ |       |                | Reststützmomente $M_{R,Rk}$   |
|-------|---------------------------|-------|----------------|----------------------------|-------|----------------|---------------|-------|----------------|---|
|       | min L                     | max L | max $M_{R,Rk}$ | min L                      | max L | max $M_{R,Rk}$ | min L         | max L | max $M_{R,Rk}$ |   |
| mm    | m                         |       |                | m                          |       |                | m             |       |                |   |
| 0,75  | -                         | -     | -              | -                          | -     | -              | -             | -     | -              | $M_{R,Rk} = 0$ für $L \leq \min L$<br>$M_{R,Rk} = \max M_{R,Rk}$ für $L \geq \max L$<br>$M_{R,Rk} = \frac{L - \min L}{\max L - \min L} \cdot \max M_{R,Rk}$ |
| 0,88  | -                         | -     | -              | -                          | -     | -              | -             | -     | -              |   |
| 1,00  | -                         | -     | -              | -                          | -     | -              | -             | -     | -              |   |

**Charakteristische Tragfähigkeitswerte für abhebende Flächenbelastung <sup>1) 2)</sup>**

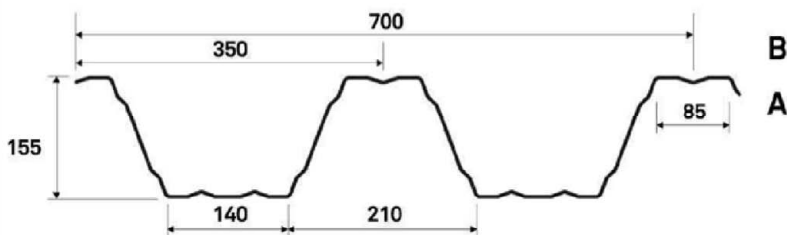
| Nennblechdicke | Feldmoment   | Befestigung in jedem anliegenden Gurt |                  |              |              |              |                  |                  | Befestigung in jedem 2. anliegenden Gurt |              |              |              |            |
|----------------|--------------|---------------------------------------|------------------|--------------|--------------|--------------|------------------|------------------|--|--------------|--------------|--------------|------------|
|                |              | Endauflagerkraft                      | Zwischenauflager |              |              |              | Endauflagerkraft | Zwischenauflager |  |              |              |              |            |
| $t_N$          | $M_{c,Rk,F}$ | $R_{w,Rk,A}$                          | $M_{0,Rk,B}$     | $M_{c,Rk,B}$ | $R_{0,Rk,B}$ | $R_{w,Rk,B}$ | $V_{w,Rk}$       | $R_{w,Rk,A}$     | $M_{0,Rk,B}$                             | $M_{c,Rk,B}$ | $R_{0,Rk,B}$ | $R_{w,Rk,B}$ | $V_{w,Rk}$ |
| mm             | kNm/m        | kN/m                                  | kNm/m            |              |              |              | kN/m             | kNm/m            |  |              |              | kN/m         |            |
| 0,75           | 15,89        | 21,94                                 | -                | 15,96        | -            | -            | 21,94            | 10,97            | -  | 7,98         | -            | -            | 10,97      |
| 0,88           | 20,61        | 35,39                                 | -                | 20,58        | -            | -            | 35,39            | 17,70            | -  | 10,29        | -            | -            | 17,70      |
| 1,00           | 25,31        | 51,80                                 | -                | 25,33        | -            | -            | 51,80            | 25,90            | -  | 12,66        | -            | -            | 25,90      |

Fußnoten siehe Anlage 10

Stahltrapezprofile S35/207, S75/305, S135/420 und S158/350 aus höchstem Stahl und deren Befestigung

Stahltrapezprofile Typ S158/350 Einbau in Negativlage, Festigkeitsstufe S550  
Querschnitts- und Bemessungswerte für Bemessung nach DIN EN 1993-1-3

Anlage 8.3



Stahltrapezprofil Typ S158/350  
Einbau in Negativlage

Nennstreckgrenze des Stahlkerns  $f_{y,k} = 550 \text{ N/mm}^2$

**Maßgebende Querschnittswerte**

| Nennblechdicke | Eigenlast         | Biegung <sup>b)</sup> |               | Normalkraftbeanspruchung      |       |       |                                     |           |           | Grenzstützweiten <sup>10)</sup> |                 |
|----------------|-------------------|-----------------------|---------------|-------------------------------|-------|-------|-------------------------------------|-----------|-----------|---------------------------------|-----------------|
|                |                   |                       |               | nicht reduzierter Querschnitt |       |       | wirksamer Querschnitt <sup>9)</sup> |           |           | $L_{gr}$ in m                   |                 |
|                |                   |                       |               | $A_g$                         | $i_g$ | $z_g$ | $A_{eff}$                           | $i_{eff}$ | $z_{eff}$ | Einfeld-träger                  | Mehrfeld-träger |
| $t_N$          | $g$               | $I_{ef}^*$            | $\Gamma_{ef}$ | $A_g$                         | $i_g$ | $z_g$ | $A_{eff}$                           | $i_{eff}$ | $z_{eff}$ |                                 |                 |
| mm             | kN/m <sup>2</sup> | cm <sup>4</sup> /m    |               | cm <sup>2</sup> /m            | cm    |       | cm <sup>2</sup> /m                  | cm        |           |                                 |                 |
| 0,75           | 0,102             | 391,15                | 393,70        | 11,49                         | 5,90  | 6,98  | 3,50                                | 6,92      | 7,49      | 9,97                            | 10,00           |
| 0,88           | 0,119             | 465,31                | 469,64        | 13,59                         | 5,90  | 6,98  | 4,69                                | 6,88      | 7,48      | 10,00                           | 10,00           |
| 1,00           | 0,135             | 534,45                | 536,62        | 15,53                         | 5,90  | 6,98  | 5,88                                | 6,85      | 7,47      | 10,00                           | 10,00           |

**Schubfeldwerte**

| Nennblechdicke | Grenz Zustand der Tragfähigkeit |            |              |              | Grenz Zustand der Gebrauchstauglichkeit |              |         |         | $F_{t,Rk}$ in kN      |                       |  |
|----------------|---------------------------------|------------|--------------|--------------|---|--------------|---------|---------|-----------------------|-----------------------|--|
|                | $L_R$                           | $T_{1,Rk}$ | $T_{crit,g}$ | $T_{crit,l}$ | $T_{3,Rk,N}$                            | $T_{3,Rk,S}$ | $k_1^*$ | $k_2^*$ | Einleitungslänge a    |                       |  |
|                | $t_N$                           |            |              |              |   |              |         |         | $\geq 130 \text{ mm}$ | $\geq 280 \text{ mm}$ |  |
| mm             | m                               | kN/m       |              |              |   |              |         | m/kN    | m <sup>2</sup> /kN    |                       |  |
|                |                                 |            |              |              |   |              |         |         |                       |                       |  |

**Beiwerte:**

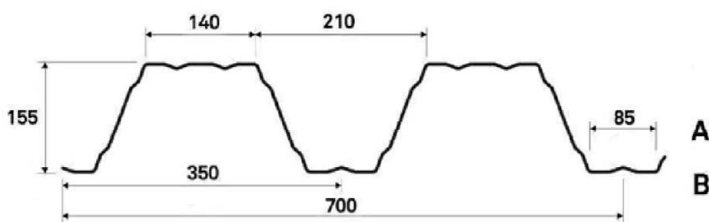
|             |             |             |
|-------------|-------------|-------------|
| $k_1^* = -$ | $k_2^* = -$ | $k_3^* = -$ |
|-------------|-------------|-------------|

Fußnoten siehe Anlage 10

Stahltrapezprofile S35/207, S75/305, S135/420 und S158/350 aus höchfestem Stahl und deren Befestigung

Stahltrapezprofile Typ S158/350 Einbau in Negativlage, Festigkeitsstufe S550  
Querschnitts- und Bemessungswerte für Bemessung nach DIN EN 1993-1-3

Anlage 8.4



Stahltrapezprofil Typ **S158/350**  
Einbau in Positivlage

Nennstreckgrenze des Stahlkerns  $f_{y,x} = 600 \text{ N/mm}^2$

**Charakteristische Tragfähigkeitswerte für andrückende Flächenbelastung <sup>3)</sup>**

| Nennblechdicke <sup>12)</sup> | Feldmoment   | Endauflagerkraft <sup>6)</sup> |       | Elastisch aufnehmbare Schnittgrößen an Zwischenauflagern <sup>1) 2) 4) 5)</sup> |                             |                             |                           |                            |               |                           |                                      |               |              |              |              |              |
|-------------------------------|--------------|--------------------------------|-------|---|-----------------------------|-----------------------------|---------------------------|----------------------------|---------------|---------------------------|--------------------------------------|---------------|--------------|--------------|--------------|--------------|
|                               |              |                                |       | Quer-<br>kraft  | Stützmomente <sup>11)</sup> |                             |                           |                            |               |                           | Zwischenaflagerkräfte <sup>11)</sup> |               |              |              |              |              |
|                               |              |                                |       |   | $l_{a,A1} = 40 \text{ mm}$  | $l_{a,A2} = 233 \text{ mm}$ | $l_{a,B} = 80 \text{ mm}$ | $l_{a,B} = 200 \text{ mm}$ | $l_{a,B} = -$ | $l_{a,B} = 80 \text{ mm}$ | $l_{a,B} = 200 \text{ mm}$           | $l_{a,B} = -$ | $R_{0,Rk,B}$ | $R_{w,Rk,B}$ | $R_{0,Rk,B}$ | $R_{w,Rk,B}$ |
| $t_N$                         | $M_{c,Rk,F}$ | $R_{w,Rk,A}$                   |       | $V_{w,Rk}$  | $M_{0,Rk,B}$                | $M_{c,Rk,B}$                | $M_{0,Rk,B}$              | $M_{c,Rk,B}$               | $M_{0,Rk,B}$  | $M_{c,Rk,B}$              | $R_{0,Rk,B}$                         | $R_{w,Rk,B}$  | $R_{0,Rk,B}$ | $R_{w,Rk,B}$ | $R_{0,Rk,B}$ | $R_{w,Rk,B}$ |
| mm                            | kNm/m        | kN/m                           |       |   | kNm/m                       |                             |                           |                            |               |                           |                                      |               |              |              |              |              |
| 0,75                          | 16,77        | 6,10                           | 12,20 | 21,83   | -                           | 16,84                       | -                         | 16,84                      | -             | -                         | -                                    | 23,67         | -            | 34,00        | -            | -            |
| 0,88                          | 21,73        | 8,92                           | 17,84 | 35,22   | -                           | 21,70                       | -                         | 21,70                      | -             | -                         | -                                    | 33,96         | -            | 48,45        | -            | -            |
| 1,00                          | 26,67        | 12,21                          | 24,42 | 51,55   | -                           | 26,56                       | -                         | 26,56                      | -             | -                         | -                                    | 45,74         | -            | 64,91        | -            | -            |

**Reststützmomente <sup>7)</sup>**

| $t_N$ | $l_{a,B} = 80 \text{ mm}$ |       |                | $l_{a,B} = 200 \text{ mm}$ |       |                | $l_{a,B} = -$ |       |                | Reststützmomente $M_{R,Rk}$   |
|-------|---------------------------|-------|----------------|----------------------------|-------|----------------|---------------|-------|----------------|---|
|       | min L                     | max L | max $M_{R,Rk}$ | min L                      | max L | max $M_{R,Rk}$ | min L         | max L | max $M_{R,Rk}$ |   |
| mm    | m                         |       | kNm/m          | m                          |       | kNm/m          | m             |       | kNm/m          | $M_{R,Rk} = 0$ für $L \leq \min L$<br>$M_{R,Rk} = \max M_{R,Rk}$ für $L \geq \max L$<br>$M_{R,Rk} = \frac{L - \min L}{\max L - \min L} \cdot \max M_{R,Rk}$ |
| 0,75  | -                         | -     | -              | -                          | -     | -              | -             | -     | -              |   |
| 0,88  | -                         | -     | -              | -                          | -     | -              | -             | -     | -              |   |
| 1,00  | -                         | -     | -              | -                          | -     | -              | -             | -     | -              |   |

**Charakteristische Tragfähigkeitswerte für abhebende Flächenbelastung <sup>1) 2)</sup>**

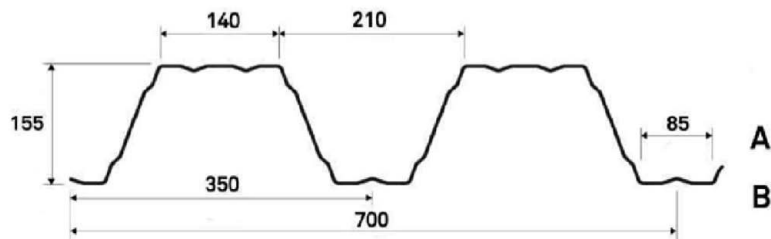
| Nennblechdicke | Feldmoment   | Befestigung in jedem anliegenden Gurt |                 |              |              |              |            |                  | Befestigung in jedem 2. anliegenden Gurt |              |              |              |              |
|----------------|--------------|---------------------------------------|-----------------|--------------|--------------|--------------|------------|------------------|--|--------------|--------------|--------------|--------------|
|                |              | Endauflagerkraft                      | Zwischenaflager |              |              |              |            | Endauflagerkraft | Zwischenaflager                          |              |              |              |              |
|                |              |                                       | $M_{0,Rk,B}$    | $M_{c,Rk,B}$ | $R_{0,Rk,B}$ | $R_{w,Rk,B}$ | $V_{w,Rk}$ |                  | $R_{w,Rk,A}$                             | $M_{0,Rk,B}$ | $M_{c,Rk,B}$ | $R_{0,Rk,B}$ | $R_{w,Rk,B}$ |
| $t_N$          | $M_{c,Rk,F}$ | $R_{w,Rk,A}$                          | $M_{0,Rk,B}$    | $M_{c,Rk,B}$ | $R_{0,Rk,B}$ | $R_{w,Rk,B}$ | $V_{w,Rk}$ | $R_{w,Rk,A}$     | $M_{0,Rk,B}$                             | $M_{c,Rk,B}$ | $R_{0,Rk,B}$ | $R_{w,Rk,B}$ | $V_{w,Rk}$   |
| mm             | kNm/m        | kN/m                                  | kNm/m           |              |              |              |            | kN/m             | kN/m                                     |              |              |              |              |
| 0,75           | 16,84        | 21,83                                 | -               | 16,77        | -            | -            | 21,83      | 10,92            | -  | 8,38         | -            | -            | 10,92        |
| 0,88           | 21,70        | 35,22                                 | -               | 21,73        | -            | -            | 35,22      | 17,61            | -  | 10,86        | -            | -            | 17,61        |
| 1,00           | 26,56        | 51,55                                 | -               | 26,67        | -            | -            | 51,55      | 25,78            | -  | 13,33        | -            | -            | 25,78        |

Fußnoten siehe Anlage 10

Stahltrapezprofile S35/207, S75/305, S135/420 und S158/350 aus höchstem Stahl und deren Befestigung

Stahltrapezprofile Typ S158/350 Einbau in Positivlage, Festigkeitsstufe S600  
Querschnitts- und Bemessungswerte für Bemessung nach DIN EN 1993-1-3

Anlage 9.1



Stahltrapezprofil Typ S158/350  
Einbau in Positivlage

Nennstreckgrenze des Stahlkerns  $f_{y,k} = 600 \text{ N/mm}^2$

**Maßgebende Querschnittswerte**

| Nennblechdicke | Eigenlast         | Biegung <sup>8)</sup> |                 | Normalkraftbeanspruchung      |                |                |                                     |                  |                  | Grenzstützweiten <sup>10)</sup> |                |
|----------------|-------------------|-----------------------|-----------------|-------------------------------|----------------|----------------|-------------------------------------|------------------|------------------|---------------------------------|----------------|
|                |                   |                       |                 | nicht reduzierter Querschnitt |                |                | wirksamer Querschnitt <sup>9)</sup> |                  |                  | L <sub>gr</sub> in m            |                |
|                |                   |                       |                 | A <sub>g</sub>                | i <sub>g</sub> | z <sub>g</sub> | A <sub>eff</sub>                    | i <sub>eff</sub> | z <sub>eff</sub> | Einfeldträger                   | Mehrfeldträger |
| t <sub>N</sub> | g                 | I <sub>ef</sub>       | I <sub>ef</sub> | A <sub>g</sub>                | i <sub>g</sub> | z <sub>g</sub> | A <sub>eff</sub>                    | i <sub>eff</sub> | z <sub>eff</sub> |                                 |                |
| mm             | kN/m <sup>2</sup> | cm <sup>4</sup> /m    |                 | cm <sup>2</sup> /m            | cm             |                | cm <sup>2</sup> /m                  | cm               |                  |                                 |                |
| 0,75           | 0,102             | 392,60                | 390,62          | 11,49                         | 5,90           | 8,52           | 3,35                                | 6,94             | 8,01             | 9,98                            | 10,00          |
| 0,88           | 0,119             | 468,73                | 464,58          | 13,59                         | 5,90           | 8,52           | 4,50                                | 6,90             | 8,02             | 10,00                           | 10,00          |
| 1,00           | 0,135             | 536,62                | 533,50          | 15,53                         | 5,90           | 8,52           | 5,65                                | 6,87             | 8,03             | 10,00                           | 10,00          |

**Schubfeldwerte**

| Nennblechdicke | Grenzzustand der Tragfähigkeit |                   |                     |                     | Grenzzustand der Gebrauchstauglichkeit |                     |                  |                  | F <sub>t,Rk</sub> in kN |          |  |
|----------------|--------------------------------|-------------------|---------------------|---------------------|--|---------------------|------------------|------------------|-------------------------|----------|--|
|                | L <sub>R</sub>                 | T <sub>1,Rk</sub> | T <sub>crit,g</sub> | T <sub>crit,l</sub> | T <sub>3,Rk,N</sub>                    | T <sub>3,Rk,S</sub> | k <sub>1</sub> ' | k <sub>2</sub> ' | Einleitungslänge a      |          |  |
|                | t <sub>N</sub>                 |                   |                     |                     |  |                     |                  |                  | ≥ 130 mm                | ≥ 280 mm |  |
| mm             | m                              | kN/m              |                     |                     |  |                     |                  | m/kN             | m <sup>2</sup> /kN      |          |  |
|                |                                |                   |                     |                     |  |                     |                  |                  |                         |          |  |

**Beiwerte:**

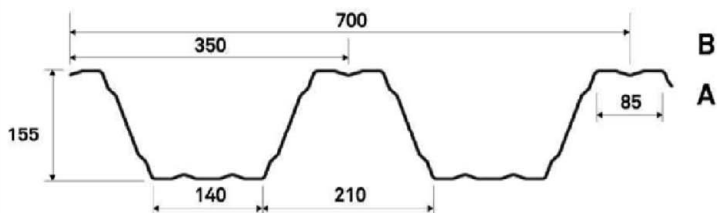
|                      |                      |                      |
|----------------------|----------------------|----------------------|
| k <sub>1</sub> ' = - | k <sub>2</sub> ' = - | k <sub>3</sub> ' = - |
|----------------------|----------------------|----------------------|

Fußnoten siehe Anlage 10

Stahltrapezprofile S35/207, S75/305, S135/420 und S158/350 aus höherfestem Stahl und deren Befestigung

Stahltrapezprofile Typ S158/350 Einbau in Positivlage, Festigkeitsstufe S600  
Querschnitts- und Bemessungswerte für Bemessung nach DIN EN 1993-1-3

Anlage 9.2



Stahltrapezprofil Typ S158/350  
Einbau in Negativlage

Nennstreckgrenze des Stahlkerns  $f_{y,k} = 600 \text{ N/mm}^2$

**Charakteristische Tragfähigkeitswerte für andrückende Flächenbelastung <sup>3)</sup>**

| Nennblechdicke <sup>12)</sup> | Feldmoment   | Endauflagerkraft <sup>6)</sup> |            | Elastisch aufnehmbare Schnittgrößen an Zwischenauflägern <sup>1) 2) 4) 5)</sup> |                             |                            |               |                           |                            |               |                                       |              |              |              |              |   |
|-------------------------------|--------------|--------------------------------|------------|---|-----------------------------|----------------------------|---------------|---------------------------|----------------------------|---------------|---------------------------------------|--------------|--------------|--------------|--------------|---|
|                               |              |                                |            | Quer-<br>kraft  | Stützmomente <sup>11)</sup> |                            |               |                           |                            |               | Zwischenauflagerkräfte <sup>11)</sup> |              |              |              |              |   |
|                               |              |                                |            |   | $l_{a,B} = 80 \text{ mm}$   | $l_{a,B} = 200 \text{ mm}$ | $l_{a,B} = -$ | $l_{a,B} = 80 \text{ mm}$ | $l_{a,B} = 200 \text{ mm}$ | $l_{a,B} = -$ |                                       |              |              |              |              |   |
| $t_N$                         | $M_{c,Rk,F}$ | $R_{w,Rk,A}$                   | $V_{w,Rk}$ | $M_{0,Rk,B}$  | $M_{c,Rk,B}$                | $M_{0,Rk,B}$               | $M_{c,Rk,B}$  | $M_{0,Rk,B}$              | $M_{c,Rk,B}$               | $R_{0,Rk,B}$  | $R_{w,Rk,B}$                          | $R_{0,Rk,B}$ | $R_{w,Rk,B}$ | $R_{0,Rk,B}$ | $R_{w,Rk,B}$ |   |
| mm                            | kNm/m        | kN/m                           |            | kNm/m   |                             |                            |               |                           |                            | kN/m          |                                       |              |              |              |              |   |
| 0,75                          | 16,84        | 5,51                           | 11,02      | 21,83   | -                           | 16,77                      | -             | 16,77                     | -                          | -             | -                                     | 21,41        | -            | 30,75        | -            | - |
| 0,88                          | 21,70        | 7,80                           | 15,60      | 35,22   | -                           | 21,73                      | -             | 21,73                     | -                          | -             | -                                     | 29,67        | -            | 42,33        | -            | - |
| 1,00                          | 26,56        | 10,32                          | 20,64      | 51,55   | -                           | 26,67                      | -             | 26,67                     | -                          | -             | -                                     | 38,63        | -            | 54,82        | -            | - |

**Reststützmomente <sup>7)</sup>**

| $t_N$ | $l_{a,B} = 80 \text{ mm}$ |       |                | $l_{a,B} = 200 \text{ mm}$ |       |                | $l_{a,B} = -$ |       |                | Reststützmomente $M_{R,Rk}$                                     |
|-------|---------------------------|-------|----------------|----------------------------|-------|----------------|---------------|-------|----------------|---|
|       | min L                     | max L | max $M_{R,Rk}$ | min L                      | max L | max $M_{R,Rk}$ | min L         | max L | max $M_{R,Rk}$ |   |
| mm    | m                         |       |                | m                          |       |                | m             |       |                | kNm/m   |
| 0,75  | -                         | -     | -              | -                          | -     | -              | -             | -     | -              | $M_{R,Rk} = 0$ für $L \leq \min L$                              |
| 0,88  | -                         | -     | -              | -                          | -     | -              | -             | -     | -              | $M_{R,Rk} = \max M_{R,Rk}$ für $L \geq \max L$                  |
| 1,00  | -                         | -     | -              | -                          | -     | -              | -             | -     | -              | $M_{R,Rk} = \frac{L - \min L}{\max L - \min L} * \max M_{R,Rk}$ |

**Charakteristische Tragfähigkeitswerte für abhebende Flächenbelastung <sup>1) 2)</sup>**

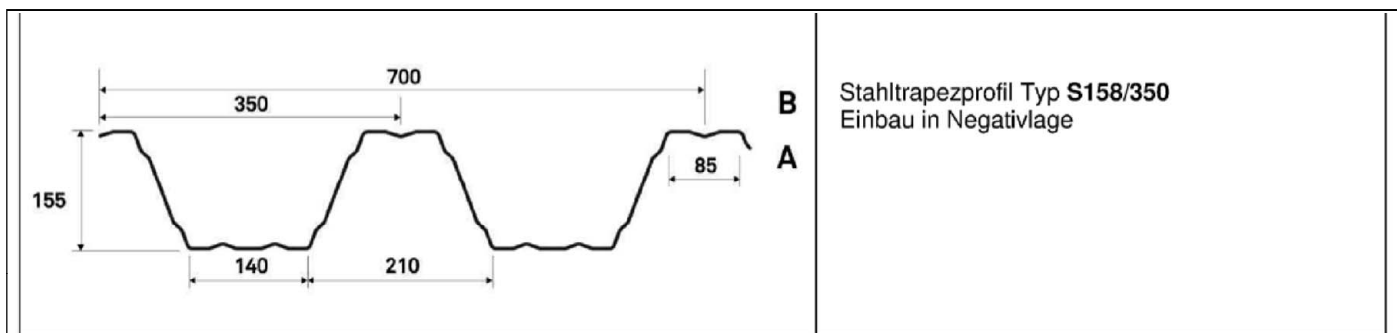
| Nennblechdicke | Feldmoment   | Befestigung in jedem anliegenden Gurt |                  |              |              |                  |                  | Befestigung in jedem 2. anliegenden Gurt |              |              |              |              |            |
|----------------|--------------|---------------------------------------|------------------|--------------|--------------|------------------|------------------|--|--------------|--------------|--------------|--------------|------------|
|                |              | Endauflagerkraft                      | Zwischenauflager |              |              | Endauflagerkraft | Zwischenauflager |  |              |              |              |              |            |
| $t_N$          | $M_{c,Rk,F}$ | $R_{w,Rk,A}$                          | $M_{0,Rk,B}$     | $M_{c,Rk,B}$ | $R_{0,Rk,B}$ | $R_{w,Rk,B}$     | $V_{w,Rk}$       | $R_{w,Rk,A}$                             | $M_{0,Rk,B}$ | $M_{c,Rk,B}$ | $R_{0,Rk,B}$ | $R_{w,Rk,B}$ | $V_{w,Rk}$ |
| mm             | kNm/m        | kN/m                                  | kNm/m            |              |              | kN/m             |                  |  | kNm/m        |              | kN/m         |              |            |
| 0,75           | 16,77        | 21,83                                 | -                | 16,84        | -            | -                | 21,83            | 10,92                                    | -            | 8,42         | -            | -            | 10,92      |
| 0,88           | 21,73        | 35,22                                 | -                | 21,70        | -            | -                | 35,22            | 17,61                                    | -            | 10,85        | -            | -            | 17,61      |
| 1,00           | 26,67        | 51,55                                 | -                | 26,56        | -            | -                | 51,55            | 25,78                                    | -            | 13,28        | -            | -            | 25,78      |

Fußnoten siehe Anlage 10

Stahltrapezprofile S35/207, S75/305, S135/420 und S158/350 aus höchstem Stahl und deren Befestigung

Stahltrapezprofile Typ S158/350 Einbau in Negativlage, Festigkeitsstufe S600  
Querschnitts- und Bemessungswerte für Bemessung nach DIN EN 1993-1-3

Anlage 9.3



Stahltrapezprofil Typ S158/350  
Einbau in Negativlage

Nennstreckgrenze des Stahlkerns  $f_{y,k} = 600 \text{ N/mm}^2$

**Maßgebende Querschnittswerte**

| Nennblechdicke | Eigenlast         | Biegung <sup>8)</sup> |                 | Normalkraftbeanspruchung      |                |                |                                     |                  |                  | Grenzstützweiten <sup>10)</sup> |                |
|----------------|-------------------|-----------------------|-----------------|-------------------------------|----------------|----------------|-------------------------------------|------------------|------------------|---------------------------------|----------------|
|                |                   |                       |                 | nicht reduzierter Querschnitt |                |                | wirksamer Querschnitt <sup>9)</sup> |                  |                  | L <sub>gr</sub> in m            |                |
|                |                   |                       |                 | A <sub>g</sub>                | i <sub>g</sub> | z <sub>g</sub> | A <sub>eff</sub>                    | i <sub>eff</sub> | z <sub>eff</sub> | Einfeldträger                   | Mehrfeldträger |
| t <sub>N</sub> | g                 | I <sub>ef</sub>       | I <sub>ef</sub> | A <sub>g</sub>                | i <sub>g</sub> | z <sub>g</sub> | A <sub>eff</sub>                    | i <sub>eff</sub> | z <sub>eff</sub> |                                 |                |
| mm             | kN/m <sup>2</sup> | cm <sup>4</sup> /m    |                 | cm <sup>2</sup> /m            | cm             |                | cm <sup>2</sup> /m                  | cm               |                  |                                 |                |
| 0,75           | 0,102             | 390,62                | 392,60          | 11,49                         | 5,90           | 6,98           | 3,35                                | 6,94             | 7,49             | 9,96                            | 10,00          |
| 0,88           | 0,119             | 464,58                | 468,73          | 13,59                         | 5,90           | 6,98           | 4,50                                | 6,90             | 7,48             | 10,00                           | 10,00          |
| 1,00           | 0,135             | 533,50                | 536,62          | 15,53                         | 5,90           | 6,98           | 5,65                                | 6,87             | 7,47             | 10,00                           | 10,00          |

**Schubfeldwerte**

| Nennblechdicke | Grenzzustand der Tragfähigkeit |                   |                     |                     | Grenzzustand der Gebrauchstauglichkeit |                     |                  |                  | F <sub>1,Rk</sub> in kN |          |          |
|----------------|--------------------------------|-------------------|---------------------|---------------------|--|---------------------|------------------|------------------|-------------------------|----------|----------|
|                | L <sub>R</sub>                 | T <sub>1,Rk</sub> | T <sub>crit,g</sub> | T <sub>crit,l</sub> | T <sub>3,Rk,N</sub>                    | T <sub>3,Rk,S</sub> | k <sub>1</sub> ' | k <sub>2</sub> ' | Einleitungslänge a      |          |          |
| t <sub>N</sub> |                                |                   |                     |                     |  |                     |                  |                  |                         |          |          |
| mm             | m                              | kN/m              |                     |                     |  |                     |                  | m/kN             | m <sup>2</sup> /kN      | ≥ 130 mm | ≥ 280 mm |
|                |                                |                   |                     |                     |  |                     |                  |                  |                         |          |          |

**Beiwerte:**

|                      |                      |                      |
|----------------------|----------------------|----------------------|
| k <sub>1</sub> * = - | k <sub>2</sub> * = - | k <sub>3</sub> * = - |
|----------------------|----------------------|----------------------|

Fußnoten siehe Anlage 10

Stahltrapezprofile S35/207, S75/305, S135/420 und S158/350 aus höchfestem Stahl und deren Befestigung

Stahltrapezprofile Typ S158/350 Einbau in Negativlage, Festigkeitsstufe S600  
Querschnitts- und Bemessungswerte für Bemessung nach DIN EN 1993-1-3

Anlage 9.4

| Beiblatt   | Erläuterungen zu den Querschnitts- und Bemessungswerten (EN 1993-1-3)  |  |
|--|--|--|
| <p>1) <b>Interaktionsbeziehung für M und V (elastisch-elastisch)</b></p> $\frac{M_{Ed}}{M_{c,Rk,B}/\gamma_{M1}} \leq 1 \quad \text{wenn} \quad \frac{V_{Ed}}{V_{w,Rk}/\gamma_{M1}} \leq 0,5$ <p>Für <math>\frac{V_{Ed}}{V_{w,Rk}/\gamma_{M1}} &gt; 0,5</math> gilt Gleichung 6.27 (EN 1993-1-3), die im Sinne der Sicherheit vereinfacht werden kann:</p> $\frac{M_{Ed}}{M_{c,Rk,B}/\gamma_{M1}} + \left(2 \cdot \frac{V_{Ed}}{V_{w,Rk}/\gamma_{M1}} - 1\right)^2 \leq 1$  | <p>2) <b>Interaktionsbeziehung für M und R (elastisch-elastisch)</b></p> <p>Lineare Interaktionsbeziehung für M und R:</p> $\frac{M_{Ed}}{M_{c,Rk,B}/\gamma_{M1}} \leq 1 \quad \text{und} \quad \frac{F_{Ed}}{R_{w,Rk,B}/\gamma_{M1}} \leq 1$ $\frac{M_{Ed}}{M_{o,Rk,B}/\gamma_{M1}} + \frac{F_{Ed}}{R_{o,Rk,B}/\gamma_{M1}} \leq 1$ <p><u>Anmerkung:</u><br/>Für rechnerisch ermittelte Werte gilt:<br/><math>M_{o,Rk,B} = 1,25 \cdot M_{c,Rk,B}</math> und<br/><math>R_{o,Rk,B} = 1,25 \cdot R_{w,Rk,B}</math></p> <p>Quadratische Interaktionsbeziehung für M und R:</p> $\frac{M_{Ed}}{M_{c,Rk,B}/\gamma_{M1}} \leq 1 \quad \text{und} \quad \frac{F_{Ed}}{R_{w,Rk,B}/\gamma_{M1}} \leq 1$ $\frac{M_{Ed}}{M_{o,Rk,B}/\gamma_{M1}} + \left(\frac{F_{Ed}}{R_{o,Rk,B}/\gamma_{M1}}\right)^2 \leq 1$ |  |
| <p>3) Werden quer zur Spannrichtung und rechtwinklig zur Profilebene Linienlasten in das Trapezprofil eingeleitet, so ist der Nachweis der Tragfähigkeit aus der umgekehrten Profillage als Interaktionsnachweis (vgl. Fußnote 2) durchzuführen.</p>   |  |  |
| <p>4) Für kleinere Zwischenaufgablängen <math>l_{a,B}</math> als angegeben, müssen die aufnehmbaren Tragfähigkeitswerte linear im entsprechenden Verhältnis reduziert werden.<br/>Für <math>l_{a,B} &lt; 10</math> mm, z.B. bei Rohren, darf maximal der Wert für <math>l_{a,B} = 10</math> mm eingesetzt werden.</p>  |  |  |
| <p>5) Bei Auflagerlängen, die zwischen den aufgeführten Auflagerlängen liegen, dürfen die aufnehmbaren Tragfähigkeitswerte jeweils linear interpoliert werden.</p>   |  |  |
| <p>6) Die Länge <math>b_A</math> des Profils ab Auflagervorderkante ist die Summe aus der wirksamen Auflagerlänge <math>l_{a,A}</math> und dem Profilüberstand <math>c_1</math> bzw. <math>c_2</math>.</p>   |  |  |
| <p>7) <u>Tragfähigkeitsnachweis (plastisch-plastisch) für andrückende Einwirkungen:</u><br/>(Für die vorstehenden Trapezprofile nicht anwendbar.)</p> <p>Stützmomente sind auf die sich aus den jeweils angrenzenden Feldlängen ergebenden Reststützmomente <math>M_{R,Rk}/\gamma_{M1}</math> zu begrenzen. Für das damit unter Bemessungslasten entstehende maximale Feldmoment muss gelten:</p> $M_{Ed} \leq M_{c,Rk,F}/\gamma_{M1}$ <p>Außerdem ist für die im Endfeld entstehende Endauflagerkraft folgende Bedingung einzuhalten:</p> $F_{Ed} \leq R_{w,Rk,A}/\gamma_{M1}$ <p>Für den Nachweis der Gebrauchstauglichkeit ist am elastischen System nachzuweisen, dass bei gleichzeitigem Auftreten von Stützmoment und Auflagerkraft an einer Zwischenstütze die 0,9-fache Beanspruchbarkeit nicht überschritten wird (vgl. Fußnote 2).<br/>Sind keine Werte für Reststützmomente angegeben, ist beim Tragfähigkeitsnachweis <math>M_{R,Rk} = 0</math> zu setzen.</p> |  |  |
| <p>8) Wirksame Trägheitsmomente für die Lastrichtung nach unten (+) bzw. oben (-).</p>   |  |  |
| <p>9) Wirksamer Querschnitt für eine konstante Druckspannung <math>\sigma = f_{y,k}</math>.</p>  |  |  |
| <p>10) Maximale Stützweiten, bis zu denen das Trapezprofil ohne Last verteilende Maßnahmen begangen werden darf.</p>   |  |  |
| <p>11) Die Werte gelten nur für <math>\beta_v \leq 0,2</math>. Für <math>\beta_v \geq 0,3</math> ist der Nachweis mit <math>l_{a,B} = 10</math> mm zu führen, für <math>0,2 &lt; \beta_v &lt; 0,3</math> ist zwischen <math>l_a</math> für <math>\beta_v = 0,2</math> und <math>0,3</math> linear zu interpolieren.</p> $\beta_v = \frac{ V_{Ed,1}  -  V_{Ed,2} }{ V_{Ed,1}  +  V_{Ed,2} }$ <p>Dabei sind <math> V_{Ed,1} </math> und <math> V_{Ed,2} </math> die Beträge der Querkräfte auf jeder Seite der örtlichen Lasteinleitung oder der Auflagerreaktion.<br/>Es gilt: <math> V_{Ed,1}  \geq  V_{Ed,2} </math></p>  |  |  |
| <p>12) Blechdicke: Minustoleranz nach DIN EN 10143:2006, Tabelle 2 „Eingeschränkte Grenzabmaße (S)“</p>  |  |  |
| <p>Stahltrapezprofile S35/207, S75/305, S135/420 und S158/350 aus höchstem Stahl und deren Befestigung</p>   | <p>Anlage 10</p>   |  |
| <p>Querschnitts- und Bemessungswerte für Bemessung nach DIN EN 1993-1-3, Beiblatt mit den Fußnoten</p>   |  |  |